



ANAS S.p.A.

DIREZIONE CENTRALE PROGRAMMAZIONE PROGETTAZIONE

PA 12/09

CORRIDOIO PLURIMODALE TIRRENICO - NORD EUROPA

ITINERARIO AGRIGENTO - CALTANISSETTA - A19

S.S. N° 640 "DI PORTO EMPEDOCLE"

AMMODERNAMENTO E ADEGUAMENTO ALLA CAT. B DEL D.M. 5.11.2001

Dal km 44+000 allo svincolo con l'A19

PROGETTO ESECUTIVO

Contraente Generale:



OPERE D'ARTE MINORI - MURI IN C.A.

MU. 76 - Muro di controripa 78.26 mt - da 0+075.39 a 0+153.89 (Tronco 41)
Relazione di calcolo

Codice Unico Progetto (CUP) : F91B09000070001

Codice Elaborato:

| | | | | | | | | | | | | | | | | | | | | |
|-------------|---|---|---|---|---|---|---|---|---|---|---|---|---|---|---|---|---|---|---|--------|
| PA12_09 - E | 1 | 0 | 1 | I | N | 2 | 4 | 1 | M | U | 7 | 6 | 6 | C | L | 2 | 1 | 1 | B | Scala: |
|-------------|---|---|---|---|---|---|---|---|---|---|---|---|---|---|---|---|---|---|---|--------|

| | | | | | | | | | | | | | | | | | | | |
|---|--|--|--|--|--|--|--|--|--|--|--|--|--|--|--|--|--|--|--|
| F | | | | | | | | | | | | | | | | | | | |
|---|--|--|--|--|--|--|--|--|--|--|--|--|--|--|--|--|--|--|--|

| | | | | | | | | | | | | | | | | | | | |
|---|--|--|--|--|--|--|--|--|--|--|--|--|--|--|--|--|--|--|--|
| E | | | | | | | | | | | | | | | | | | | |
|---|--|--|--|--|--|--|--|--|--|--|--|--|--|--|--|--|--|--|--|

| | | | | | | | | | | | | | | | | | | | |
|---|--|--|--|--|--|--|--|--|--|--|--|--|--|--|--|--|--|--|--|
| D | | | | | | | | | | | | | | | | | | | |
|---|--|--|--|--|--|--|--|--|--|--|--|--|--|--|--|--|--|--|--|

| | | | | | | | | | | | | | | | | | | | |
|---|--|--|--|--|--|--|--|--|--|--|--|--|--|--|--|--|--|--|--|
| C | | | | | | | | | | | | | | | | | | | |
|---|--|--|--|--|--|--|--|--|--|--|--|--|--|--|--|--|--|--|--|

| | | | | | | |
|---|-------------|--|------------|------------|---------|------------|
| B | Luglio 2011 | Revisione a seguito di incontri con il Committente | V.F.STOPPA | R.CAPOCCHI | M. LITI | P. PAGLINI |
|---|-------------|--|------------|------------|---------|------------|

| | | | | | | |
|---|-------------|-----------|----------|---------|---------|------------|
| A | Aprile 2011 | EMISSIONE | C.MEDICO | A.TURSO | M. LITI | P. PAGLINI |
|---|-------------|-----------|----------|---------|---------|------------|

| | | | | | | |
|------|------|-------------|---------|------------|-----------|-------------|
| REV. | DATA | DESCRIZIONE | REDATTO | VERIFICATO | APPROVATO | AUTORIZZATO |
|------|------|-------------|---------|------------|-----------|-------------|

Responsabile del procedimento: Ing. MAURIZIO ARAMINI

Il Progettista:



Il Consulente Specialista:



Geologo:



Il Coordinatore per la sicurezza in fase di progetto:



Il Direttore dei lavori:



**S.S. N° 640 "DI PORTO EMPEDOCLE"
AMMODERNAMENTO E ADEGUAMENTO
ALLA CAT. B DEL D.M. 5.11.2001
Dal km 44+000 allo svincolo con l'A19**

PROGETTO ESECUTIVO

**OPERE D'ARTE MINORI
MURI IN C.A.**

**MU. 76 - Muro di controripa 78.26 mt - da 0+075.39 a 0+153.89 (Tronco 41)
RELAZIONE DI CALCOLO**

INDICE

| | |
|--|-----------|
| 1 DESCRIZIONE DELLE OPERE..... | 4 |
| 2 NORMATIVE DI RIFERIMENTO | 4 |
| 3 DATI SISMICI..... | 5 |
| 4 DURABILITÀ E PRESCRIZIONI SUI MATERIALI | 6 |
| 4.1 CLASSI DI ESPOSIZIONE AMBIENTALE | 7 |
| 4.2 COPRIFERRO MINIMO E COPRIFERRO NOMINALE | 10 |
| 4.3 CARATTERISTICHE DEI COSTITUENTI IL CALCESTRUZZO | 11 |
| 4.4 CARATTERISTICHE DELLE MISCELE..... | 11 |
| 5 CARATTERISTICHE GEOTECNICHE DEI TERRENI..... | 13 |
| 5.1 STRATIGRAFIA..... | 13 |
| 6 ANALISI DEI CARICHI..... | 15 |
| 6.1 CONDIZIONI DI CARICO | 15 |
| 6.2 COEFFICIENTI PARZIALI..... | 16 |
| 6.3 COMBINAZIONI DI CARICO | 20 |
| 7 MURO DI SOSTEGNO HMAX = 4,00+3,50 (TIPO 1) | 24 |
| 7.1 GEOMETRIA MURO E FONDAZIONE..... | 25 |
| 7.2 CONDIZIONI DI CARICO | 27 |
| 7.3 STABILITÀ GLOBALE MURO + TERRENO..... | 27 |
| 7.4 ANALISI DEI PALI..... | 28 |
| 7.5 INVILUPPO SOLLECITAZIONI PARAMENTO..... | 28 |
| 7.6 INVILUPPO SOLLECITAZIONI PIASTRA DI FONDAZIONE | 29 |

| | | |
|---|---|-------------------------|
| <i>Cod. elab.: 101IN241-MU76-6-CL-211_B</i> | <i>Titolo: OPERE D'ARTE MINORI - MURI IN C.A.</i> | <i>Data:Luglio 2011</i> |
| <i>Nome file: 101IN241-MU76-6-CL-211_B.docx</i> | <i>MU.76- Muro di controripa 77.45 mt da 0+075.39 a 0+152.97 (Tronco 41) - Relazione di calcolo</i> | <i>Pagina 2 di 67</i> |

| | | |
|----------|---|-----------|
| 7.7 | INVILUPPO ARMATURE E TENSIONI NEI MATERIALI DEL MURO | 30 |
| 7.8 | VERIFICHE A FESSURAZIONE MURO | 31 |
| 7.9 | INVILUPPO ARMATURE E TENSIONI NEI MATERIALI DELLA FONDAZIONE..... | 32 |
| 7.10 | VERIFICHE A FESSURAZIONE FONDAZIONE | 33 |
| 7.11 | VERIFICA A PUNZONAMENTO DELLA FONDAZIONE..... | 35 |
| 7.12 | INVILUPPO SOLLECITAZIONI NEI PALI E VERIFICHE DELLE SEZIONI..... | 35 |
| 8 | MURO DI SOSTEGNO HMAX = 2,00+3,00 (TIPO 2) | 41 |
| 8.1 | GEOMETRIA MURO E FONDAZIONE | 42 |
| 8.2 | CONDIZIONI DI CARICO | 44 |
| 8.3 | STABILITÀ GLOBALE MURO + TERRENO | 44 |
| 8.4 | ANALISI DEI PALI | 45 |
| 8.5 | INVILUPPO SOLLECITAZIONI PARAMENTO | 45 |
| 8.6 | INVILUPPO SOLLECITAZIONI PIASTRA DI FONDAZIONE | 46 |
| 8.7 | INVILUPPO ARMATURE E TENSIONI NEI MATERIALI DEL MURO | 47 |
| 8.8 | VERIFICHE A FESSURAZIONE MURO | 48 |
| 8.9 | INVILUPPO ARMATURE E TENSIONI NEI MATERIALI DELLA FONDAZIONE..... | 49 |
| 8.10 | VERIFICHE A FESSURAZIONE FONDAZIONE | 50 |
| 8.11 | VERIFICA A PUNZONAMENTO DELLA FONDAZIONE..... | 52 |
| 8.12 | INVILUPPO SOLLECITAZIONI NEI PALI E VERIFICHE DELLE SEZIONI..... | 52 |
| 9 | MURO DI SOSTEGNO HMAX = 3,50 (TIPO 3) | 56 |
| 9.1 | GEOMETRIA MURO E FONDAZIONE | 57 |
| 9.2 | CONDIZIONI DI CARICO | 57 |
| 9.3 | COMBINAZIONI DI CARICO | 58 |
| 9.4 | STABILITÀ GLOBALE MURO + TERRENO | 60 |
| 9.5 | INVILUPPO SOLLECITAZIONI PARAMENTO | 62 |
| 9.6 | INVILUPPO SOLLECITAZIONI PIASTRA DI FONDAZIONE | 62 |
| 9.7 | INVILUPPO ARMATURE E TENSIONI NEI MATERIALI DEL MURO | 63 |
| 9.8 | VERIFICHE A FESSURAZIONE MURO | 64 |
| 9.9 | INVILUPPO ARMATURE E TENSIONI NEI MATERIALI DELLA FONDAZIONE..... | 65 |
| 9.10 | VERIFICHE A FESSURAZIONE FONDAZIONE | 66 |

| | | |
|---|---|-------------------------|
| <i>Cod. elab.: 101IN241-MU76-6-CL-211_B</i> | <i>Titolo: OPERE D'ARTE MINORI - MURI IN C.A.</i> | <i>Data:Luglio 2011</i> |
| <i>Nome file: 101IN241-MU76-6-CL-211_B.docx</i> | <i>MU.76- Muro di controripa 77.45 mt da 0+075.39 a 0+152.97 (Tronco 41) - Relazione di calcolo</i> | <i>Pagina 3 di 67</i> |

DESCRIZIONE DELLE OPERE

Nel seguito si tratterà delle strutture in calcestruzzo armato relative alla realizzazione del muro di controripa in c.a.. previsto sul lato sx del tronco 41 nell'intervallo di progressive 0+075.39 a 0+153.89 (Tronco 41), allo scopo di contenere il rilevato dell'asse principale. I muri in oggetto sono realizzati in opera in conglomerato cementizio armato, presentano delle fondazioni sia su pali che di tipo diretto, con elevazioni di altezza inferiore al valore massimo di circa 7,50 m. Per le fondazioni profonde sono stati adottati, in tutti i casi, dei pali trivellati in c.a. Ø800 di lunghezza pari a 23 ÷ 24 m. I muri presentano un'elevazione a gradoni di spessore costante, rastremati dal lato di monte, con spessore minimo in sommità pari a 30 cm.

Nella relazione si descrivono i problemi di carattere strutturale che sono stati affrontati nel corso della progettazione e per essi vengono esposte le modalità di soluzione e le procedure di calcolo adottate.

La relazione si completa mediante una serie di elaborati che consistono in tabelle schematiche riportanti le caratteristiche della sollecitazione utilizzate alla base della verifica degli elementi strutturali costituenti il manufatto, nonché le verifiche di resistenza dei materiali, eseguite nelle sezioni più significative e maggiormente sollecitate dei manufatti.

1 NORMATIVE DI RIFERIMENTO

La progettazione degli elementi strutturali è stata condotta in conformità al quadro legislativo attualmente vigente in merito al dimensionamento delle strutture e per quanto riguarda la classificazione sismica del territorio nazionale. Le norme di riferimento adottate sono riportate nel seguito:

- D.M. 14/01/2008 « Norme Tecniche delle costruzioni »;
- Circolare n. 617/2009 « Istruzioni per l'applicazione delle Norme tecniche per le costruzioni »;
- O.P.C.M. n.3274 20/03/2003 « Primi elementi in materia di criteri generali per la classificazione sismica del territorio nazionale e di normative tecniche per le costruzioni in zona sismica » e s.m.i.;
- UNI EN 206-1:2006 « Calcestruzzo – Parte 1: Specificazione, prestazione, produzione e conformità »;
- UNI 11104:2004 « Calcestruzzo – Specificazione, prestazione, produzione e conformità – Istruzioni complementari per l'applicazione della EN 206-1»;
- UNI EN 1992-1-1:2005 « Eurocodice 2 Progettazione delle strutture di calcestruzzo »;

| | | |
|---|--|-------------------------|
| <i>Cod. elab.: 101IN241-MU76-6-CL-211_B</i> | <i>Titolo: OPERE D'ARTE MINORI - MURI IN C.A. MU.76- Muro di controripa 77.45 mt da 0+075.39 a 0+152.97 (Tronco 41) - Relazione di calcolo</i> | <i>Data:Luglio 2011</i> |
| <i>Nome file: 101IN241-MU76-6-CL-211_B.docx</i> | | <i>Pagina 4 di 67</i> |

2 DATI SISMICI

Di seguito si riportano i dati sismici adoperati per l'analisi strutturale dell'opera in oggetto.

| | | |
|--|-----|----------------------|
| Vita nominale della costruzione (in anni) - Vn | 100 | Info |
| Coefficiente d'uso della costruzione - cu | 2 | Info |

Come sito di riferimento si considera il comune in cui è situata l'opera.

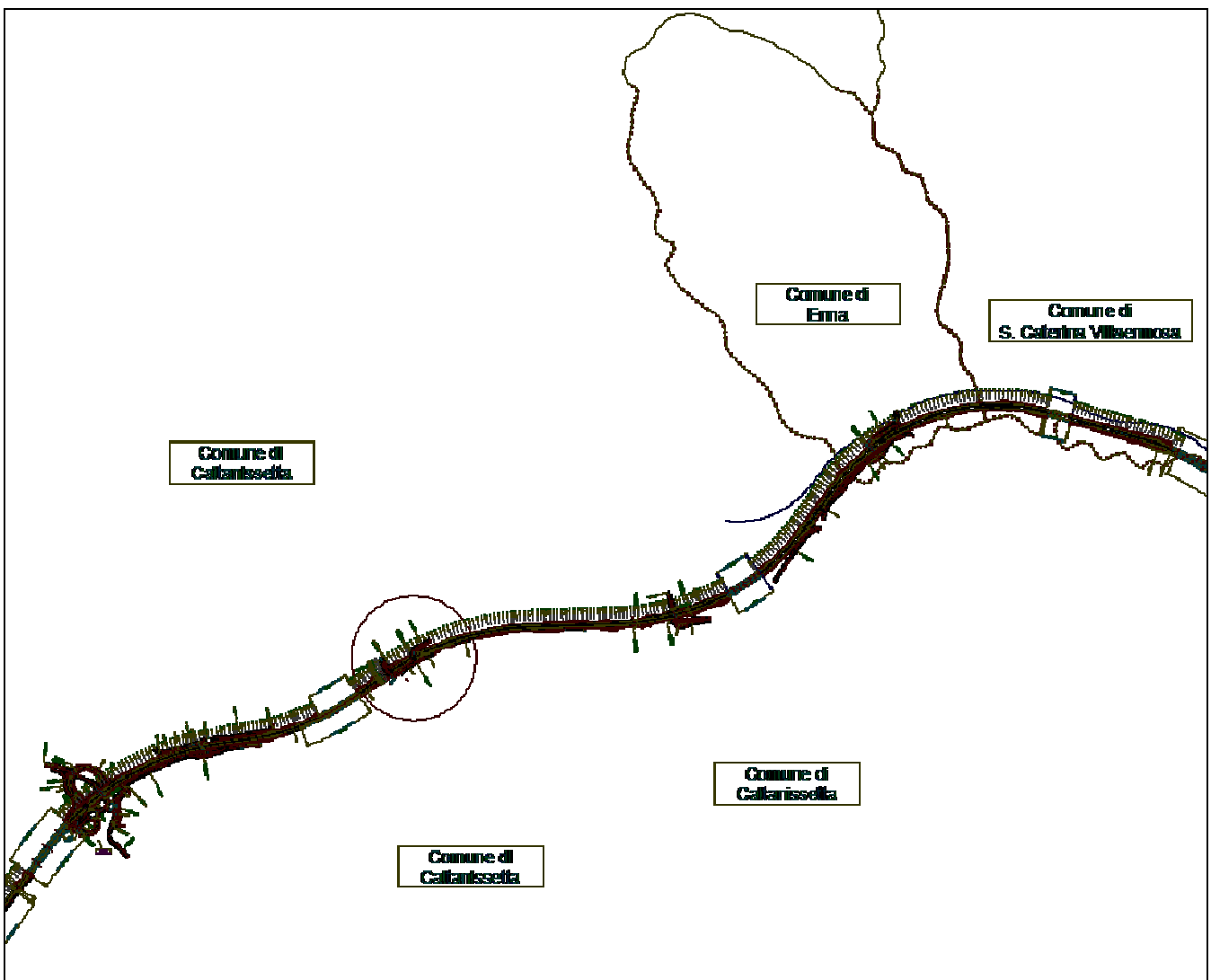
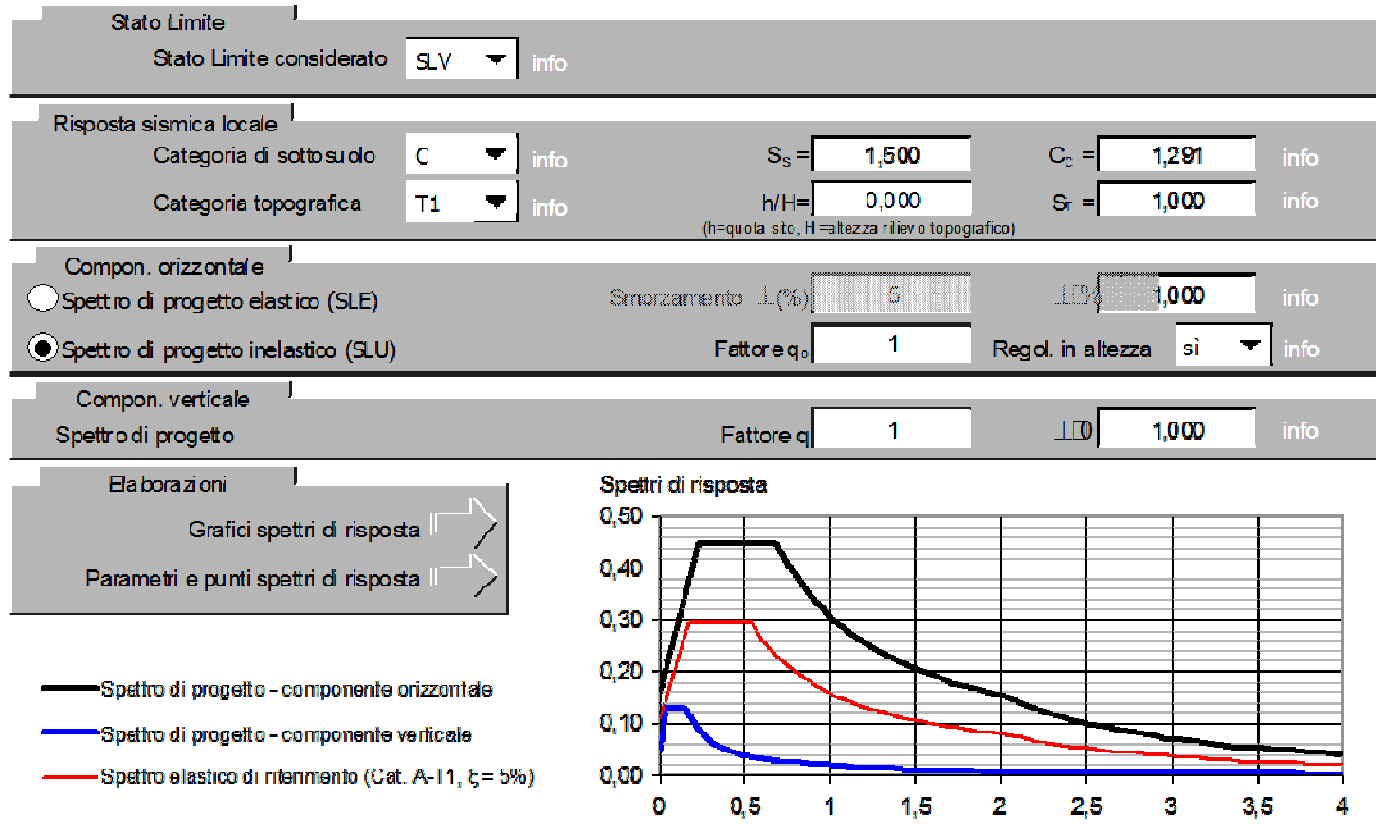


Figura 2.1: Comune di riferimento

| | | |
|---|---|-------------------------|
| <i>Cod. elab.: 101IN241-MU76-6-CL-211_B</i> | <i>Titolo: OPERE D'ARTE MINORI - MURI IN C.A.</i> | <i>Data:Luglio 2011</i> |
| <i>Nome file: 101IN241-MU76-6-CL-211_B.docx</i> | <i>MU.76- Muro di controripa 77.45 mt da 0+075.39 a 0+152.97</i> <i>(Tronco 41) - Relazione di calcolo</i> | <i>Pagina 5 di 67</i> |

| | | | |
|---|---------------------------|-----------------------------------|--------------------------------|
| <input checked="" type="checkbox"/> Ricerca per comune | REGIONE Sicilia | PROVINCIA Caltanissetta | COMUNE Caltanissetta |
|---|---------------------------|-----------------------------------|--------------------------------|

Per la verifica sismica delle strutture si prende in considerazione lo stato limite ultimo di salvaguardia della Vita (SLV).



I parametri dello spettro di risposta sono i seguenti:

Parametri indipendenti

| STATO LIMITE | SLV |
|--------------|---------|
| a_g | 0,108 g |
| F_o | 2,748 |
| T_C^* | 0,535 s |
| S_s | 1,500 |
| C_c | 1,291 |
| S_T | 1,000 |
| q | 1,000 |

Parametri dipendenti

| | |
|---------|---------|
| S | 1,500 |
| ζ | 1,000 |
| T_B | 0,230 s |
| T_C | 0,690 s |
| T_D | 2,033 s |

3 DURABILITÀ E PRESCRIZIONI SUI MATERIALI

| | | |
|--|---|------------------|
| Cod. elab.: 101IN241-MU76-6-CL-211_B | Titolo: OPERE D'ARTE MINORI - MURI IN C.A. MU.76- Muro di controripa 77.45 mt da 0+075.39 a 0+152.97 (Tronco 41) - Relazione di calcolo | Data:Luglio 2011 |
| Nome file: 101IN241-MU76-6-CL-211_B.docx | | Pagina 6 di 67 |

La forte importanza che riveste la durabilità dell'opera in funzione dell'ambiente nel quale è inserita, ha comportato una notevole attenzione alle tipologie dei materiali da utilizzarsi per le strutture da realizzare. Si consideri, infatti, che il manufatto deve garantire adeguati livelli di sicurezza anche dopo l'inevitabile degrado dei materiali dovuto al tempo ed all'azione degli agenti atmosferici.

Tutti questi elementi ambientali costituiscono dei fattori importantissimi dai quali non è possibile esulare quando si stabilisce la tipologia dei materiali che saranno impiegati per la realizzazione dell'opera, pensando questo nell'ottica di garantire alla stessa una vita media compatibile con l'investimento che si sta realizzando.

3.1 Classi di esposizione ambientale

Ai fini di una corretta prescrizione del calcestruzzo, occorre classificare l'ambiente nel quale ciascun elemento strutturale sarà inserito. Per “ambiente”, in questo contesto, si intende l'insieme delle azioni chimico-fisiche alle quali si presume che potrà essere esposto il calcestruzzo durante il periodo di vita delle opere e che causa effetti che non possono essere classificati come dovuti a carichi o ad azioni indirette quali deformazioni impresse, cedimenti e variazioni termiche.

In funzione di tali azioni, sono individuate le classi e sottoclassi di esposizione ambientale del calcestruzzo elencate nella tabella che segue.

| | | |
|---|---|-------------------------|
| <i>Cod. elab.: 101IN241-MU76-6-CL-211_B</i> | <i>Titolo: OPERE D'ARTE MINORI - MURI IN C.A.</i> | <i>Data:Luglio 2011</i> |
| <i>Nome file: 101IN241-MU76-6-CL-211_B.docx</i> | MU.76- Muro di controripa 77.45 mt da 0+075.39 a 0+152.97 (Tronco 41) - Relazione di calcolo | <i>Pagina 7 di 67</i> |

| Classe esposizione norma UNI 9258 | Classe esposizione norma UNI 11104 UNI EN 206-1 | Descrizione dell'ambiente | Esempio | Massimo rapporto a/c | Minima Classe di resistenza | Contenuto minimo in aria (%) |
|---|---|---|--|----------------------|-----------------------------|------------------------------|
| 1 Assenza di rischio di corrosione o attacco | | | | | | |
| 1 | X0 | Per calcestruzzo privo di armatura o inserti metallici: tutte le esposizioni eccetto dove c'è gelo/disgelo, o attacco chimico. Calcestruzzi con armatura o inserti metallici in ambiente molto asciutto. | Interno di edifici con umidità relativa molto bassa. Calcestruzzo non armato all'interno di edifici. Calcestruzzo non armato immerso in suolo non aggressivo o in acqua non aggressiva. Calcestruzzo non armato soggetto a cicli di bagnato asciutto ma non soggetto ad abrasione, gelo o attacco chimico. | - | C 12/15 | |
| 2 Corrosione indotta da carbonatazione | | | | | | |
| Nota - Le condizioni di umidità si riferiscono a quelle presenti nel capriero o nel ricoprimento di inserti metallici, ma in molti casi si può considerare che tali condizioni riflettano quelle dell'ambiente circostante. In questi casi la classificazione dell'ambiente circostante può essere adeguata. Questo può non essere il caso se c'è una barriera fra il calcestruzzo e il suo ambiente. | | | | | | |
| 2 a | XC1 | Asciutto o permanentemente bagnato. | Interni di edifici con umidità relativa bassa. Calcestruzzo armato ordinario o precompresso con le superfici all'interno di strutture con eccezione delle parti esposte a condensa, o immerse in acqua. | 0,60 | C 25/30 | |
| 2 a | XC2 | Bagnato, raramente asciutto. | Parti di strutture di contenimento liquidi, fondazioni. Calcestruzzo armato ordinario o precompresso prevalentemente immerso in acqua o terreno non aggressivo. | 0,60 | C 25/30 | |
| 5 a | XC3 | Umidità moderata. | Calcestruzzo armato ordinario o precompresso in esterni con superfici esterne riparate dalla pioggia, o in interni con umidità da moderata ad alta. | 0,55 | C 28/35 | |
| 4 a 5 b | XC4 | Ciclicamente asciutto e bagnato. | Calcestruzzo armato ordinario o precompresso in esterni con superfici soggette a alternanze di asciutto ed umido. Calcestruzzi a vista in ambienti urbani. Superficie a contatto con l'acqua non comprese nella classe XC2. | 0,50 | C 32/40 | |
| 3 Corrosione indotta da cloruri esclusi quelli provenienti dall'acqua di mare | | | | | | |
| 5 a | XD1 | Umidità moderata. | Calcestruzzo armato ordinario o precompresso in superfici o parti di ponti e viadotti esposti a spruzzi d'acqua contenenti cloruri. | 0,55 | C 28/35 | |
| 4 a 5 b | XD2 | Bagnato, raramente asciutto. | Calcestruzzo armato ordinario o precompresso in elementi strutturali totalmente immersi in acqua anche industriali contenente cloruri (Piscine). | 0,50 | C 32/40 | |
| 5 c | XD3 | Ciclicamente bagnato e asciutto. | Calcestruzzo armato ordinario o precompresso, di elementi strutturali direttamente soggetti agli agenti disgelanti o agli spruzzi contenenti agenti disgelanti. Calcestruzzo armato ordinario o precompresso, elementi con una superficie immersa in acqua contenente cloruri e l'altra esposta all'aria. Parti di ponti, pavimentazioni e parcheggi per auto. | 0,45 | C 35/45 | |

| | | |
|--|---|------------------|
| Cod. elab.: 101IN241-MU76-6-CL-211_B | Titolo: OPERE D'ARTE MINORI - MURI IN C.A. | Data:Luglio 2011 |
| Nome file: 101IN241-MU76-6-CL-211_B.docx | MU.76- Muro di controripa 77.45 mt da 0+075.39 a 0+152.97 (Tronco 41) - Relazione di calcolo | Pagina 8 di 67 |

| Classe esposizione norma UNI 9658 | Classe esposizione norma UNI 11104 UNIEN 206-1 | Descrizione dell'ambiente | Esempio | Massimo rapporto a/c | Minima Classe di resistenza | Contenuto minimo in aria (%) |
|---|--|--|---|----------------------|-----------------------------|------------------------------|
| 4 Corrosione indotta da cloruri presenti nell'acqua di mare | | | | | | |
| 4 a 5 b | XS1 | Esposto alla salinità marina ma non direttamente in contatto con l'acqua di mare. | Calcestruzzo armato ordinario o precompresso con elementi strutturali sulle coste o in prossimità. | 0,50 | C 32/40 | |
| | XS2 | Permanetemente sommerso. | Calcestruzzo armato ordinario o precompresso di strutture marine completamente immersi in acqua. | 0,45 | C 35/45 | |
| | XS3 | Zone esposte agli spruzzi o alle marea. | Calcestruzzo armato ordinario o precompresso con elementi strutturali esposti alla battigia o alle zone soggette agli spruzzi ed onde del mare. | 0,45 | C 35/45 | |
| 5 Attacco dei cicli di gelo/disgelo con o senza disgelanti * | | | | | | |
| 2 b | XF1 | Moderata saturazione d'acqua, in assenza di agente disgelante. | Superfici verticali di calcestruzzo come facciate e colonne esposte alla pioggia ed al gelo. Superfici non verticali e non soggette alla completa saturazione ma esposte al gelo, alla pioggia o all'acqua. | 0,50 | C 32/40 | |
| 3 | XF2 | Moderata saturazione d'acqua, in presenza di agente disgelante. | Elementi come parti di ponti che in altro modo sarebbero classificati come XF1 ma che sono esposti direttamente o indirettamente agli agenti disgelanti. | 0,50 | C 25/30 | 3,0 |
| 2 b | XF3 | Elevata saturazione d'acqua, in assenza di agente disgelante | Superfici orizzontali in edifici dove l'acqua può accumularsi e che possono essere soggetti ai fenomeni di gelo, elementi soggetti a frequenti bagnature ed esposti al gelo. | 0,50 | C 25/30 | 3,0 |
| 3 | XF4 | Elevata saturazione d'acqua, con presenza di agente antigelo oppure acqua di mare. | Superfici orizzontali quali strade o pavimentazioni esposte al gelo ed ai sali disgelanti in modo diretto o indiretto, elementi esposti al gelo e soggetti a frequenti bagnature in presenza di agenti disgelanti o di acqua di mare. | 0,45 | C 28/35 | 3,0 |
| 6 Attacco chimico** | | | | | | |
| 5 a | XA1 | Ambiente chimicamente debolmente aggressivo secondo il prospetto 2 della UNI EN 206-1 | Contentitori di fanghi e vasche di decantazione. Contentitori e vasche per acque reflue. | 0,55 | C 28/35 | |
| 4 a 5 b | XA2 | Ambiente chimicamente moderatamente aggressivo secondo il prospetto 2 della UNI EN 206-1 | Elementi strutturali o pareti a contatto di terreni aggressivi. | 0,50 | C 32/40 | |
| 5 c | XA3 | Ambiente chimicamente fortemente aggressivo secondo il prospetto 2 della UNI EN 206-1 | Elementi strutturali o pareti a contatto di acque industriali fortemente aggressive. Contentitori di foraggi, mangimi e liquame provenienti dall'allevamento animale. Tori di raffreddamento di fumi di gas di scarico industriali. | 0,45 | C 35/45 | |
| <p>*) Il grado di saturazione della seconda colonna riflette la relativa frequenza con cui si verifica il gelo in condizioni di saturazione: - moderato: occasionalmente gelato in condizioni di saturazione; - elevato: alta frequenza di gelo in condizioni di saturazione.</p> <p>**) Da parte di acque del terreno e acque fluenti.</p> | | | | | | |

Tabella 3.1: Classi di esposizione e requisiti minimi del calcestruzzo in funzione della classe d'esposizione

| | | |
|--|---|------------------|
| Cod. elab.: 101IN241-MU76-6-CL-211_B | Titolo: OPERE D'ARTE MINORI - MURI IN C.A. | Data:Luglio 2011 |
| Nome file: 101IN241-MU76-6-CL-211_B.docx | MU.76- Muro di controripa 77.45 mt da 0+075.39 a 0+152.97 (Tronco 41) - Relazione di calcolo | Pagina 9 di 67 |

Le resistenze caratteristiche R_{ck} della tabella precedente sono da considerarsi quelle minime in relazione agli usi indicati in funzione della classe di esposizione. Le miscele non presenteranno un contenuto di cemento minore di 280 kg/m³. La definizione di una soglia minima per il dosaggio di cemento, risponde all'esigenza di garantire in ogni caso una sufficiente quantità di pasta di cemento, condizione essenziale per ottenere un calcestruzzo indurito a struttura chiusa e poco permeabile. Nelle normali condizioni operative, il rispetto dei valori di R_{ck} e a/c della tabella precedente può comportare dosaggi di cemento anche sensibilmente più elevati del valore minimo indicato.

Facendo riferimento alla tabella precedente, la classe di esposizione attribuita ai vari elementi strutturali costituenti le opere è così riassunta:

Calcestruzzo

- Traversi gettati in opera, fondazione, piedritti X2C.
- Traversi, fondazione, piedritti : C 25/30 N/mm² ;

Acciaio per armature

- tipo B450C
- Modulo di elasticità di Joung (E) 210.000 N/mm²;
- Tensione caratteristica di snervamento $f_{y \text{ nom}}$ 450 N/mm²;
- Tensione caratteristica di rottura $f_{t \text{ nom}}$ 540 N/mm².

3.2 Copriferro minimo e copriferro nominale

Ai fini di preservare le armature dai fenomeni di aggressione ambientale, dovrà essere previsto un idoneo copriferro; il suo valore, misurato tra la parete interna del cassero e la generatrice dell'armatura metallica più vicina, individua il cosiddetto "copriferro nominale" c_{nom} , che vale:

$$c_{\text{nom}} = c_{\min} + h.$$

dove:

c_{\min} è il copriferro minimo derivante da esigenze di durabilità,

h è la tolleranza di posizionamento.

I valori di copriferro minimo sono indicati nella tabella 3.3 seguente in funzione di:

- classe di esposizione ambientale,
- resistenza caratteristica del calcestruzzo a 28 gg,
- tipo di elemento strutturale

La tolleranza di posizionamento delle armature h viene assunta pari a 10 mm.

| | | |
|--|---|------------------|
| Cod. elab.: 101IN241-MU76-6-CL-211_B | Titolo: OPERE D'ARTE MINORI - MURI IN C.A. MU.76- Muro di controripa 77.45 mt da 0+075.39 a 0+152.97 (Tronco 41) - Relazione di calcolo | Data:Luglio 2011 |
| Nome file: 101IN241-MU76-6-CL-211_B.docx | | Pagina 10 di 67 |

| CONDIZIONI AMBIENTALI | CLASSE DI ESPOSIZIONE |
|------------------------------|-----------------------------------|
| Ordinarie | X0, XC1, XC2, XC3, XF1 |
| Aggressive | XC4, XD1, XS1, XA1, XA2, XF2, XF3 |
| Molto aggressive | XD2, XD3, XS2, XS3, XA3, XF4 |

Tabella 3.2: Descrizione delle condizioni ambientali

| | | barre da c.a. elementi a piastra | | barre da c.a. altri elementi | | cavi da c.a.p. elementi a piastra | | cavi da c.a.p. altri elementi | |
|------------------------|-----------------------------------|---|---|---|---|--|---|--|---|
| C_{min} | C_o ambiente | C≥C_o | C_{min}≤C<C_o | C≥C_o | C_{min}≤C<C_o | C≥C_o | C_{min}≤C<C_o | C≥C_o | C_{min}≤C<C_o |
| C25/30 | C35/45 ordinario | 15 | 20 | 20 | 25 | 25 | 30 | 30 | 35 |
| C28/35 | C40/50 aggressivo | 25 | 30 | 30 | 35 | 35 | 40 | 40 | 45 |
| C35/45 | C45/55 molto ag. | 35 | 40 | 40 | 45 | 45 | 50 | 50 | 50 |

Tabella 3.3: Copriferri minimi in mm

Considerando la classe di esposizione ambientale delle diverse sottostrutture, si dovranno adoperare dei copriferri adeguati come prescritti nella tavola delle prescrizioni dei materiali allegata al progetto. Nel caso specifico sarà considerato un valore pari a 5 cm.

3.3 Caratteristiche dei costituenti il calcestruzzo

Cemento

Si utilizzeranno unicamente i cementi previsti nella Legge 26 Maggio 1965 n° 595 che soddisfino i requisiti di accettazione elencati nella norma UNI ENV 197/1, con esclusione del cemento alluminoso e dei cementi per sbarramenti di ritenuta.

Acqua d'impasto

L'acqua d'impasto, di provenienza nota, dovrà avere caratteristiche costanti nel tempo, conformi a quelle della norma UNI EN 1008.

Aggregati

Gli aggregati impiegati per il confezionamento del calcestruzzo dovranno avere caratteristiche conformi a quelle previste nella parte 1^a della norma UNI 8520. Le caratteristiche dovranno essere verificate in fase di qualifica delle miscele. In caso di fornitura di aggregati da parte di azienda dotata di Sistema Qualità certificato secondo norme UNI EN ISO 9000, saranno ritenuti validi i risultati delle prove effettuate dall'Azienda.

3.4 Caratteristiche delle miscele

Granulometria degli aggregati

| | | |
|---|---|-------------------------|
| <i>Cod. elab.: 101IN241-MU76-6-CL-211_B</i> | <i>Titolo: OPERE D'ARTE MINORI - MURI IN C.A.</i> | <i>Data:Luglio 2011</i> |
| <i>Nome file: 101IN241-MU76-6-CL-211_B.docx</i> | <i>MU.76- Muro di controripa 77.45 mt da 0+075.39 a 0+152.97 (Tronco 41) - Relazione di calcolo</i> | <i>Pagina 11 di 67</i> |

Per la realizzazione di calcestruzzi con classi di resistenza maggiori di C 12/15 gli aggregati dovranno appartenere ad almeno tre classi granulometriche diverse. Nella composizione della curva granulometrica nessuna frazione sarà dosata in percentuale maggiore del 55%, salvo preventiva autorizzazione del Direttore dei Lavori.

Le classi granulometriche saranno mescolate tra loro in percentuali tali da formare miscele rispondenti ai criteri di curve granulometriche di riferimento, teoriche o sperimentali, scelte in modo che l'impasto fresco e indurito abbia i prescritti requisiti di resistenza, consistenza, omogeneità, aria inglobata, permeabilità, ritiro e acqua essudata. Si dovrà adottare una curva granulometrica che, in relazione al dosaggio di cemento, garantisca la massima compattezza e la migliore lavorabilità del calcestruzzo.

Dimensione massima nominale dell'aggregato

La massima dimensione nominale dell'aggregato è scelta in funzione dei valori di copriferro ed interferro, delle dimensioni minime dei getti, delle modalità di getto e del tipo di mezzi d'opera utilizzati per la compattazione dei getti; la dimensione massima nominale dell'aggregato non dovrà essere maggiore:

- di un quarto della dimensione minima dell'elemento strutturale;
- della distanza tra le singole barre di armatura o tra gruppi di barre d'armatura (interferro) diminuita di 5 mm;
- di 1,3 volte lo spessore del copriferro.

Si assume pertanto un diametro massimo di 40 mm.

Rapporto acqua/cemento

La quantità d'acqua totale da impiegare per il confezionamento dell'impasto dovrà essere calcolata tenendo conto dell'acqua libera contenuta negli aggregati. Si dovrà fare riferimento alla norma UNI 8520 parti 13^a e 16^a per la condizione "satura a superficie asciutta", nella quale l'aggregato non assorbe né cede acqua all'impasto. Facendo riferimento inoltre alla classe di esposizione ambientale, il rapporto acqua cemento non potrà superare il valore a/c = 0,60.

| | | |
|---|--|-------------------------|
| <i>Cod. elab.: 101IN241-MU76-6-CL-211_B</i> | <i>Titolo: OPERE D'ARTE MINORI - MURI IN C.A. MU.76- Muro di controripa 77.45 mt da 0+075.39 a 0+152.97 (Tronco 41) - Relazione di calcolo</i> | <i>Data:Luglio 2011</i> |
| <i>Nome file: 101IN241-MU76-6-CL-211_B.docx</i> | | <i>Pagina 12 di 67</i> |

4 CARATTERISTICHE GEOTECNICHE DEI TERRENI

Per i terreni di fondazione si fa riferimento alla stratigrafia riportata nella relazione geotecnica:

3.B - Modello Geotecnico 1: da prog. 19+500 a prog. 22+600

| Profondità (m) | Litotipo | Parametri Geotecnici |
|------------------|--|--|
| 0.00 ÷ 7.50 | Argille mbose sommitali alterate – TRV1: argilla limosa plastica ed alterata | $\gamma = 2.02 \text{ T/mc}$ $C_u = 1.65 \text{ Kg/cmq}$ $c' = 0.26 \text{ Kg/cmq}$ $\phi' = 19.75^\circ$ |
| 7.50 ÷ 15.00 | Argille mbose intermedie – TRV2a: argilla miosa a tratti scaglosa | $\gamma = 1.96 \text{ T/mc}$ $C_u = 1.45 \text{ Kg/cmq}$ $c' = 0.44 \text{ Kg/cmq}$ $\phi' = 19.0^\circ$ |
| 15.00 ÷ in prof. | Argille mbose profonde – TRV2b: argilla miosa consistente a tratti scaglosa | $\gamma = 2.0 \text{ T/mc}$ $C_u = 1.56 \text{ Kg/cmq}$ $c' = 0.23 \text{ Kg/cmq}$ $\phi' = 22.4^\circ$ |

Si utilizzeranno i seguenti parametri:

Parametri medi

| Descrizione | γ | γ_s | ϕ | δ | c | c_a |
|--------------------|----------|------------|--------|----------|--------|--------|
| RILEVATO | 18.00 | 19.00 | 35.00 | 23.33 | 0.0000 | 0.0000 |
| ARGILLE SOMMITALI | 20.25 | 20.25 | 19.75 | 19.75 | 0.0262 | 0.0000 |
| ARGILLE INTERMEDIE | 19.61 | 19.61 | 19.00 | 19.00 | 0.0444 | 0.0000 |
| ARGILLE PROFONDE | 20.09 | 20.09 | 22.42 | 22.42 | 0.0231 | 0.0000 |

Parametri minimi

| Descrizione | γ | γ_s | ϕ | δ | c | c_a |
|--------------------|----------|------------|--------|----------|--------|--------|
| RILEVATO | 18.00 | 19.00 | 35.00 | 23.33 | 0.0000 | 0.0000 |
| ARGILLE SOMMITALI | 20.25 | 20.25 | 18.50 | 18.50 | 0.0090 | 0.0000 |
| ARGILLE INTERMEDIE | 19.61 | 19.61 | 15.00 | 15.00 | 0.0193 | 0.0000 |
| ARGILLE PROFONDE | 20.09 | 20.09 | 20.20 | 20.20 | 0.0127 | 0.0000 |

4.1 Stratigrafia

Simbologia adottata

| | |
|---------|---------------------------------------|
| N | Indice dello strato |
| H | Spessore dello strato espresso in [m] |
| a | Inclinazione espressa in [°] |
| Ks | Coefficiente di spinta |
| Terreno | Terreno dello strato |

| | | |
|---|--|-------------------------|
| <i>Cod. elab.: 101IN241-MU76-6-CL-211_B</i> | <i>Titolo: OPERE D'ARTE MINORI - MURI IN C.A. MU.76- Muro di controripa 77.45 mt da 0+075.39 a 0+152.97 (Tronco 41) - Relazione di calcolo</i> | <i>Data:Luglio 2011</i> |
| <i>Nome file: 101IN241-MU76-6-CL-211_B.docx</i> | | <i>Pagina 13 di 67</i> |

| Nr. | H | a | Ks | Terreno |
|-----|-------|------|------|--------------------|
| 1 | var | 0,00 | 0,40 | RILEVATO |
| 2 | 7,50 | 0,00 | 0,40 | ARGILLE SOMMITALI |
| 3 | 7,50 | 0,00 | 0,40 | ARGILLE INTERMEDIE |
| 4 | 10,00 | 0,00 | 0,40 | ARGILLE PROFONDE |

| | | |
|---|---|-------------------------|
| <i>Cod. elab.: 101IN241-MU76-6-CL-211_B</i> | <i>Titolo: OPERE D'ARTE MINORI - MURI IN C.A.</i> | <i>Data:Luglio 2011</i> |
| <i>Nome file: 101IN241-MU76-6-CL-211_B.docx</i> | <i>MU.76- Muro di controripa 77.45 mt da 0+075.39 a 0+152.97 (Tronco 41) - Relazione di calcolo</i> | <i>Pagina 14 di 67</i> |

5 ANALISI DEI CARICHI

5.1 Condizioni di carico

Peso proprio struttura e terreno

Il peso proprio delle strutture è determinato automaticamente dal programma di calcolo.

Spinte del terreno

Le spinte del terreno in condizioni statiche e sismiche sono calcolate automaticamente dal programma di calcolo in accordo con la normativa utilizzata.

Carichi permanenti

I carichi permanenti sono costituiti dal peso della sovrastruttura stradale sul rilevato a monte. Si assume un carico di 4 kN/mq sul tratto in corrispondenza della strada.

Carichi stradali

Le azioni variabili del traffico, comprensive degli effetti dinamici, sono costituite da carichi concentrati (**Qik**) e da carichi uniformemente distribuiti (**qik**). Poiché il calcolo dei muri viene effettuato considerando una sezione trasversale di lunghezza unitaria è necessario ripartire i carichi concentrati in direzione longitudinale.

A partire dall'impronta di **3 x 2.2** m prevista dalla normativa per il carico tandem si effettua una diffusione a 45° fino alla base del paramento ottenendo la lunghezza longitudinale (**Lc**) di muro collaborante per tale schema. Quindi, su ogni corsia, si applicherà un carico distribuito pari alla somma del carico **qik** e del **Qik** ripartito su una impronta di **3 x Lc**. In ogni caso, si assumerà un valore minimo del carico stradale pari a **20 kN/mq** :

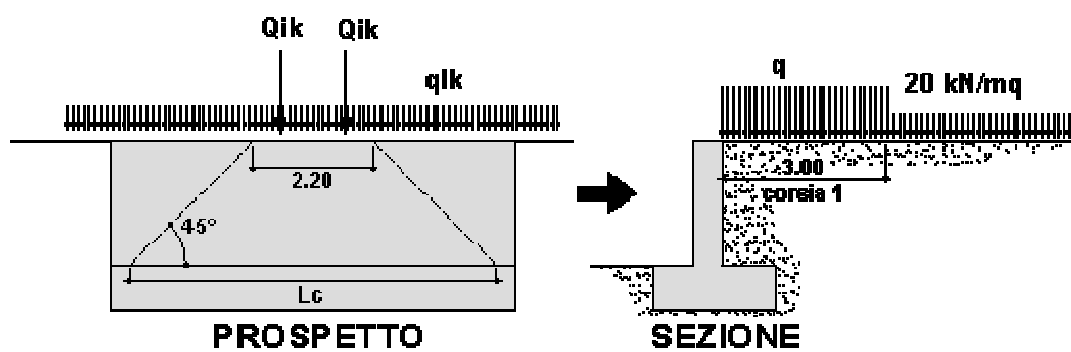


Figura 5.1: Schema di diffusione dei carichi mobili.

Urto di veicoli

Per i muri di sostegno si considera l'azione causata da collisioni accidentali sugli elementi di sicurezza. La normativa prevede

| | | |
|--|---|------------------|
| Cod. elab.: 101IN241-MU76-6-CL-211_B | Titolo: OPERE D'ARTE MINORI - MURI IN C.A. MU.76- Muro di controripa 77.45 mt da 0+075.39 a 0+152.97 (Tronco 41) - Relazione di calcolo | Data:Luglio 2011 |
| Nome file: 101IN241-MU76-6-CL-211_B.docx | | Pagina 15 di 67 |

una forza orizzontale equivalente di collisione di 100 kN agente trasversalmente ed orizzontalmente 100 mm sotto la sommità dell'elemento o 1,0 m sopra il livello del piano di marcia, (il più piccolo dei due valori) ed applicata su una linea lunga 0,5 m. Effettuando una diffusione longitudinale analoga alla precedente si ottiene il valore della forza riferito ad 1 m di lunghezza di muro.

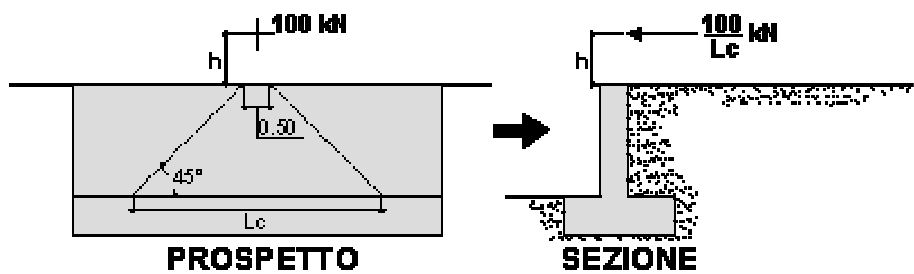


Figura 5.2: Schema di diffusione forza di collisione

5.2 Coefficienti parziali

Di seguito si riportano i coefficienti parziali di sicurezza per le combinazioni di carico agli SLU delle azioni A1 e A2 ed i coefficienti ψ associate alle azioni variabili per i ponti.

| | | |
|--|---|------------------|
| Cod. elab.: 101IN241-MU76-6-CL-211_B | Titolo: OPERE D'ARTE MINORI - MURI IN C.A. MU.76- Muro di controripa 77.45 mt da 0+075.39 a 0+152.97 (Tronco 41) - Relazione di calcolo | Data:Luglio 2011 |
| Nome file: 101IN241-MU76-6-CL-211_B.docx | | Pagina 16 di 67 |

| | | Coefficiente | EQU ⁽¹⁾ | A1 STR | A2 GEO |
|---|-------------|---|---------------------|---------------------|--------|
| Carichi permanenti | favorevoli | γ_{G1} | 0,90 | 1,00 | 1,00 |
| | sfavorevoli | | 1,10 | 1,35 | 1,00 |
| Carichi permanenti non strutturali ⁽²⁾ | favorevoli | γ_{G2} | 0,00 | 0,00 | 0,00 |
| | sfavorevoli | | 1,50 | 1,50 | 1,30 |
| Carichi variabili da traffico | favorevoli | γ_Q | 0,00 | 0,00 | 0,00 |
| | sfavorevoli | | 1,35 | 1,35 | 1,15 |
| Carichi variabili | favorevoli | γ_{Qi} | 0,00 | 0,00 | 0,00 |
| | sfavorevoli | | 1,50 | 1,50 | 1,30 |
| Distorsioni e presollecitazioni di progetto | favorevoli | γ_{e1} | 0,90 | 1,00 | 1,00 |
| | sfavorevoli | | 1,00 ⁽³⁾ | 1,00 ⁽⁴⁾ | 1,00 |
| Ritiro e viscosità, Variazioni termiche, Cedimenti vincolari | favorevoli | $\gamma_{e2}, \gamma_{e3}, \gamma_{e4}$ | 0,00 | 0,00 | 0,00 |
| | sfavorevoli | | 1,20 | 1,20 | 1,00 |

⁽¹⁾ Equilibrio che non coinvolga i parametri di deformabilità e resistenza del terreno; altrimenti si applicano i valori di GEO.
⁽²⁾ Nel caso in cui i carichi permanenti non strutturali (ad es. carichi permanenti portati) siano compiutamente definiti, si potranno adottare gli stessi coefficienti validi per le azioni permanenti.
⁽³⁾ 1,30 per instabilità in strutture con precompressione esterna
⁽⁴⁾ 1,20 per effetti locali

Figura 5.3: Coefficienti parziali per le combinazioni agli SLU (PONTI)

| | | |
|--|---|------------------|
| Cod. elab.: 101IN241-MU76-6-CL-211_B | Titolo: OPERE D'ARTE MINORI - MURI IN C.A. | Data:Luglio 2011 |
| Nome file: 101IN241-MU76-6-CL-211_B.docx | MU.76- Muro di controripa 77.45 mt da 0+075.39 a 0+152.97 (Tronco 41) - Relazione di calcolo | Pagina 17 di 67 |

| <i>Azioni</i> | <i>Gruppo di azioni (Tabella 5.1.IV)</i> | <i>Coefficiente ψ_0 di combinazione</i> | <i>Coefficiente ψ_1 (valori frequenti)</i> | <i>Coefficiente ψ_2 (valori quasi permanenti)</i> |
|--|--|---|--|---|
| <i>Azioni da traffico (Tabella 5.1.IV)</i> | Schema 1 (Carichi tandem) | 0,75 | 0,75 | 0,0 |
| | Schemi 1, 5 e 6 (Carichi distribuiti) | 0,40 | 0,40 | 0,0 |
| | Schemi 3 e 4 (carichi concentrati) | 0,40 | 0,40 | 0,0 |
| | Schema 2 | 0,0 | 0,75 | 0,0 |
| | 2 | 0,0 | 0,0 | 0,0 |
| | 3 | 0,0 | 0,0 | 0,0 |
| <i>Vento qs</i> | 4 (folla) | ---- | 0,75 | 0,0 |
| | 5 | 0,0 | 0,0 | 0,0 |
| <i>Neve qs</i> | Vento a ponte scarico | | | |
| | SLU e SLE | 0,6 | 0,2 | 0,0 |
| | Esecuzione | 0,8 | ---- | 0,0 |
| <i>Temperatura</i> | Vento a ponte carico | 0,6 | | |
| | SLU e SLE | 0,0 | 0,0 | 0,0 |
| | esecuzione | 0,8 | 0,6 | 0,5 |
| <i>Tk</i> | <i>Tk</i> | 0,6 | 0,6 | 0,5 |

Figura 5.4: Coefficienti di combinazione ψ per le combinazioni agli SLE (PONTI)

Di seguito si riportano i coefficienti parziali di sicurezza per le azioni definite nel capitolo 6 associata alla progettazione geotecnica.

| PARAMETRO | GRANDEZZA ALLA QUALE APPLICARE IL COEFFICIENTE PARZIALE | COEFFICIENTE PARZIALE γ_m | (M1) | (M2) |
|---|--|--|-------------|-------------|
| <i>Tangente dell'angolo di resistenza al taglio</i> | $\tan \phi'_k$ | $\gamma_{\phi'}$ | 1,0 | 1,25 |
| <i>Cohesione efficace</i> | c'_k | γ_c | 1,0 | 1,25 |
| <i>Resistenza non drenata</i> | c_u | γ_u | 1,0 | 1,4 |
| <i>Peso dell'unità di volume</i> | γ | γ_γ | 1,0 | 1,0 |

Figura 5.5: coefficienti parziali per i parametri geotecnici del terreno

Sia le verifiche di tipo globali (EQU e GEO) che quelle strutturali (STR) sono state condotte secondo l'APPROCCIO 1. A seguire si riporta uno stralcio del tabulato di output del programma di calcolo adottato per l'analisi e le verifiche di sicurezza.

N.T.C. 2008 - Approccio 1

Simbologia adottata

γ_{Gsfav} Coefficiente parziale sfavorevole sulle azioni permanenti

γ_{Gfav} Coefficiente parziale favorevole sulle azioni permanenti

γ_{Qsfav} Coefficiente parziale sfavorevole sulle azioni variabili

γ_{Qfav} Coefficiente parziale favorevole sulle azioni variabili

| | | |
|---|--|-------------------------|
| <i>Cod. elab.: 101IN241-MU76-6-CL-211_B</i> | <i>Titolo: OPERE D'ARTE MINORI - MURI IN C.A. MU.76- Muro di controripa 77.45 mt da 0+075.39 a 0+152.97 (Tronco 41) - Relazione di calcolo</i> | <i>Data:Luglio 2011</i> |
| <i>Nome file: 101IN241-MU76-6-CL-211_B.docx</i> | | <i>Pagina 18 di 67</i> |

| | |
|----------------------|--|
| $\gamma_{\tan\phi'}$ | Coefficiente parziale di riduzione dell'angolo di attrito drenato |
| γ_c' | Coefficiente parziale di riduzione della coesione drenata |
| γ_{cu} | Coefficiente parziale di riduzione della coesione non drenata |
| γ_{qu} | Coefficiente parziale di riduzione del carico ultimo |
| γ_γ | Coefficiente parziale di riduzione della resistenza a compressione uniaxiale delle rocce |

Coefficienti di partecipazione combinazioni statiche

Coefficienti parziali per le azioni o per l'effetto delle azioni:

| <i>Carichi</i> | <i>Effetto</i> | <i>A1</i> | <i>A2</i> | <i>EQU</i> | <i>HYD</i> |
|----------------|----------------|------------------|-----------|------------|------------|
| Permanenti | Favorevole | γ_{Gfav} | 1,00 | 1,00 | 0,90 |
| Permanenti | Sfavorevole | γ_{Gsfav} | 1,35 | 1,00 | 1,10 |
| Variabili | Favorevole | γ_{Qfav} | 0,00 | 0,00 | 0,00 |
| Variabili | Sfavorevole | γ_{Qsfav} | 1,35 | 1,15 | 1,35 |

Coefficienti parziali per i parametri geotecnici del terreno:

| <i>Parametri</i> | | <i>M1</i> | <i>M2</i> | <i>M2</i> | <i>M1</i> |
|-------------------------------------|----------------------|-----------|-----------|-----------|-----------|
| Tangente dell'angolo di attrito | $\gamma_{\tan\phi'}$ | 1,00 | 1,25 | 1,25 | 1,00 |
| Coesione efficace | γ_c' | 1,00 | 1,25 | 1,25 | 1,00 |
| Resistenza non drenata | γ_{cu} | 1,00 | 1,40 | 1,40 | 1,00 |
| Resistenza a compressione uniaxiale | γ_{qu} | 1,00 | 1,60 | 1,60 | 1,00 |
| Peso dell'unità di volume | γ_γ | 1,00 | 1,00 | 1,00 | 1,00 |

Coefficienti di partecipazione combinazioni sismiche

Coefficienti parziali per le azioni o per l'effetto delle azioni:

| <i>Carichi</i> | <i>Effetto</i> | <i>A1</i> | <i>A2</i> | <i>EQU</i> | <i>HYD</i> |
|----------------|----------------|------------------|-----------|------------|------------|
| Permanenti | Favorevole | γ_{Gfav} | 1,00 | 1,00 | 0,90 |
| Permanenti | Sfavorevole | γ_{Gsfav} | 1,00 | 1,00 | 1,30 |
| Variabili | Favorevole | γ_{Qfav} | 1,00 | 1,00 | 0,00 |
| Variabili | Sfavorevole | γ_{Qsfav} | 1,00 | 1,00 | 1,50 |

Coefficienti parziali per i parametri geotecnici del terreno:

| <i>Parametri</i> | | <i>M1</i> | <i>M2</i> | <i>M2</i> | <i>M1</i> |
|-------------------------------------|----------------------|-----------|-----------|-----------|-----------|
| Tangente dell'angolo di attrito | $\gamma_{\tan\phi'}$ | 1,00 | 1,25 | 1,25 | 1,00 |
| Coesione efficace | γ_c' | 1,00 | 1,25 | 1,25 | 1,00 |
| Resistenza non drenata | γ_{cu} | 1,00 | 1,40 | 1,40 | 1,00 |
| Resistenza a compressione uniaxiale | γ_{qu} | 1,00 | 1,60 | 1,60 | 1,00 |
| Peso dell'unità di volume | γ_γ | 1,00 | 1,00 | 1,00 | 1,00 |

FONDAZIONE SUPERFICIALE

Coefficienti parziali γ_R per le verifiche agli stati limite ultimi STR e GEO

Verifica

Coefficienti parziali

| | <i>R1</i> | <i>R2</i> | <i>R3</i> |
|------------------------------------|-----------|-----------|-----------|
| Capacità portante della fondazione | 1,00 | 1,00 | 1,40 |
| Scorrimento | 1,00 | 1,00 | 1,10 |
| Resistenza del terreno a valle | 1,00 | 1,00 | 1,40 |
| Stabilità globale | | | 1,10 |

PALI DI FONDAZIONE

| | | |
|---|--|-------------------------|
| <i>Cod. elab.: 101IN241-MU76-6-CL-211_B</i> | <i>Titolo: OPERE D'ARTE MINORI - MURI IN C.A.</i> | <i>Data:Luglio 2011</i> |
| <i>Nome file: 101IN241-MU76-6-CL-211_B.docx</i> | MU.76- Muro di controripa 77.45 mt da 0+075.39 a 0+152.97 (Tronco 41) - Relazione di calcolo | <i>Pagina 19 di 67</i> |

CARICHI VERTICALI. Coefficienti parziali γ_R per le verifiche dei pali

Pali trivellati

| | | R1 | R2 | R3 |
|-----------------------|---------------|------|------|------|
| Punta | γ_b | 1,00 | 1,70 | 1,35 |
| Laterale compressione | γ_s | 1,00 | 1,45 | 1,15 |
| Totale compressione | γ_t | 1,00 | 1,60 | 1,30 |
| Laterale trazione | γ_{st} | 1,00 | 1,60 | 1,25 |

CARICHI TRASVERSALI. Coefficienti parziali γ_T per le verifiche dei pali.

| | R1 | R2 | R3 |
|------------|------|------|------|
| γ_T | 1,00 | 1,60 | 1,30 |

Coefficienti di riduzione ξ per la determinazione della resistenza caratteristica dei pali

Numero di verticali indagate 5 $\xi_3=1,50$ $\xi_4=1,34$

METODO VERIFICA SEZIONI

Stato limite

Impostazioni verifiche SLU

Coefficienti parziali per resistenze di calcolo dei materiali

| | |
|---|------|
| Coefficiente di sicurezza calcestruzzo a compressione | 1.60 |
| Coefficiente di sicurezza calcestruzzo a trazione | 1.60 |
| Coefficiente di sicurezza acciaio | 1.15 |
| Fattore riduzione da resistenza cubica a cilindrica | 0.83 |
| Fattore di riduzione per carichi di lungo periodo | 0.85 |

Impostazioni verifiche SLE

Condizioni ambientali

Ordinarie

Armatura adaderenza migliorata

Verifica fessurazione

Metodo di calcolo aperture delle fessure

Circ. Min. 252 (15/10/1996)

Sensibilità delle armature

Poco sensibile

Valori limite delle aperture delle fessure

$w_1 = 0.20$

$w_2 = 0.30$

$w_3 = 0.40$

Verifica delle tensioni

Combinazione di carico

Rara $\sigma_c < 0.60 f_{ck}$ - $\sigma_f < 0.80 f_{yk}$

Quasi permanente $\sigma_c < 0.45 f_{ck}$

5.3 Combinazioni di carico

Simbologia adottata

F/S Effetto dell'azione (FAV: Favorevole, SFAV: Sfavorevole)

γ Coefficiente di partecipazione della condizione

Ψ Coefficiente di combinazione della condizione

Combinazione n° 1 - Caso A1-M1 (STR)

| | S/F | γ | Ψ | $\gamma^* \Psi$ |
|-------------------------|-----|----------|--------|-----------------|
| Peso proprio muro | FAV | 1,00 | 1,00 | 1,00 |
| Peso proprio terrapieno | FAV | 1,00 | 1,00 | 1,00 |

| | | |
|---|---|-------------------------|
| <i>Cod. elab.: 101IN241-MU76-6-CL-211_B</i> | <i>Titolo: OPERE D'ARTE MINORI - MURI IN C.A.</i> | <i>Data:Luglio 2011</i> |
| <i>Nome file: 101IN241-MU76-6-CL-211_B.docx</i> | <i>MU.76- Muro di controripa 77.45 mt da 0+075.39 a 0+152.97</i> <i>(Tronco 41) - Relazione di calcolo</i> | <i>Pagina 20 di 67</i> |

| | | | | |
|----------------|------|------|------|------|
| Spinta terreno | SFAV | 1,35 | 1.00 | 1,35 |
| PERMANENTI | SFAV | 1.35 | 1.00 | 1.35 |

Combinazione n° 2 - Caso A1-M1 (STR)

| | S/F | γ | Ψ | γ * Ψ |
|-------------------------|------------|----------|----------|--------------|
| Peso proprio muro | SFAV | 1,35 | 1.00 | 1,35 |
| Peso proprio terrapieno | SFAV | 1,35 | 1.00 | 1,35 |
| Spinta terreno | SFAV | 1,35 | 1.00 | 1,35 |
| PERMANENTI | SFAV | 1.35 | 1.00 | 1.35 |

Combinazione n° 3 - Caso A1-M1 (STR)

| | S/F | γ | Ψ | γ * Ψ |
|-------------------------|------------|----------|----------|--------------|
| Peso proprio muro | SFAV | 1,35 | 1.00 | 1,35 |
| Peso proprio terrapieno | FAV | 1,00 | 1.00 | 1,00 |
| Spinta terreno | SFAV | 1,35 | 1.00 | 1,35 |
| PERMANENTI | SFAV | 1.35 | 1.00 | 1.35 |

Combinazione n° 4 - Caso A1-M1 (STR)

| | S/F | γ | Ψ | γ * Ψ |
|-------------------------|------------|----------|----------|--------------|
| Peso proprio muro | FAV | 1,00 | 1.00 | 1,00 |
| Peso proprio terrapieno | SFAV | 1,35 | 1.00 | 1,35 |
| Spinta terreno | SFAV | 1,35 | 1.00 | 1,35 |
| PERMANENTI | SFAV | 1.35 | 1.00 | 1.35 |

Combinazione n° 5 - Caso A2-M2 (GEO)

| | S/F | γ | Ψ | γ * Ψ |
|-------------------------|------------|----------|----------|--------------|
| Peso proprio muro | SFAV | 1,00 | 1.00 | 1,00 |
| Peso proprio terrapieno | SFAV | 1,00 | 1.00 | 1,00 |
| Spinta terreno | SFAV | 1,00 | 1.00 | 1,00 |
| PERMANENTI | SFAV | 1.00 | 1.00 | 1.00 |

Combinazione n° 6 - Caso A2-M2 (GEO-STAB)

| | S/F | γ | Ψ | γ * Ψ |
|-------------------------|------------|----------|----------|--------------|
| Peso proprio muro | SFAV | 1,00 | 1.00 | 1,00 |
| Peso proprio terrapieno | SFAV | 1,00 | 1.00 | 1,00 |
| Spinta terreno | SFAV | 1,00 | 1.00 | 1,00 |
| PERMANENTI | SFAV | 1.00 | 1.00 | 1.00 |

Combinazione n° 7 - Caso A1-M1 (STR)

| | S/F | γ | Ψ | γ * Ψ |
|-------------------------|------------|----------|----------|--------------|
| Peso proprio muro | FAV | 1,00 | 1.00 | 1,00 |
| Peso proprio terrapieno | SFAV | 1,35 | 1.00 | 1,35 |
| Spinta terreno | SFAV | 1,35 | 1.00 | 1,35 |
| PERMANENTI | SFAV | 1.35 | 1.00 | 1,35 |
| MOBILI | SFAV | 1.35 | 1.00 | 1,35 |

Combinazione n° 8 - Caso A1-M1 (STR)

| | S/F | γ | Ψ | γ * Ψ |
|-------------------------|------------|----------|----------|--------------|
| Peso proprio muro | FAV | 1,00 | 1.00 | 1,00 |
| Peso proprio terrapieno | FAV | 1,00 | 1.00 | 1,00 |
| Spinta terreno | SFAV | 1,35 | 1.00 | 1,35 |
| PERMANENTI | SFAV | 1.35 | 1.00 | 1,35 |
| MOBILI | SFAV | 1.35 | 1.00 | 1,35 |

Combinazione n° 9 - Caso A1-M1 (STR)

| | S/F | γ | Ψ | γ * Ψ |
|-------------------------|------------|----------|----------|--------------|
| Peso proprio muro | SFAV | 1,35 | 1.00 | 1,35 |
| Peso proprio terrapieno | SFAV | 1,35 | 1.00 | 1,35 |
| Spinta terreno | SFAV | 1,35 | 1.00 | 1,35 |

| | | |
|---|--|-------------------------|
| <i>Cod. elab.: 101IN241-MU76-6-CL-211_B</i> | <i>Titolo: OPERE D'ARTE MINORI - MURI IN C.A.</i> | <i>Data:Luglio 2011</i> |
| <i>Nome file: 101IN241-MU76-6-CL-211_B.docx</i> | <i>MU.76- Muro di controripa 77.45 mt da 0+075.39 a 0+152.97</i> | <i>Pagina 21 di 67</i> |

| | | | | |
|------------|------|------|------|------|
| PERMANENTI | SFAV | 1.35 | 1.00 | 1.35 |
| MOBILI | SFAV | 1.35 | 1.00 | 1.35 |

Combinazione n° 10 - Caso A1-M1 (STR)

| | S/F | γ | Ψ | γ * Ψ |
|-------------------------|------------|----------|----------|--------------|
| Peso proprio muro | SFAV | 1,35 | 1.00 | 1,35 |
| Peso proprio terrapieno | FAV | 1,00 | 1.00 | 1,00 |
| Spinta terreno | SFAV | 1,35 | 1.00 | 1,35 |
| PERMANENTI | SFAV | 1,35 | 1.00 | 1,35 |
| MOBILI | SFAV | 1,35 | 1.00 | 1,35 |

Combinazione n° 11 - Caso A2-M2 (GEO)

| | S/F | γ | Ψ | γ * Ψ |
|-------------------------|------------|----------|----------|--------------|
| Peso proprio muro | SFAV | 1,00 | 1.00 | 1,00 |
| Peso proprio terrapieno | SFAV | 1,00 | 1.00 | 1,00 |
| Spinta terreno | SFAV | 1,00 | 1.00 | 1,00 |
| PERMANENTI | SFAV | 1,00 | 1.00 | 1,00 |
| MOBILI | SFAV | 1,15 | 1.00 | 1,15 |

Combinazione n° 12 - Caso A2-M2 (GEO-STAB)

| | S/F | γ | Ψ | γ * Ψ |
|-------------------------|------------|----------|----------|--------------|
| Peso proprio muro | SFAV | 1,00 | 1.00 | 1,00 |
| Peso proprio terrapieno | SFAV | 1,00 | 1.00 | 1,00 |
| Spinta terreno | SFAV | 1,00 | 1.00 | 1,00 |
| PERMANENTI | SFAV | 1,00 | 1.00 | 1,00 |
| MOBILI | SFAV | 1,15 | 1.00 | 1,15 |

Combinazione n° 13 - Caso A1-M1 (STR) - Sisma Vert. positivo

| | S/F | γ | Ψ | γ * Ψ |
|-------------------------|------------|----------|----------|--------------|
| Peso proprio muro | SFAV | 1,00 | 1.00 | 1,00 |
| Peso proprio terrapieno | SFAV | 1,00 | 1.00 | 1,00 |
| Spinta terreno | SFAV | 1,00 | 1.00 | 1,00 |
| PERMANENTI | SFAV | 1,00 | 1.00 | 1,00 |

Combinazione n° 14 - Caso A1-M1 (STR) - Sisma Vert. negativo

| | S/F | γ | Ψ | γ * Ψ |
|-------------------------|------------|----------|----------|--------------|
| Peso proprio muro | SFAV | 1,00 | 1.00 | 1,00 |
| Peso proprio terrapieno | SFAV | 1,00 | 1.00 | 1,00 |
| Spinta terreno | SFAV | 1,00 | 1.00 | 1,00 |
| PERMANENTI | SFAV | 1,00 | 1.00 | 1,00 |

Combinazione n° 15 - Caso A2-M2 (GEO) - Sisma Vert. positivo

| | S/F | γ | Ψ | γ * Ψ |
|-------------------------|------------|----------|----------|--------------|
| Peso proprio muro | SFAV | 1,00 | 1.00 | 1,00 |
| Peso proprio terrapieno | SFAV | 1,00 | 1.00 | 1,00 |
| Spinta terreno | SFAV | 1,00 | 1.00 | 1,00 |
| PERMANENTI | SFAV | 1,00 | 1.00 | 1,00 |

Combinazione n° 16 - Caso A2-M2 (GEO) - Sisma Vert. negativo

| | S/F | γ | Ψ | γ * Ψ |
|-------------------------|------------|----------|----------|--------------|
| Peso proprio muro | SFAV | 1,00 | 1.00 | 1,00 |
| Peso proprio terrapieno | SFAV | 1,00 | 1.00 | 1,00 |
| Spinta terreno | SFAV | 1,00 | 1.00 | 1,00 |
| PERMANENTI | SFAV | 1,00 | 1.00 | 1,00 |

Combinazione n° 17 - Caso A2-M2 (GEO-STAB) - Sisma Vert. positivo

| | S/F | γ | Ψ | γ * Ψ |
|-------------------------|------------|----------|----------|--------------|
| Peso proprio muro | SFAV | 1,00 | 1.00 | 1,00 |
| Peso proprio terrapieno | SFAV | 1,00 | 1.00 | 1,00 |

| | | |
|--|---|---|
| Cod. elab.: 101IN241-MU76-6-CL-211_B | Titolo: OPERE D'ARTE MINORI - MURI IN C.A. MU.76- Muro di controripa 77.45 mt da 0+075.39 a 0+152.97 (Tronco 41) - Relazione di calcolo | Data:Luglio 2011 Pagina 22 di 67 |
| Nome file: 101IN241-MU76-6-CL-211_B.docx | | |

| | | | | |
|----------------|------|------|------|------|
| Spinta terreno | SFAV | 1,00 | 1,00 | 1,00 |
| PERMANENTI | SFAV | 1,00 | 1,00 | 1,00 |

Combinazione n° 18 - Caso A2-M2 (GEO-STAB) - Sisma Vert. negativo

| | S/F | γ | Ψ | γ * Ψ |
|-------------------------|------------|----------|----------|--------------|
| Peso proprio muro | SFAV | 1,00 | 1,00 | 1,00 |
| Peso proprio terrapieno | SFAV | 1,00 | 1,00 | 1,00 |
| Spinta terreno | SFAV | 1,00 | 1,00 | 1,00 |
| PERMANENTI | SFAV | 1,00 | 1,00 | 1,00 |

Combinazione n° 19 - Caso A1-M1 (STR) - Sisma Vert. positivo

| | S/F | γ | Ψ | γ * Ψ |
|-------------------------|------------|----------|----------|--------------|
| Peso proprio muro | FAV | 1,00 | 1,00 | 1,00 |
| Peso proprio terrapieno | FAV | 1,00 | 1,00 | 1,00 |
| Spinta terreno | SFAV | 1,00 | 1,00 | 1,00 |
| PERMANENTI | SFAV | 1,00 | 1,00 | 1,00 |

Combinazione n° 20 - Quasi Permanente (SLE)

| | S/F | γ | Ψ | γ * Ψ |
|-------------------------|------------|----------|----------|--------------|
| Peso proprio muro | -- | 1,00 | 1,00 | 1,00 |
| Peso proprio terrapieno | -- | 1,00 | 1,00 | 1,00 |
| Spinta terreno | -- | 1,00 | 1,00 | 1,00 |
| PERMANENTI | SFAV | 1,00 | 1,00 | 1,00 |

Combinazione n° 21 - Frequente (SLE)

| | S/F | γ | Ψ | γ * Ψ |
|-------------------------|------------|----------|----------|--------------|
| Peso proprio muro | -- | 1,00 | 1,00 | 1,00 |
| Peso proprio terrapieno | -- | 1,00 | 1,00 | 1,00 |
| Spinta terreno | -- | 1,00 | 1,00 | 1,00 |
| PERMANENTI | SFAV | 1,00 | 1,00 | 1,00 |
| MOBILI | SFAV | 1,00 | 0,75 | 0,75 |

Combinazione n° 22 - Rara (SLE)

| | S/F | γ | Ψ | γ * Ψ |
|-------------------------|------------|----------|----------|--------------|
| Peso proprio muro | -- | 1,00 | 1,00 | 1,00 |
| Peso proprio terrapieno | -- | 1,00 | 1,00 | 1,00 |
| Spinta terreno | -- | 1,00 | 1,00 | 1,00 |
| PERMANENTI | SFAV | 1,00 | 1,00 | 1,00 |
| MOBILI | SFAV | 1,00 | 1,00 | 1,00 |

| | | |
|--|---|------------------|
| Cod. elab.: 101IN241-MU76-6-CL-211_B | Titolo: OPERE D'ARTE MINORI - MURI IN C.A. | Data:Luglio 2011 |
| Nome file: 101IN241-MU76-6-CL-211_B.docx | MU.76- Muro di controripa 77.45 mt da 0+075.39 a 0+152.97 (Tronco 41) - Relazione di calcolo | Pagina 23 di 67 |

6 MURO DI SOSTEGNO Hmax = 4,00+3,50 (TIPO 1)

A seguire si riportano le verifiche di sicurezza globale e strutturale relative alla tipologia di muro individuata come tipologico 1, in accordo con la notazione degli elaborati grafici esecutivi dell'opera, cui si rimanda per ulteriori dettagli tecnici.

| | | |
|---|---|-------------------------|
| <i>Cod. elab.: 101IN241-MU76-6-CL-211_B</i> | <i>Titolo: OPERE D'ARTE MINORI - MURI IN C.A.</i> | <i>Data:Luglio 2011</i> |
| <i>Nome file: 101IN241-MU76-6-CL-211_B.docx</i> | <i>MU.76- Muro di controripa 77.45 mt da 0+075.39 a 0+152.97 (Tronco 41) - Relazione di calcolo</i> | <i>Pagina 24 di 67</i> |

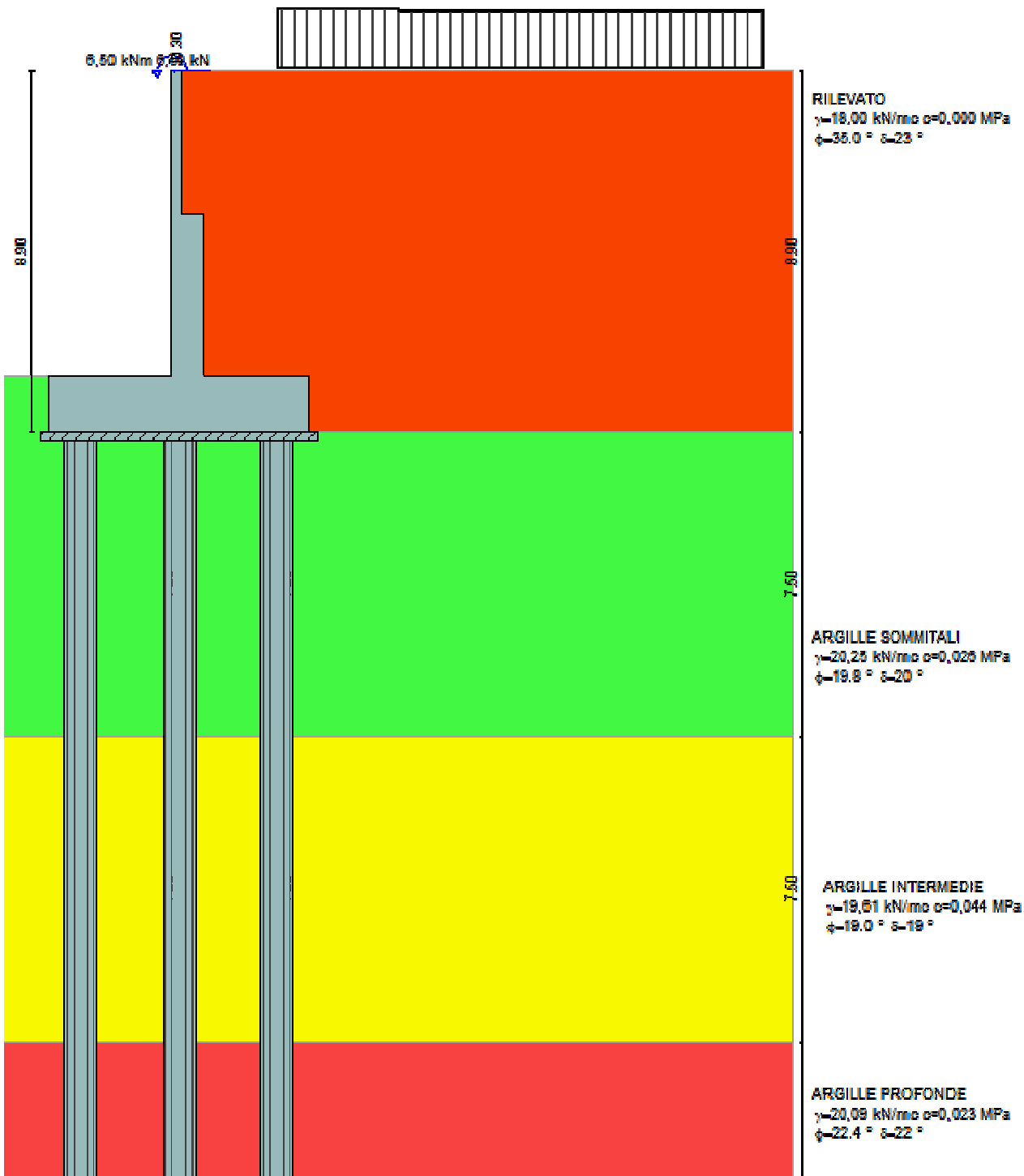


Figura 6.1: Modello di calcolo muri tipo 1

6.1 Geometria muro e fondazione

| | | |
|--|---|-------------------|
| Cod. elab.: 101IN241-MU76-6-CL-211_B | Titolo: OPERE D'ARTE MINORI - MURI IN C.A. | Data: Luglio 2011 |
| Nome file: 101IN241-MU76-6-CL-211_B.docx | MU.76- Muro di controripa 77.45 mt da 0+075.39 a 0+152.97 (Tronco 41) - Relazione di calcolo | Pagina 25 di 67 |

Descrizione Muro a gradoni in c.a.

Descrizione dei gradoni

| | |
|------------|---|
| Nr. | numero d'ordine del gradone (a partire dall'alto) |
| Bs | base superiore del gradone espressa in [m] |
| Bi | base inferiore del gradone espressa in [m] |
| Hg | altezza del gradone espressa in [m] |
| α_e | inclinazione esterna del gradone espressa in [°] |
| α_i | inclinazione interna del gradone espressa in [°] |

| Nr. | Bs | Bi | Hg | α_e | α_i |
|-----|------|------|------|------------|------------|
| 1 | 0,30 | 0,30 | 3,50 | 0,00 | 0,00 |
| 2 | 0,80 | 0,80 | 4,00 | 0,00 | 0,00 |

Altezza del paramento 7,50 [m]

Fondazione

| | |
|---|----------|
| Lunghezza mensola fondazione di valle | 3,00 [m] |
| Lunghezza mensola fondazione di monte | 2,60 [m] |
| Lunghezza totale fondazione | 6,40 [m] |
| Inclinazione piano di posa della fondazione | 0,00 [°] |
| Spessore fondazione | 1,40 [m] |
| Spessore magrone | 0,20 [m] |

Descrizione pali di fondazione

| | |
|-------------------------|------------------------------|
| Pali in c.a. | |
| Numero di file di pali | 3 |
| Vincolo pali/fondazione | Incastro |
| Tipo di portanza | Portanza laterale e di punta |

| | |
|------|---|
| N | numero d'ordine della fila |
| X | ascissa della fila misurata dallo spigolo di monte della fondazione espressa in [m] |
| nr. | Numero di pali della fila |
| D | diametro dei pali della fila espresso in [m] |
| L | lunghezza dei pali della fila espressa in [m] |
| alfa | inclinazione dei pali della fila rispetto alla verticale espressa in [°] |
| ALL | allineamento dei pali della fila rispetto al baricentro della fondazione |

| N | X | Nr. | D | L | alfa | ALL |
|---|------|-----|--------|-------|------|----------|
| 1 | 0,80 | 3 | 0,8000 | 24,00 | 0,00 | Centrati |
| 2 | 3,20 | 3 | 0,8000 | 24,00 | 0,00 | Centrati |
| 3 | 5,60 | 3 | 0,8000 | 24,00 | 0,00 | Centrati |

Geometria profilo terreno a monte del muro

(Sistema di riferimento con origine in testa al muro, ascissa X positiva verso monte, ordinata Y positiva verso l'alto)

N numero ordine del punto
X ascissa del punto espressa in [m]
Y ordinata del punto espressa in [m]
A inclinazione del tratto espresso in [°]

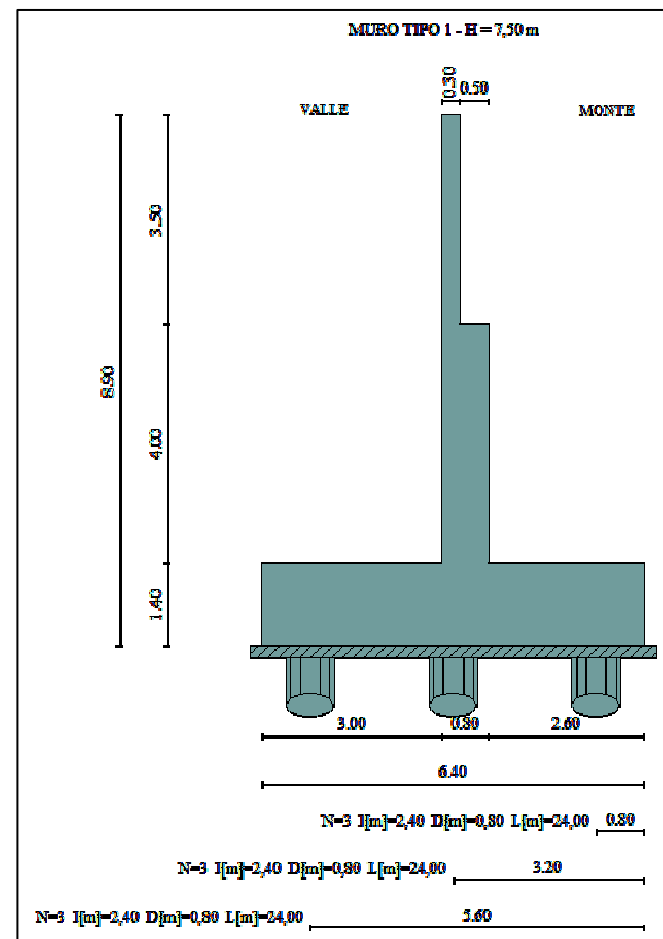
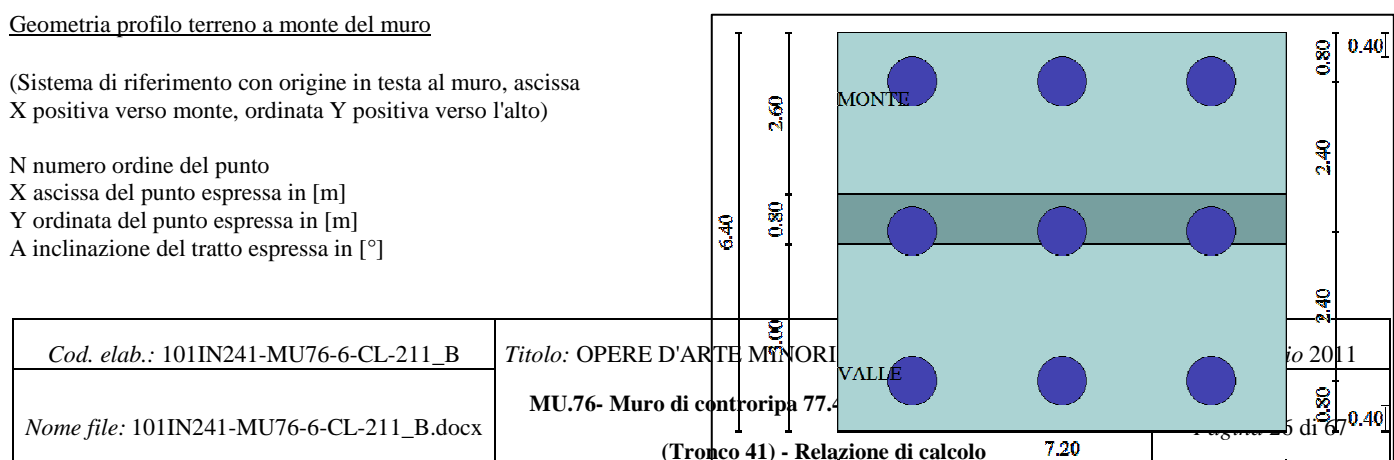


Figura 6.2: Geometria muri tipo 1



| | | | |
|----------|----------|----------|----------|
| N | X | Y | A |
| 1 | 15.00 | 0.00 | 0.00 |

6.2 Condizioni di carico

Carichi verticali positivi verso il basso.

Carichi orizzontali positivi verso sinistra.

Momento positivo senso antiorario.

X Ascissa del punto di applicazione del carico concentrato espresso in [m]

F_x Componente orizzontale del carico concentrato espresso in [kN]

F_y Componente verticale del carico concentrato espresso in [kN]

M Momento espresso in [kNm]

X_i Ascissa del punto iniziale del carico ripartito espresso in [m]

X_f Ascissa del punto finale del carico ripartito espresso in [m]

Q_i Intensità del carico per x=X_i espresso in [kN/m]

Q_f Intensità del carico per x=X_f espresso in [kN/m]

D / C Tipo carico : D=distribuito C=concentrato

Condizione n° 1 (PERMANENTI)

| | | | | | |
|---|---------|------------|-------------|--------------|--------------|
| D | Profilo | $X_i=2,30$ | $X_f=12,80$ | $Q_i=4,0000$ | $Q_f=4,0000$ |
|---|---------|------------|-------------|--------------|--------------|

Condizione n° 2 (MOBILI)

| | | | | | | |
|---|-----------|------------|-------------|---------------|---------------|------------|
| C | Paramento | $X=-0,25$ | $Y=0,00$ | $F_x=6,5000$ | $F_y=0,0000$ | $M=6,5000$ |
| D | Profilo | $X_i=2,30$ | $X_f=5,30$ | $Q_i=20,6000$ | $Q_f=20,6000$ | |
| D | Profilo | $X_i=5,30$ | $X_f=11,30$ | $Q_i=20,0000$ | $Q_f=20,0000$ | |

6.3 Stabilità globale muro + terreno

C Identificativo della combinazione

Tipo Tipo combinazione

Sisma Combinazione sismica

CS_{SCO} Coeff. di sicurezza allo scorrimento

CS_{RIB} Coeff. di sicurezza al ribaltamento

CS_{QLIM} Coeff. di sicurezza a carico limite

CS_{STAB} Coeff. di sicurezza a stabilità globale

| C | Tipo | Sisma | cs_{sco} | cs_{rib} | cs_{qlim} | cs_{stab} |
|----|-------------|----------------------------------|------------|------------|-------------|-------------|
| 1 | A1-M1 - [1] | -- | -- | -- | -- | -- |
| 2 | A1-M1 - [1] | -- | -- | -- | -- | -- |
| 3 | A1-M1 - [1] | -- | -- | -- | -- | -- |
| 4 | A1-M1 - [1] | -- | -- | -- | -- | -- |
| 5 | A2-M2 - [1] | -- | -- | -- | -- | -- |
| 6 | STAB - [1] | -- | -- | -- | -- | 3,44 |
| 7 | A1-M1 - [2] | -- | -- | -- | -- | -- |
| 8 | A1-M1 - [2] | -- | -- | -- | -- | -- |
| 9 | A1-M1 - [2] | -- | -- | -- | -- | -- |
| 10 | A1-M1 - [2] | -- | -- | -- | -- | -- |
| 11 | A2-M2 - [2] | -- | -- | -- | -- | -- |
| 12 | STAB - [2] | -- | -- | -- | -- | 3,03 |
| 13 | A1-M1 - [3] | Orizzontale + Verticale positivo | -- | -- | -- | -- |
| 14 | A1-M1 - [3] | Orizzontale + Verticale negativo | -- | -- | -- | -- |
| 15 | A2-M2 - [3] | Orizzontale + Verticale positivo | -- | -- | -- | -- |
| 16 | A2-M2 - [3] | Orizzontale + Verticale negativo | -- | -- | -- | -- |
| 17 | STAB - [3] | Orizzontale + Verticale positivo | -- | -- | -- | 2,47 |
| 18 | STAB - [3] | Orizzontale + Verticale negativo | -- | -- | -- | 2,56 |
| 19 | A1-M1 - [4] | Orizzontale + Verticale positivo | -- | -- | -- | -- |
| 20 | SLEQ - [1] | -- | -- | -- | -- | -- |

| | | |
|---|---|--------------------------|
| <i>Cod. elab.:</i> 101IN241-MU76-6-CL-211_B | <i>Titolo:</i> OPERE D'ARTE MINORI - MURI IN C.A. | <i>Data:</i> Luglio 2011 |
| <i>Nome file:</i> 101IN241-MU76-6-CL-211_B.docx | MU.76- Muro di controripa 77.45 mt da 0+075.39 a 0+152.97 (Tronco 41) - Relazione di calcolo | Pagina 27 di 67 |

| | | | | | | |
|----|------------|----|----|----|----|----|
| 21 | SLEF - [1] | -- | -- | -- | -- | -- |
| 22 | SLER - [1] | -- | -- | -- | -- | -- |

6.4 Analisi dei pali

Combinazione n° 15 (COMB. CRITICA)

Risultanti sulla base della fondazione (per metro lineare di muro)

| | | |
|-------------|-------|----------|
| Orizzontale | [kN] | 434,886 |
| Verticale | [kN] | 883,982 |
| Momento | [kNm] | -438,608 |

Spostamenti della piastra di fondazione

| | | |
|-------------|-----|-----------|
| Orizzontale | [m] | 0,0037956 |
| Verticale | [m] | 0,0010737 |
| Rotazione | [°] | -0,01789 |

Scarichi in testa ai pali

| Fila nr. | N.pali | N [kN] | T [kN] | M [kNm] | Tu [kN] | Mu [kNm] |
|----------|--------|---------|--------|---------|---------|----------|
| 1 | 3 | 213,62 | 347,91 | 438,83 | 480,34 | 605,87 |
| 2 | 3 | 707,19 | 347,91 | 438,83 | 480,34 | 605,87 |
| 3 | 3 | 1200,76 | 347,91 | 438,83 | 480,34 | 605,87 |

Calcolo della portanza

| | |
|-------------------------|--|
| τ_m | tensione tangenziale media palo-terreno in [MPa] |
| σ_p | tensione sul terreno alla punta del palo in [MPa] |
| N_c, N_q, N_γ | fattori di capacità portante |
| N'_c, N'_q, N'_γ | fattori di capacità portante corretti |
| P_l | portanza caratteristica per attrito e aderenza laterale in [kN] |
| P_p | portanza caratteristica di punta in [kN] |
| P_t | portanza caratteristica totale in [kN] |
| $P_{d,s}$ | portanza di progetto, con applicazione dei coeff. parziali alle singole aliquote della portanza, in [kN] |
| $P_{d,c}$ | portanza di progetto, con applicazione del coeff. parziale alla portanza totale, in [kN] |
| PT | Parametri Terreno utilizzati |

| Fila | N_c | N'_c | N_q | N'_q | N_γ | N'_γ | τ_m | σ_p |
|------|-------|--------|-------|--------|------------|-------------|----------|------------|
| 1 | 9.27 | 9.27 | 3.87 | 3.87 | 0.00 | 0.00 | 0.03 | 1.18 |
| 2 | 9.27 | 9.27 | 3.87 | 3.87 | 0.00 | 0.00 | 0.10 | 2.31 |
| 3 | 9.27 | 9.27 | 3.87 | 3.87 | 0.00 | 0.00 | 0.17 | 3.44 |

| Fila | P_l | P_p | P_t | $P_{d,s}$ | $P_{d,c}$ | PT |
|------|---------|--------|---------|-----------|-----------|--------|
| 1 | 1496,14 | 878,72 | 2073,27 | 1650,31 | 2073,27 | MEDI |
| 1 | 1450,08 | 740,42 | 1888,91 | 1507,81 | 1888,91 | MINIMI |
| 2 | 1496,14 | 878,72 | 2073,27 | 1650,31 | 2073,27 | MEDI |
| 2 | 1450,08 | 740,42 | 1888,91 | 1507,81 | 1888,91 | MINIMI |
| 3 | 1496,14 | 878,72 | 2073,27 | 1650,31 | 2073,27 | MEDI |
| 3 | 1450,08 | 740,42 | 1888,91 | 1507,81 | 1888,91 | MINIMI |

6.5 Inviluppo sollecitazioni paramento

L'ordinata Y(espressa in [m]) è considerata positiva verso il basso con origine in testa al muro

Momento positivo se tende le fibre contro terra (a monte), espresso in [kNm]

Sforzo normale positivo di compressione, espresso in [kN]

Taglio positivo se diretto da monte verso valle, espresso in [kN]

| | | |
|--|---|---|
| Cod. elab.: 101IN241-MU76-6-CL-211_B | Titolo: OPERE D'ARTE MINORI - MURI IN C.A. MU.76- Muro di controripa 77.45 mt da 0+075.39 a 0+152.97 (Tronco 41) - Relazione di calcolo | Data:Luglio 2011 Pagina 28 di 67 |
| Nome file: 101IN241-MU76-6-CL-211_B.docx | | |

Inviluppo combinazioni SLU

| Nr. | Y | Nmin | Nmax | Mmin | Mmax | Tmin | Tmax |
|-----|------|----------|----------|----------|----------|----------|----------|
| 1 | 0,00 | 0,0000 | 0,0000 | 0,0000 | 8,7750 | 0,0000 | 8,7750 |
| 2 | 1,17 | 9,9741 | 14,0731 | 1,1959 | 20,2157 | 3,5473 | 16,3444 |
| 3 | 2,33 | 22,3965 | 30,5180 | 10,3016 | 39,8359 | 14,1893 | 39,7834 |
| 4 | 3,50 | 37,3802 | 50,7060 | 35,6441 | 101,0614 | 32,2533 | 70,6444 |
| 5 | 4,23 | 89,0354 | 123,4802 | 61,2790 | 155,3203 | 48,5094 | 96,3500 |
| 6 | 5,32 | 120,6414 | 168,4180 | 126,3767 | 277,6786 | 76,8730 | 138,8877 |
| 7 | 6,41 | 154,3967 | 216,2668 | 223,7669 | 448,9837 | 111,4646 | 187,6535 |
| 8 | 7,50 | 190,2946 | 266,9673 | 361,4233 | 676,0178 | 152,2650 | 242,6280 |

Inviluppo combinazioni SLE

| Nr. | Y | Nmin | Nmax | Mmin | Mmax | Tmin | Tmax |
|-----|------|----------|----------|----------|----------|----------|----------|
| 1 | 0,00 | 0,0000 | 0,0000 | 0,0000 | 6,5000 | 0,0000 | 6,5000 |
| 2 | 1,17 | 9,9359 | 9,9359 | 0,8912 | 14,9746 | 2,7492 | 9,2492 |
| 3 | 2,33 | 22,2435 | 22,2435 | 7,8414 | 29,5081 | 10,9966 | 17,4966 |
| 4 | 3,50 | 36,9228 | 37,5600 | 27,2652 | 56,7569 | 24,7424 | 32,7195 |
| 5 | 4,23 | 88,3762 | 91,4668 | 47,0932 | 86,4767 | 37,2794 | 50,9442 |
| 6 | 5,32 | 119,6754 | 124,7540 | 95,5167 | 151,5045 | 59,2588 | 77,5325 |
| 7 | 6,41 | 153,0571 | 160,1976 | 169,7217 | 247,4161 | 86,0660 | 109,1197 |
| 8 | 7,50 | 188,5145 | 197,7536 | 274,9658 | 379,6199 | 117,6854 | 145,6039 |

6.6 Inviluppo sollecitazioni piastra di fondazione

Combinazione n° 15

Dimensioni della piastra

Larghezza(m) = 7.20 Altezza(m) = 6.40

Origine all'attacco con il muro all'estremità sinistra del muro

Ascissa X positiva verso destra

Ordinata Y positiva dall'attacco con il muro verso l'estremo libero

I momenti negativi tendono le fibre superiori

Sollecitazioni in direzione Y

| Nr. | Y | M _{ymin} | M _{ymax} | T _{ymin} | T _{ymax} |
|-----|------|-------------------|-------------------|-------------------|-------------------|
| 1 | 0,00 | -0,2714 | 0,4232 | -5,6584 | 8,1380 |
| 2 | 0,20 | -6,2396 | 7,7776 | -99,3724 | 62,7095 |
| 3 | 0,40 | -14,8006 | 15,1491 | -122,4875 | 123,2369 |
| 4 | 0,60 | -22,8960 | 39,3012 | 0,0000 | 191,8520 |
| 5 | 0,80 | 0,0000 | 77,0184 | 0,0000 | 290,7376 |
| 6 | 1,00 | 0,0000 | 129,1693 | 0,0000 | 478,6815 |
| 7 | 1,20 | 0,0000 | 193,8713 | 0,0000 | 694,0753 |
| 8 | 1,43 | 0,0000 | 289,4868 | 0,0000 | 584,9297 |
| 9 | 1,66 | 0,0000 | 393,6478 | 0,0000 | 514,4546 |
| 10 | 1,89 | 0,0000 | 493,0395 | 0,0000 | 476,9365 |
| 11 | 2,11 | 0,0000 | 590,4251 | 0,0000 | 454,3415 |
| 12 | 2,34 | 0,0000 | 686,4460 | 0,0000 | 439,3207 |
| 13 | 2,57 | 0,0000 | 780,2369 | 0,0000 | 452,9195 |
| 14 | 2,80 | 0,0000 | 881,0138 | 0,0000 | 497,1818 |
| 15 | 3,00 | 0,0000 | 1028,7579 | 0,0000 | 1252,5817 |
| 16 | 3,80 | -434,3735 | 0,0000 | -379,2653 | 0,0000 |
| 17 | 4,00 | -360,5071 | 0,0000 | -345,7510 | 0,0000 |
| 18 | 4,20 | -296,9511 | 0,0000 | -298,6372 | 0,0000 |
| 19 | 4,40 | -241,4146 | 0,0000 | -259,7427 | 0,0000 |
| 20 | 4,60 | -193,1331 | 0,0000 | -225,8674 | 0,0000 |
| 21 | 4,80 | -151,5819 | 0,0000 | -196,0920 | 0,0000 |

| | | |
|--|---|------------------|
| Cod. elab.: 101IN241-MU76-6-CL-211_B | Titolo: OPERE D'ARTE MINORI - MURI IN C.A. | Data:Luglio 2011 |
| Nome file: 101IN241-MU76-6-CL-211_B.docx | MU.76- Muro di controripa 77.45 mt da 0+075.39 a 0+152.97 (Tronco 41) - Relazione di calcolo | Pagina 29 di 67 |

| | | | | | |
|----|------|-----------|--------|-----------|--------|
| 22 | 5,00 | -116,8506 | 0,0000 | -169,3483 | 0,0000 |
| 23 | 5,20 | -91,3616 | 0,0000 | -144,9392 | 0,0000 |
| 24 | 5,40 | -71,7740 | 0,0000 | -122,4023 | 0,0000 |
| 25 | 5,60 | -52,0393 | 0,0000 | -107,0697 | 0,0000 |
| 26 | 5,80 | -33,6589 | 0,0000 | -105,4626 | 0,0000 |
| 27 | 6,00 | -15,4570 | 0,0000 | -106,6104 | 0,0000 |
| 28 | 6,20 | -3,8668 | 0,0000 | -53,2359 | 0,0000 |
| 29 | 6,40 | 0,0000 | 0,6310 | -8,0437 | 0,0000 |

Sollecitazioni in direzione X

| Nr. | X | M _{xmin} | M _{xmax} | T _{xmin} | T _{xmax} |
|-----|------|-------------------|-------------------|-------------------|-------------------|
| 1 | 0,00 | -0,4777 | 2,6226 | -38,3040 | 99,9515 |
| 2 | 0,40 | -14,6560 | 4,8156 | -219,9318 | 101,9704 |
| 3 | 0,80 | -78,6789 | 10,6028 | -349,5552 | 100,6577 |
| 4 | 1,20 | -123,0076 | 0,0000 | -89,3785 | 129,6797 |
| 5 | 1,60 | -61,1794 | 11,2060 | -39,7123 | 406,0202 |
| 6 | 2,00 | -2,3798 | 40,8726 | -40,2571 | 256,8759 |
| 7 | 2,40 | -0,1250 | 62,7677 | -63,7604 | 79,6628 |
| 8 | 2,80 | -2,1270 | 46,9875 | -240,4079 | 45,4217 |
| 9 | 3,20 | -48,0353 | 11,4631 | -374,1787 | 44,7981 |
| 10 | 3,60 | -102,5466 | 0,0000 | -110,5591 | 110,5591 |
| 11 | 4,00 | -48,0353 | 11,4631 | -44,7981 | 374,1787 |
| 12 | 4,40 | -2,1270 | 46,9875 | -45,4217 | 240,4079 |
| 13 | 4,80 | -0,1250 | 62,7677 | -79,6628 | 63,7604 |
| 14 | 5,20 | -2,3798 | 40,8726 | -256,8759 | 40,2571 |
| 15 | 5,60 | -61,1794 | 11,2060 | -406,0202 | 39,7123 |
| 16 | 6,00 | -123,0076 | 0,0000 | -129,6797 | 89,3785 |
| 17 | 6,40 | -78,6789 | 10,6028 | -100,6577 | 349,5552 |
| 18 | 6,80 | -14,6560 | 4,8156 | -101,9704 | 219,9318 |
| 19 | 7,20 | -0,4777 | 2,6226 | -99,9515 | 38,3040 |

6.7 Inviluppo armature e tensioni nei materiali del muro

L'ordinata Y(espressa in [m]) è considerata positiva verso il basso con origine in testa al muro

| | |
|-----------------|---|
| B | base della sezione espressa in [m] |
| H | altezza della sezione espressa in [m] |
| A _{fs} | area di armatura in corrispondenza del lembo di monte in [mq] |
| A _{fi} | area di armatura in corrispondenza del lembo di valle in [mq] |
| σ _c | tensione nel calcestruzzo espressa in [MPa] |
| τ _c | tensione tangenziale nel calcestruzzo espressa in [MPa] |
| σ _{fs} | tensione nell'armatura disposta sul lembo di monte in [MPa] |
| σ _{fi} | tensione nell'armatura disposta sul lembo di valle in [MPa] |
| N _u | sforzo normale ultimo espresso in [kN] |
| M _u | momento ultimo espresso in [kNm] |
| CS | coefficiente sicurezza sezione |
| VRcd | Aliquota di taglio assorbito dal cls, espresso in [kN] |
| VRsd | Aliquota di taglio assorbito dall'armatura, espresso in [kN] |
| VRd | Resistenza al taglio, espresso in [kN] |

Inviluppo SLU

| Nr. | Y | B, | H | A _{fs} | A _{fi} | N _u | M _u | CS | V _{Rd} | V _{Red} | V _{Rsd} |
|-----|------|-------|------|-----------------|-----------------|----------------|----------------|------|-----------------|------------------|------------------|
| 2 | 1,17 | 1,00, | 0,30 | 5 Ø 20 | 5 Ø 16 | 74,61 | -145,72 | 7,21 | 135,47 | -- | -- |
| 3 | 2,33 | 1,00, | 0,30 | 5 Ø 20 | 5 Ø 16 | 88,23 | -147,04 | 3,69 | 137,02 | -- | -- |
| 4 | 3,50 | 1,00, | 0,30 | 5 Ø 20 | 5 Ø 16 | 70,70 | -145,34 | 1,44 | 138,89 | -- | -- |
| 5 | 4,23 | 1,00, | 0,80 | 5 Ø 26 | 5 Ø 16 | 613,17 | -922,26 | 5,94 | 278,72 | -- | -- |
| 6 | 5,32 | 1,00, | 0,80 | 5 Ø 26 | 5 Ø 16 | 432,86 | -867,57 | 3,12 | 283,16 | -- | -- |

| | | |
|--|---|---|
| Cod. elab.: 101IN241-MU76-6-CL-211_B | Titolo: OPERE D'ARTE MINORI - MURI IN C.A. MU.76- Muro di controripa 77.45 mt da 0+075.39 a 0+152.97 (Tronco 41) - Relazione di calcolo | Data:Luglio 2011 Pagina 30 di 67 |
| Nome file: 101IN241-MU76-6-CL-211_B.docx | | |

| | | | | | | | | | | |
|---|------|------------|--------|--------|--------|---------|------|--------|----|----|
| 7 | 6,41 | 1,00, 0,80 | 5 Ø 26 | 5 Ø 16 | 327,50 | -835,61 | 1,86 | 287,91 | -- | -- |
| 8 | 7,50 | 1,00, 0,80 | 5 Ø 26 | 5 Ø 16 | 259,89 | -815,11 | 1,21 | 292,96 | -- | -- |

Inviluppo SLE

| Nr. | Y | B, H | A _{fs} | A _{fi} | σ _c | τ _c | σ _{fs} | σ _{fi} |
|-----|------|------------|-----------------|-----------------|----------------|----------------|-----------------|-----------------|
| 2 | 1,17 | 1,00, 0,30 | 5 Ø 20 | 5 Ø 16 | 1,453 | 0,044 | 40,291 | -9,383 |
| 3 | 2,33 | 1,00, 0,30 | 5 Ø 20 | 5 Ø 16 | 2,868 | 0,082 | 78,564 | -18,703 |
| 4 | 3,50 | 1,00, 0,30 | 5 Ø 20 | 5 Ø 16 | 5,509 | 0,154 | 152,744 | -35,557 |
| 5 | 4,23 | 1,00, 0,80 | 5 Ø 26 | 5 Ø 16 | 1,218 | 0,080 | 32,784 | -14,872 |
| 6 | 5,32 | 1,00, 0,80 | 5 Ø 26 | 5 Ø 16 | 2,116 | 0,122 | 62,881 | -25,428 |
| 7 | 6,41 | 1,00, 0,80 | 5 Ø 26 | 5 Ø 16 | 3,426 | 0,171 | 109,553 | -40,655 |
| 8 | 7,50 | 1,00, 0,80 | 5 Ø 26 | 5 Ø 16 | 5,218 | 0,228 | 175,805 | -61,332 |

6.8 Verifiche a fessurazione muro

L'ordinata Y (espressa in [m]) è considerata positiva verso il basso con origine in testa al muro

A_{fs} area di armatura in corrispondenza del lembo di monte in [mq]

A_{fi} area di armatura in corrispondenza del lembo di valle in [mq]

M_{pf} Momento di prima fessurazione espressa in [kNm]

M Momento agente nella sezione espressa in [kNm]

ε_m deformazione media espressa in [%]

s_m Distanza media tra le fessure espressa in [mm]

w Apertura media della fessura espressa in [mm]

Combinazione n° 20

| N° | Y | A _{fs} | A _{fi} | M _{pf} | M | ε _m | s _m | w |
|----|------|-----------------|-----------------|-----------------|---------|----------------|----------------|-------|
| 1 | 0,00 | 5 Ø 20 | 5 Ø 16 | -19,85 | 0,00 | 0,0000 | 0,00 | 0,000 |
| 2 | 0,39 | 5 Ø 20 | 5 Ø 16 | -20,05 | -0,02 | 0,0000 | 0,00 | 0,000 |
| 3 | 0,78 | 5 Ø 20 | 5 Ø 16 | -22,83 | -0,24 | 0,0000 | 0,00 | 0,000 |
| 4 | 1,17 | 5 Ø 20 | 5 Ø 16 | -22,83 | -0,89 | 0,0000 | 0,00 | 0,000 |
| 5 | 1,56 | 5 Ø 20 | 5 Ø 16 | -22,83 | -2,22 | 0,0000 | 0,00 | 0,000 |
| 6 | 1,94 | 5 Ø 20 | 5 Ø 16 | -22,83 | -4,46 | 0,0000 | 0,00 | 0,000 |
| 7 | 2,33 | 5 Ø 20 | 5 Ø 16 | -22,83 | -7,84 | 0,0000 | 0,00 | 0,000 |
| 8 | 2,72 | 5 Ø 20 | 5 Ø 16 | -22,83 | -12,61 | 0,0000 | 0,00 | 0,000 |
| 9 | 3,11 | 5 Ø 20 | 5 Ø 16 | -22,59 | -19,01 | 0,0000 | 0,00 | 0,000 |
| 10 | 3,50 | 5 Ø 20 | 5 Ø 16 | -22,83 | -27,27 | 0,0197 | 199,58 | 0,067 |
| 11 | 3,50 | 5 Ø 26 | 5 Ø 16 | -161,30 | -26,54 | 0,0000 | 0,00 | 0,000 |
| 12 | 3,86 | 5 Ø 26 | 5 Ø 16 | -161,30 | -35,77 | 0,0000 | 0,00 | 0,000 |
| 13 | 4,23 | 5 Ø 26 | 5 Ø 16 | -161,30 | -47,09 | 0,0000 | 0,00 | 0,000 |
| 14 | 4,59 | 5 Ø 26 | 5 Ø 16 | -161,30 | -60,70 | 0,0000 | 0,00 | 0,000 |
| 15 | 4,95 | 5 Ø 26 | 5 Ø 16 | -161,30 | -76,77 | 0,0000 | 0,00 | 0,000 |
| 16 | 5,32 | 5 Ø 26 | 5 Ø 16 | -161,30 | -95,52 | 0,0000 | 0,00 | 0,000 |
| 17 | 5,68 | 5 Ø 26 | 5 Ø 16 | -161,30 | -117,13 | 0,0000 | 0,00 | 0,000 |
| 18 | 6,05 | 5 Ø 26 | 5 Ø 16 | -161,30 | -141,80 | 0,0000 | 0,00 | 0,000 |
| 19 | 6,41 | 5 Ø 26 | 5 Ø 16 | -161,30 | -169,72 | 0,0199 | 173,71 | 0,059 |
| 20 | 6,77 | 5 Ø 26 | 5 Ø 16 | -161,30 | -201,10 | 0,0244 | 173,71 | 0,072 |
| 21 | 7,14 | 5 Ø 26 | 5 Ø 16 | -161,30 | -236,11 | 0,0309 | 173,71 | 0,091 |
| 22 | 7,50 | 5 Ø 26 | 5 Ø 16 | -161,30 | -274,97 | 0,0432 | 173,71 | 0,128 |

Combinazione n° 21

| N° | Y | A _{fs} | A _{fi} | M _{pf} | M | ε _m | s _m | w |
|----|------|-----------------|-----------------|-----------------|--------|----------------|----------------|-------|
| 1 | 0,00 | 5 Ø 20 | 5 Ø 16 | -19,85 | -4,87 | 0,0000 | 0,00 | 0,000 |
| 2 | 0,39 | 5 Ø 20 | 5 Ø 16 | -20,05 | -6,79 | 0,0000 | 0,00 | 0,000 |
| 3 | 0,78 | 5 Ø 20 | 5 Ø 16 | -22,83 | -8,90 | 0,0000 | 0,00 | 0,000 |
| 4 | 1,17 | 5 Ø 20 | 5 Ø 16 | -22,83 | -11,45 | 0,0000 | 0,00 | 0,000 |
| 5 | 1,56 | 5 Ø 20 | 5 Ø 16 | -22,83 | -14,68 | 0,0000 | 0,00 | 0,000 |

| | | |
|--|---|------------------|
| Cod. elab.: 101IN241-MU76-6-CL-211_B | Titolo: OPERE D'ARTE MINORI - MURI IN C.A. | Data:Luglio 2011 |
| Nome file: 101IN241-MU76-6-CL-211_B.docx | MU.76- Muro di controripa 77.45 mt da 0+075.39 a 0+152.97 (Tronco 41) - Relazione di calcolo | Pagina 31 di 67 |

| | | | | | | | | |
|----|------|--------|--------|---------|---------|--------|--------|-------|
| 6 | 1,94 | 5 Ø 20 | 5 Ø 16 | -22,83 | -18,81 | 0,0000 | 0,00 | 0,000 |
| 7 | 2,33 | 5 Ø 20 | 5 Ø 16 | -22,83 | -24,09 | 0,0183 | 199,58 | 0,062 |
| 8 | 2,72 | 5 Ø 20 | 5 Ø 16 | -22,83 | -30,76 | 0,0270 | 199,58 | 0,092 |
| 9 | 3,11 | 5 Ø 20 | 5 Ø 16 | -22,59 | -39,05 | 0,0406 | 199,58 | 0,138 |
| 10 | 3,50 | 5 Ø 20 | 5 Ø 16 | -22,83 | -49,31 | 0,0562 | 199,58 | 0,191 |
| 11 | 3,50 | 5 Ø 26 | 5 Ø 16 | -161,30 | -49,65 | 0,0000 | 0,00 | 0,000 |
| 12 | 3,86 | 5 Ø 26 | 5 Ø 16 | -161,30 | -61,78 | 0,0000 | 0,00 | 0,000 |
| 13 | 4,23 | 5 Ø 26 | 5 Ø 16 | -161,30 | -76,40 | 0,0000 | 0,00 | 0,000 |
| 14 | 4,59 | 5 Ø 26 | 5 Ø 16 | -161,30 | -93,69 | 0,0000 | 0,00 | 0,000 |
| 15 | 4,95 | 5 Ø 26 | 5 Ø 16 | -161,30 | -113,88 | 0,0000 | 0,00 | 0,000 |
| 16 | 5,32 | 5 Ø 26 | 5 Ø 16 | -161,30 | -137,16 | 0,0000 | 0,00 | 0,000 |
| 17 | 5,68 | 5 Ø 26 | 5 Ø 16 | -161,30 | -163,73 | 0,0198 | 173,71 | 0,058 |
| 18 | 6,05 | 5 Ø 26 | 5 Ø 16 | -161,30 | -193,80 | 0,0240 | 173,71 | 0,071 |
| 19 | 6,41 | 5 Ø 26 | 5 Ø 16 | -161,30 | -227,56 | 0,0297 | 173,71 | 0,088 |
| 20 | 6,77 | 5 Ø 26 | 5 Ø 16 | -161,30 | -265,20 | 0,0417 | 173,71 | 0,123 |
| 21 | 7,14 | 5 Ø 26 | 5 Ø 16 | -161,30 | -306,94 | 0,0541 | 173,71 | 0,160 |
| 22 | 7,50 | 5 Ø 26 | 5 Ø 16 | -161,30 | -352,95 | 0,0672 | 173,71 | 0,199 |

Combinazione n° 22

| N° | Y | A _{fs} | A _{fi} | M _{pf} | M | ε _m | s _m | w |
|----|------|-----------------|-----------------|-----------------|---------|----------------|----------------|-------|
| 1 | 0,00 | 5 Ø 20 | 5 Ø 16 | -19,85 | -6,50 | 0,0000 | 0,00 | 0,000 |
| 2 | 0,39 | 5 Ø 20 | 5 Ø 16 | -20,05 | -9,05 | 0,0000 | 0,00 | 0,000 |
| 3 | 0,78 | 5 Ø 20 | 5 Ø 16 | -22,83 | -11,79 | 0,0000 | 0,00 | 0,000 |
| 4 | 1,17 | 5 Ø 20 | 5 Ø 16 | -22,83 | -14,97 | 0,0000 | 0,00 | 0,000 |
| 5 | 1,56 | 5 Ø 20 | 5 Ø 16 | -22,83 | -18,83 | 0,0000 | 0,00 | 0,000 |
| 6 | 1,94 | 5 Ø 20 | 5 Ø 16 | -22,83 | -23,59 | 0,0183 | 199,58 | 0,062 |
| 7 | 2,33 | 5 Ø 20 | 5 Ø 16 | -22,83 | -29,51 | 0,0256 | 199,58 | 0,087 |
| 8 | 2,72 | 5 Ø 20 | 5 Ø 16 | -22,83 | -36,81 | 0,0377 | 199,58 | 0,128 |
| 9 | 3,11 | 5 Ø 20 | 5 Ø 16 | -22,59 | -45,75 | 0,0514 | 199,58 | 0,174 |
| 10 | 3,50 | 5 Ø 20 | 5 Ø 16 | -22,83 | -56,76 | 0,0677 | 199,58 | 0,230 |
| 11 | 3,50 | 5 Ø 26 | 5 Ø 16 | -161,30 | -57,54 | 0,0000 | 0,00 | 0,000 |
| 12 | 3,86 | 5 Ø 26 | 5 Ø 16 | -161,30 | -70,71 | 0,0000 | 0,00 | 0,000 |
| 13 | 4,23 | 5 Ø 26 | 5 Ø 16 | -161,30 | -86,48 | 0,0000 | 0,00 | 0,000 |
| 14 | 4,59 | 5 Ø 26 | 5 Ø 16 | -161,30 | -105,06 | 0,0000 | 0,00 | 0,000 |
| 15 | 4,95 | 5 Ø 26 | 5 Ø 16 | -161,30 | -126,67 | 0,0000 | 0,00 | 0,000 |
| 16 | 5,32 | 5 Ø 26 | 5 Ø 16 | -161,30 | -151,50 | 0,0000 | 0,00 | 0,000 |
| 17 | 5,68 | 5 Ø 26 | 5 Ø 16 | -161,30 | -179,77 | 0,0223 | 173,71 | 0,066 |
| 18 | 6,05 | 5 Ø 26 | 5 Ø 16 | -161,30 | -211,68 | 0,0268 | 173,71 | 0,079 |
| 19 | 6,41 | 5 Ø 26 | 5 Ø 16 | -161,30 | -247,42 | 0,0366 | 173,71 | 0,108 |
| 20 | 6,77 | 5 Ø 26 | 5 Ø 16 | -161,30 | -287,19 | 0,0488 | 173,71 | 0,144 |
| 21 | 7,14 | 5 Ø 26 | 5 Ø 16 | -161,30 | -331,19 | 0,0615 | 173,71 | 0,182 |
| 22 | 7,50 | 5 Ø 26 | 5 Ø 16 | -161,30 | -379,62 | 0,0750 | 173,71 | 0,222 |

6.9 Inviluppo armature e tensioni nei materiali della fondazione

Simbologia adottata

| | |
|-----------------|--|
| B | base della sezione espressa in [m] |
| H | altezza della sezione espressa in [m] |
| A _{fi} | area di armatura in corrispondenza del lembo inferiore in [mq] |
| A _{fs} | area di armatura in corrispondenza del lembo superiore in [mq] |
| σ _c | tensione nel calcestruzzo espressa in [MPa] |
| τ _c | tensione tangenziale nel calcestruzzo espressa in [MPa] |
| σ _{fi} | tensione nell'armatura disposta in corrispondenza del lembo inferiore in [MPa] |
| σ _{fs} | tensione nell'armatura disposta in corrispondenza del lembo superiore in [MPa] |
| N _u | sforzo normale ultimo espresso in [kN] |
| M _u | momento ultimo espresso in [kNm] |
| CS | coefficiente sicurezza sezione |
| VRcd | Aliquota di taglio assorbito dal cls, espresso in [kN] |

| | | |
|--|---|------------------|
| Cod. elab.: 101IN241-MU76-6-CL-211_B | Titolo: OPERE D'ARTE MINORI - MURI IN C.A. | Data:Luglio 2011 |
| Nome file: 101IN241-MU76-6-CL-211_B.docx | MU.76- Muro di controripa 77.45 mt da 0+075.39 a 0+152.97 (Tronco 41) - Relazione di calcolo | Pagina 32 di 67 |

VRsd Aliquota di taglio assorbito dall'armatura, espresso in [kN]
 VRd Resistenza al taglio, espresso in [kN]

Fondazione di valle

(L'ascissa X, espressa in [m], è positiva verso monte con origine in corrispondenza dell'estremo libero della fondazione di valle)

Inviluppo SLU

| Nr. | Y | B , H | A _{fs} | A _{fi} | N _u | M _u | CS | V _{Rd} | V _{Red} | V _{Rsd} |
|-----|------|------------|-----------------|-----------------|----------------|----------------|-------|-----------------|------------------|------------------|
| 1 | 0,40 | 1,00, 1,40 | 5 Ø 24 | 5 Ø 24 | 0,00 | -1156,01 | 76,31 | 388,30 | -- | -- |
| 2 | 1,00 | 1,00, 1,40 | 5 Ø 24 | 5 Ø 24 | 0,00 | 1156,01 | 8,95 | 8200,09 | 8200,09 | 67584,06 |
| 3 | 1,66 | 1,00, 1,40 | 5Ø24+1Ø16 | 5 Ø 24 | 0,00 | 1156,23 | 2,94 | 8200,09 | 8200,09 | 59136,05 |
| 4 | 2,34 | 1,00, 1,40 | 5 Ø 24 | 5Ø24+1Ø16 | 0,00 | 1257,37 | 1,83 | 8200,09 | 8200,09 | 59136,05 |
| 5 | 3,00 | 1,00, 1,40 | 5 Ø 24 | 5Ø24+1Ø16 | 0,00 | 1257,37 | 1,22 | 8200,09 | 8200,09 | 135168,12 |

Inviluppo SLE

| Nr. | X | B , H | A _{fs} | A _{fi} | σ _c | τ _c | σ _{fi} | σ _{fs} |
|-----|------|------------|-----------------|-----------------|----------------|----------------|-----------------|-----------------|
| 6 | 0,40 | 1,00, 1,40 | 5 Ø 24 | 5 Ø 24 | 0,050 | 0,025 | 2,572 | 3,320 |
| 7 | 1,00 | 1,00, 1,40 | 5 Ø 24 | 5 Ø 24 | 0,343 | 0,158 | 22,884 | -4,106 |
| 8 | 1,66 | 1,00, 1,40 | 5Ø24+1Ø16 | 5 Ø 24 | 1,048 | 0,203 | 70,579 | -12,521 |
| 9 | 2,34 | 1,00, 1,40 | 5 Ø 24 | 5Ø24+1Ø16 | 1,758 | 0,181 | 111,599 | -21,259 |
| 10 | 3,00 | 1,00, 1,40 | 5 Ø 24 | 5Ø24+1Ø16 | 2,725 | 0,394 | 173,007 | -32,957 |

Fondazione di monte

(L'ascissa X, espressa in [m], è positiva verso valle con origine in corrispondenza dell'estremo libero della fondazione di monte)

Inviluppo SLU

| Nr. | Y | B , H | A _{fs} | A _{fi} | N _u | M _u | CS | V _{Rd} | V _{Red} | V _{Rsd} |
|-----|------|------------|-----------------|-----------------|----------------|----------------|--------|-----------------|------------------|------------------|
| 1 | 0,20 | 1,00, 1,40 | 5 Ø 24 | 5 Ø 24 | 0,00 | -1156,01 | 137,62 | 388,30 | -- | -- |
| 2 | 0,80 | 1,00, 1,40 | 5 Ø 24 | 5 Ø 24 | 0,00 | -1156,01 | 15,58 | 0,00 | -- | -- |
| 3 | 1,40 | 1,00, 1,40 | 5 Ø 24 | 5 Ø 24 | 0,00 | 0,00 | 8,43 | 0,00 | -- | -- |
| 4 | 2,00 | 1,00, 1,40 | 5 Ø 24 | 5 Ø 24 | 0,00 | -1156,01 | 4,11 | 8200,09 | 8200,09 | 67584,06 |
| 5 | 2,60 | 1,00, 1,40 | 5 Ø 24 | 5Ø24+1Ø16 | 0,00 | -1156,23 | 2,37 | 8200,09 | 8200,09 | 135168,12 |

Inviluppo SLE

| Nr. | X | B , H | A _{fs} | A _{fi} | σ _c | τ _c | σ _{fi} | σ _{fs} |
|-----|------|------------|-----------------|-----------------|----------------|----------------|-----------------|-----------------|
| 6 | 0,20 | 1,00, 1,40 | 5 Ø 24 | 5 Ø 24 | 0,032 | 0,000 | 0,717 | 2,161 |
| 7 | 0,80 | 1,00, 1,40 | 5 Ø 24 | 5 Ø 24 | 0,274 | 0,014 | -3,284 | 18,303 |
| 8 | 1,40 | 1,00, 1,40 | 5 Ø 24 | 5 Ø 24 | 0,160 | 0,053 | 5,042 | 10,705 |
| 9 | 2,00 | 1,00, 1,40 | 5 Ø 24 | 5 Ø 24 | 0,342 | 0,000 | 6,324 | 22,828 |
| 10 | 2,60 | 1,00, 1,40 | 5 Ø 24 | 5Ø24+1Ø16 | 1,009 | 0,000 | -12,053 | 67,944 |

6.10 Verifiche a fessurazione fondazione

L'ordinata Y (espressa in [m]) è considerata positiva verso il basso con origine in testa al muro

A_{fs} area di armatura in corrispondenza del lembo di monte in [mq]

A_{fi} area di armatura in corrispondenza del lembo di valle in [mq]

M_{pf} Momento di prima fessurazione espresso in [kNm]

M Momento agente nella sezione espresso in [kNm]

ε_m deformazione media espresso in [%]

s_m Distanza media tra le fessure espresso in [mm]

w Apertura media della fessura espresso in [mm]

Combinazione n° 20

| | | |
|--|---|---|
| Cod. elab.: 101IN241-MU76-6-CL-211_B | Titolo: OPERE D'ARTE MINORI - MURI IN C.A. MU.76- Muro di controripa 77.45 mt da 0+075.39 a 0+152.97 (Tronco 41) - Relazione di calcolo | Data:Luglio 2011 Pagina 33 di 67 |
| Nome file: 101IN241-MU76-6-CL-211_B.docx | | |

| | | | | | | | | |
|----|-------|--------|--------|---------|---------|--------|------|-------|
| 1 | -3,30 | 5 Ø 24 | 5 Ø 24 | 470,01 | 0,26 | 0,0000 | 0,00 | 0,000 |
| 2 | -3,10 | 5 Ø 24 | 5 Ø 24 | 470,01 | 3,27 | 0,0000 | 0,00 | 0,000 |
| 3 | -2,90 | 5 Ø 24 | 5 Ø 24 | -470,01 | -8,22 | 0,0000 | 0,00 | 0,000 |
| 4 | -2,70 | 5 Ø 24 | 5 Ø 24 | 470,65 | 14,60 | 0,0000 | 0,00 | 0,000 |
| 5 | -2,50 | 5 Ø 24 | 5 Ø 24 | 470,01 | 29,24 | 0,0000 | 0,00 | 0,000 |
| 6 | -2,30 | 5 Ø 24 | 5 Ø 24 | 470,01 | 49,73 | 0,0000 | 0,00 | 0,000 |
| 7 | -2,10 | 5 Ø 24 | 5 Ø 24 | 470,01 | 75,25 | 0,0000 | 0,00 | 0,000 |
| 8 | -1,87 | 5 Ø 24 | 5 Ø 24 | 470,01 | 113,64 | 0,0000 | 0,00 | 0,000 |
| 9 | -1,64 | 5 Ø 24 | 5 Ø 24 | 470,65 | 154,77 | 0,0000 | 0,00 | 0,000 |
| 10 | -1,41 | 5 Ø 24 | 5 Ø 24 | 470,01 | 192,72 | 0,0000 | 0,00 | 0,000 |
| 11 | -1,19 | 5 Ø 24 | 5 Ø 24 | 472,72 | 228,72 | 0,0000 | 0,00 | 0,000 |
| 12 | -0,96 | 5 Ø 24 | 5 Ø 24 | 472,72 | 262,91 | 0,0000 | 0,00 | 0,000 |
| 13 | -0,73 | 5 Ø 24 | 5 Ø 24 | 470,01 | 295,57 | 0,0000 | 0,00 | 0,000 |
| 14 | -0,50 | 5 Ø 24 | 5 Ø 24 | 470,01 | 333,58 | 0,0000 | 0,00 | 0,000 |
| 15 | -0,30 | 5 Ø 24 | 5 Ø 24 | 472,72 | 415,28 | 0,0000 | 0,00 | 0,000 |
| 16 | 0,50 | 5 Ø 24 | 5 Ø 24 | -470,65 | -107,91 | 0,0000 | 0,00 | 0,000 |
| 17 | 0,70 | 5 Ø 24 | 5 Ø 24 | -470,01 | -50,38 | 0,0000 | 0,00 | 0,000 |
| 18 | 0,90 | 5 Ø 24 | 5 Ø 24 | -470,01 | -19,55 | 0,0000 | 0,00 | 0,000 |
| 19 | 1,10 | 5 Ø 24 | 5 Ø 24 | 470,01 | 18,21 | 0,0000 | 0,00 | 0,000 |
| 20 | 1,30 | 5 Ø 24 | 5 Ø 24 | 470,01 | 24,60 | 0,0000 | 0,00 | 0,000 |
| 21 | 1,50 | 5 Ø 24 | 5 Ø 24 | 470,01 | 23,94 | 0,0000 | 0,00 | 0,000 |
| 22 | 1,70 | 5 Ø 24 | 5 Ø 24 | 470,01 | 14,52 | 0,0000 | 0,00 | 0,000 |
| 23 | 1,90 | 5 Ø 24 | 5 Ø 24 | -472,72 | -14,69 | 0,0000 | 0,00 | 0,000 |
| 24 | 2,10 | 5 Ø 24 | 5 Ø 24 | -470,01 | -38,02 | 0,0000 | 0,00 | 0,000 |
| 25 | 2,30 | 5 Ø 24 | 5 Ø 24 | -470,01 | -45,04 | 0,0000 | 0,00 | 0,000 |
| 26 | 2,50 | 5 Ø 24 | 5 Ø 24 | -470,01 | -40,56 | 0,0000 | 0,00 | 0,000 |
| 27 | 2,70 | 5 Ø 24 | 5 Ø 24 | -470,01 | -20,47 | 0,0000 | 0,00 | 0,000 |
| 28 | 2,90 | 5 Ø 24 | 5 Ø 24 | -470,01 | -6,22 | 0,0000 | 0,00 | 0,000 |
| 29 | 3,10 | 5 Ø 24 | 5 Ø 24 | 470,01 | 0,76 | 0,0000 | 0,00 | 0,000 |

Combinazione n° 21

| N° | Y | A _f | A _f | M _{pf} | M | ε _m | s _m | w |
|----|-------|----------------|----------------|-----------------|---------|----------------|----------------|-------|
| 1 | -3,30 | 5 Ø 24 | 5 Ø 24 | 470,01 | 0,28 | 0,0000 | 0,00 | 0,000 |
| 2 | -3,10 | 5 Ø 24 | 5 Ø 24 | 470,01 | 3,96 | 0,0000 | 0,00 | 0,000 |
| 3 | -2,90 | 5 Ø 24 | 5 Ø 24 | -470,01 | -9,23 | 0,0000 | 0,00 | 0,000 |
| 4 | -2,70 | 5 Ø 24 | 5 Ø 24 | 470,65 | 18,37 | 0,0000 | 0,00 | 0,000 |
| 5 | -2,50 | 5 Ø 24 | 5 Ø 24 | 470,01 | 36,53 | 0,0000 | 0,00 | 0,000 |
| 6 | -2,30 | 5 Ø 24 | 5 Ø 24 | 470,01 | 61,86 | 0,0000 | 0,00 | 0,000 |
| 7 | -2,10 | 5 Ø 24 | 5 Ø 24 | 470,01 | 93,37 | 0,0000 | 0,00 | 0,000 |
| 8 | -1,87 | 5 Ø 24 | 5 Ø 24 | 470,01 | 140,50 | 0,0000 | 0,00 | 0,000 |
| 9 | -1,64 | 5 Ø 24 | 5 Ø 24 | 470,65 | 191,26 | 0,0000 | 0,00 | 0,000 |
| 10 | -1,41 | 5 Ø 24 | 5 Ø 24 | 470,01 | 238,60 | 0,0000 | 0,00 | 0,000 |
| 11 | -1,19 | 5 Ø 24 | 5 Ø 24 | 472,72 | 283,97 | 0,0000 | 0,00 | 0,000 |
| 12 | -0,96 | 5 Ø 24 | 5 Ø 24 | 472,72 | 327,60 | 0,0000 | 0,00 | 0,000 |
| 13 | -0,73 | 5 Ø 24 | 5 Ø 24 | 470,01 | 369,27 | 0,0000 | 0,00 | 0,000 |
| 14 | -0,50 | 5 Ø 24 | 5 Ø 24 | 470,01 | 417,29 | 0,0000 | 0,00 | 0,000 |
| 15 | -0,30 | 5 Ø 24 | 5 Ø 24 | 472,72 | 509,79 | 0,0475 | 147,86 | 0,119 |
| 16 | 0,50 | 5 Ø 24 | 5 Ø 24 | -470,65 | -173,85 | 0,0000 | 0,00 | 0,000 |
| 17 | 0,70 | 5 Ø 24 | 5 Ø 24 | -470,01 | -111,94 | 0,0000 | 0,00 | 0,000 |
| 18 | 0,90 | 5 Ø 24 | 5 Ø 24 | -470,01 | -74,75 | 0,0000 | 0,00 | 0,000 |
| 19 | 1,10 | 5 Ø 24 | 5 Ø 24 | -470,01 | -49,65 | 0,0000 | 0,00 | 0,000 |
| 20 | 1,30 | 5 Ø 24 | 5 Ø 24 | -470,01 | -33,20 | 0,0000 | 0,00 | 0,000 |
| 21 | 1,50 | 5 Ø 24 | 5 Ø 24 | -470,01 | -23,55 | 0,0000 | 0,00 | 0,000 |
| 22 | 1,70 | 5 Ø 24 | 5 Ø 24 | -470,01 | -21,89 | 0,0000 | 0,00 | 0,000 |
| 23 | 1,90 | 5 Ø 24 | 5 Ø 24 | -472,72 | -33,69 | 0,0000 | 0,00 | 0,000 |
| 24 | 2,10 | 5 Ø 24 | 5 Ø 24 | -470,01 | -49,43 | 0,0000 | 0,00 | 0,000 |
| 25 | 2,30 | 5 Ø 24 | 5 Ø 24 | -470,01 | -50,79 | 0,0000 | 0,00 | 0,000 |
| 26 | 2,50 | 5 Ø 24 | 5 Ø 24 | -470,01 | -42,48 | 0,0000 | 0,00 | 0,000 |

| | | |
|--|---|------------------|
| Cod. elab.: 101IN241-MU76-6-CL-211_B | Titolo: OPERE D'ARTE MINORI - MURI IN C.A. | Data:Luglio 2011 |
| Nome file: 101IN241-MU76-6-CL-211_B.docx | MU.76- Muro di controripa 77.45 mt da 0+075.39 a 0+152.97 (Tronco 41) - Relazione di calcolo | Pagina 34 di 67 |

| | | | | | | | | |
|----|------|--------|--------|---------|--------|--------|------|-------|
| 27 | 2,70 | 5 Ø 24 | 5 Ø 24 | -470,01 | -21,06 | 0,0000 | 0,00 | 0,000 |
| 28 | 2,90 | 5 Ø 24 | 5 Ø 24 | -470,01 | -6,20 | 0,0000 | 0,00 | 0,000 |
| 29 | 3,10 | 5 Ø 24 | 5 Ø 24 | 470,01 | 0,80 | 0,0000 | 0,00 | 0,000 |

Combinazione n° 22

| N° | Y | A _{fs} | A _{fi} | M _{pf} | M | ε _m | s _m | w |
|----|-------|-----------------|-----------------|-----------------|---------|----------------|----------------|-------|
| 1 | -3,30 | 5 Ø 24 | 5 Ø 24 | 470,01 | 0,29 | 0,0000 | 0,00 | 0,000 |
| 2 | -3,10 | 5 Ø 24 | 5 Ø 24 | 470,01 | 4,18 | 0,0000 | 0,00 | 0,000 |
| 3 | -2,90 | 5 Ø 24 | 5 Ø 24 | -470,01 | -9,56 | 0,0000 | 0,00 | 0,000 |
| 4 | -2,70 | 5 Ø 24 | 5 Ø 24 | 470,65 | 19,63 | 0,0000 | 0,00 | 0,000 |
| 5 | -2,50 | 5 Ø 24 | 5 Ø 24 | 470,01 | 38,97 | 0,0000 | 0,00 | 0,000 |
| 6 | -2,30 | 5 Ø 24 | 5 Ø 24 | 470,01 | 65,91 | 0,0000 | 0,00 | 0,000 |
| 7 | -2,10 | 5 Ø 24 | 5 Ø 24 | 470,01 | 99,40 | 0,0000 | 0,00 | 0,000 |
| 8 | -1,87 | 5 Ø 24 | 5 Ø 24 | 470,01 | 149,46 | 0,0000 | 0,00 | 0,000 |
| 9 | -1,64 | 5 Ø 24 | 5 Ø 24 | 470,65 | 203,42 | 0,0000 | 0,00 | 0,000 |
| 10 | -1,41 | 5 Ø 24 | 5 Ø 24 | 470,01 | 253,89 | 0,0000 | 0,00 | 0,000 |
| 11 | -1,19 | 5 Ø 24 | 5 Ø 24 | 472,72 | 302,39 | 0,0000 | 0,00 | 0,000 |
| 12 | -0,96 | 5 Ø 24 | 5 Ø 24 | 472,72 | 349,17 | 0,0000 | 0,00 | 0,000 |
| 13 | -0,73 | 5 Ø 24 | 5 Ø 24 | 470,01 | 393,84 | 0,0000 | 0,00 | 0,000 |
| 14 | -0,50 | 5 Ø 24 | 5 Ø 24 | 470,01 | 445,20 | 0,0000 | 0,00 | 0,000 |
| 15 | -0,30 | 5 Ø 24 | 5 Ø 24 | 472,72 | 541,30 | 0,0529 | 147,86 | 0,133 |
| 16 | 0,50 | 5 Ø 24 | 5 Ø 24 | -470,65 | -195,83 | 0,0000 | 0,00 | 0,000 |
| 17 | 0,70 | 5 Ø 24 | 5 Ø 24 | -470,01 | -132,46 | 0,0000 | 0,00 | 0,000 |
| 18 | 0,90 | 5 Ø 24 | 5 Ø 24 | -470,01 | -93,16 | 0,0000 | 0,00 | 0,000 |
| 19 | 1,10 | 5 Ø 24 | 5 Ø 24 | -470,01 | -65,75 | 0,0000 | 0,00 | 0,000 |
| 20 | 1,30 | 5 Ø 24 | 5 Ø 24 | -470,01 | -46,93 | 0,0000 | 0,00 | 0,000 |
| 21 | 1,50 | 5 Ø 24 | 5 Ø 24 | -470,01 | -34,91 | 0,0000 | 0,00 | 0,000 |
| 22 | 1,70 | 5 Ø 24 | 5 Ø 24 | -470,01 | -30,83 | 0,0000 | 0,00 | 0,000 |
| 23 | 1,90 | 5 Ø 24 | 5 Ø 24 | -472,72 | -40,02 | 0,0000 | 0,00 | 0,000 |
| 24 | 2,10 | 5 Ø 24 | 5 Ø 24 | -470,01 | -53,24 | 0,0000 | 0,00 | 0,000 |
| 25 | 2,30 | 5 Ø 24 | 5 Ø 24 | -470,01 | -52,71 | 0,0000 | 0,00 | 0,000 |
| 26 | 2,50 | 5 Ø 24 | 5 Ø 24 | -470,01 | -43,11 | 0,0000 | 0,00 | 0,000 |
| 27 | 2,70 | 5 Ø 24 | 5 Ø 24 | -470,01 | -21,26 | 0,0000 | 0,00 | 0,000 |
| 28 | 2,90 | 5 Ø 24 | 5 Ø 24 | -470,01 | -6,19 | 0,0000 | 0,00 | 0,000 |
| 29 | 3,10 | 5 Ø 24 | 5 Ø 24 | 470,01 | 0,81 | 0,0000 | 0,00 | 0,000 |

6.11 Verifica a punzonamento della fondazione

D diametro dei pali della fila espresso in [m]
H_f altezza della fondazione in corrispondenza della fila espressa in [m]
S_I superficie di aderenza palo-fondazione ($H_f \cdot D$) espressa in [mq]
N sforzo normale trasmesso dal palo alla fondazione espresso in [kN]
τ_c tensione tangenziale palo-fondazione espressa in [MPa]

| Fila | D | H _f | S _I | N | τ _c |
|------|-------|----------------|----------------|---------|----------------|
| 1 | 0,800 | 1,400 | 3,51858 | 213,62 | 0,061 |
| 2 | 0,800 | 1,400 | 3,51858 | 707,19 | 0,201 |
| 3 | 0,800 | 1,400 | 3,51858 | 1200,76 | 0,341 |

6.12 Inviluppo sollecitazioni nei pali e verifiche delle sezioni

Nr. numero d'ordine della sezione a partire dall'attacco palo-fondazione
Y ordinata della sezione a partire dall'attacco palo-fondazione positiva verso il basso (in [m])
M momento flettente espresso in [kNm]
N sforzo normale espresso in [kN]
T taglio espresso in [kN]
M_u momento ultimo espresso in [kNm]
N_u sforzo normale ultimo espresso in [kN]

| | | |
|--|---|------------------|
| Cod. elab.: 101IN241-MU76-6-CL-211_B | Titolo: OPERE D'ARTE MINORI - MURI IN C.A. | Data:Luglio 2011 |
| Nome file: 101IN241-MU76-6-CL-211_B.docx | MU.76- Muro di controripa 77.45 mt da 0+075.39 a 0+152.97 (Tronco 41) - Relazione di calcolo | Pagina 35 di 67 |

T_u taglio ultimo espresso in [kN]
CS coefficiente di sicurezza

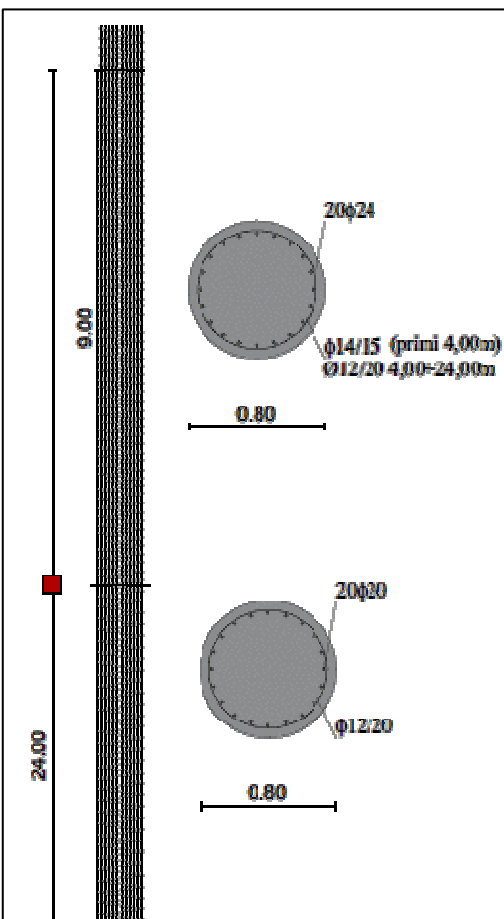
Inviluppo sollecitazioni fila di pali nr. 1

| Nr. | Y | Mmin | Mmax | Tmin | Tmax | Nmin | Nmax |
|-----|-------|-----------|----------|-----------|----------|----------|----------|
| 1 | 0,00 | 207,8639 | 438,8257 | 134,2779 | 347,9085 | 130,7351 | 959,3878 |
| 2 | 0,60 | 127,2972 | 230,0807 | 122,4927 | 336,1232 | 138,0330 | 966,2218 |
| 3 | 1,20 | 24,3328 | 70,1573 | 98,9224 | 312,5530 | 144,8468 | 971,6442 |
| 4 | 1,80 | -159,1251 | -5,5518 | 66,0601 | 277,1976 | 151,1767 | 975,6550 |
| 5 | 2,40 | -325,4436 | -45,1879 | 40,2130 | 230,0571 | 157,0227 | 978,2543 |
| 6 | 3,00 | -463,4779 | -69,3157 | 20,8688 | 171,1314 | 162,3846 | 979,4419 |
| 7 | 3,60 | -566,1568 | -81,8370 | 5,6632 | 100,4207 | 167,2626 | 979,2179 |
| 8 | 4,20 | -626,4092 | -86,1675 | -38,6246 | 17,9247 | 171,6567 | 977,5823 |
| 9 | 4,80 | -637,1640 | -81,3722 | -85,9954 | -16,8847 | 175,5667 | 974,5351 |
| 10 | 5,40 | -591,3502 | -71,2414 | -134,9284 | -21,1094 | 178,9928 | 970,0764 |
| 11 | 6,00 | -510,3931 | -58,5757 | -161,2679 | -22,1172 | 181,9349 | 964,2060 |
| 12 | 6,60 | -413,6324 | -45,3054 | -165,7778 | -21,1061 | 184,3931 | 956,9240 |
| 13 | 7,20 | -314,1657 | -32,6417 | -156,9235 | -19,0064 | 186,3673 | 948,2304 |
| 14 | 7,80 | -220,0116 | -21,2379 | -131,8186 | -15,0007 | 188,4736 | 939,9222 |
| 15 | 8,40 | -140,9205 | -12,2375 | -102,9705 | -11,0392 | 190,7935 | 932,2369 |
| 16 | 9,00 | -79,1382 | -5,6140 | -75,0713 | -7,5341 | 192,7380 | 923,4569 |
| 17 | 9,60 | -34,0954 | -0,5604 | -50,7942 | -4,6801 | 194,3073 | 913,5822 |
| 18 | 10,20 | -3,6189 | 8,2802 | -31,3309 | -2,5222 | 195,5012 | 902,6128 |
| 19 | 10,80 | 3,2279 | 16,5355 | -16,8630 | -1,0114 | 196,3198 | 890,5487 |
| 20 | 11,40 | 3,8347 | 25,2974 | -4,7922 | 0,9855 | 196,7631 | 877,3899 |
| 21 | 12,00 | 3,7378 | 28,1727 | 0,8169 | 4,0503 | 196,8311 | 863,1364 |
| 22 | 12,60 | 3,2477 | 26,5515 | 1,1002 | 6,7085 | 196,5237 | 847,7882 |
| 23 | 13,20 | 2,5875 | 22,5264 | 1,1395 | 8,2654 | 195,8410 | 831,3453 |
| 24 | 13,80 | 1,9038 | 17,5671 | 1,0373 | 8,2608 | 194,7831 | 813,8077 |
| 25 | 14,40 | 1,2814 | 12,6106 | 0,8696 | 7,3922 | 193,3497 | 795,1754 |
| 26 | 15,00 | 0,7596 | 8,1752 | 0,6879 | 6,1637 | 191,5411 | 775,4483 |
| 27 | 15,60 | 0,3469 | 4,4770 | 0,4537 | 4,3752 | 185,7226 | 744,0257 |
| 28 | 16,20 | 0,0624 | 1,8519 | 0,2645 | 2,8059 | 179,3762 | 711,0632 |
| 29 | 16,80 | -0,4057 | 0,1683 | 0,1254 | 1,5692 | 172,5018 | 676,5606 |
| 30 | 17,40 | -0,8284 | -0,1592 | 0,0324 | 0,6816 | 165,0994 | 640,5182 |
| 31 | 18,00 | -1,1821 | -0,1787 | -0,1098 | 0,1043 | 157,1690 | 602,9357 |
| 32 | 18,60 | -1,2447 | -0,1651 | -0,2541 | -0,0499 | 148,7106 | 567,3944 |
| 33 | 19,20 | -1,1091 | -0,1351 | -0,3775 | -0,0582 | 139,7243 | 546,0579 |
| 34 | 19,80 | -0,8826 | -0,1002 | -0,4122 | -0,0553 | 130,2100 | 523,7989 |
| 35 | 20,40 | -0,6353 | -0,0670 | -0,3716 | -0,0448 | 120,1677 | 500,6173 |
| 36 | 21,00 | -0,4124 | -0,0401 | -0,2922 | -0,0321 | 109,5975 | 476,5132 |
| 37 | 21,60 | -0,2371 | -0,0208 | -0,2033 | -0,0202 | 98,4992 | 451,4866 |
| 38 | 22,20 | -0,1151 | -0,0087 | -0,1222 | -0,0105 | 86,8730 | 425,5374 |
| 39 | 22,80 | -0,0418 | -0,0024 | -0,0574 | -0,0038 | 74,7188 | 398,6657 |
| 40 | 23,40 | -0,0074 | 0,0001 | -0,0123 | 0,0002 | 62,0366 | 370,8715 |
| 41 | 24,00 | 0,0000 | 0,0000 | -0,0123 | 0,0002 | 48,8265 | 342,1547 |

Inviluppo verifiche fila di pali nr. 1

| Nr. | Y | A _f | M _u | N _u | T _u | CS |
|-----|------|----------------|----------------|----------------|----------------|------|
| 1 | 0,00 | 20 Ø 24 | 1030,21 | 1030,21 | 365,47 | 2,42 |
| 2 | 0,60 | 20 Ø 24 | 983,65 | 983,65 | 365,47 | 4,92 |
| 3 | 1,20 | 20 Ø 24 | 571,79 | 571,79 | 365,47 | 8,15 |
| 4 | 1,80 | 20 Ø 24 | 67,08 | 67,08 | 365,47 | 7,48 |
| 5 | 2,40 | 20 Ø 24 | 505,70 | 505,70 | 365,47 | 3,38 |
| 6 | 3,00 | 20 Ø 24 | 690,60 | 690,60 | 365,47 | 2,30 |
| 7 | 3,60 | 20 Ø 24 | 767,53 | 767,53 | 365,47 | 1,86 |
| 8 | 4,20 | 20 Ø 24 | 790,96 | 790,96 | 365,47 | 1,67 |

| | | |
|--|---|------------------|
| Cod. elab.: 101IN241-MU76-6-CL-211_B | Titolo: OPERE D'ARTE MINORI - MURI IN C... | Data:Luglio 2011 |
| Nome file: 101IN241-MU76-6-CL-211_B.docx | MU.76- Muro di controripa 77.45 mt da 0+075 a 0+152.97 (Tronco 41) - Relazione di calcolo | Pagina 36 di 67 |



| | | | | | | |
|----|-------|---------|--------|--------|--------|-------|
| 9 | 4,80 | 20 Ø 24 | 762,70 | 762,70 | 365,47 | 1,64 |
| 10 | 5,40 | 20 Ø 24 | 699,34 | 699,34 | 365,47 | 1,78 |
| 11 | 6,00 | 20 Ø 24 | 609,88 | 609,88 | 365,47 | 2,09 |
| 12 | 6,60 | 20 Ø 24 | 502,23 | 502,23 | 365,47 | 2,62 |
| 13 | 7,20 | 20 Ø 24 | 379,38 | 379,38 | 365,47 | 3,55 |
| 14 | 7,80 | 20 Ø 24 | 250,00 | 250,00 | 365,47 | 5,30 |
| 15 | 8,40 | 20 Ø 24 | 145,53 | 145,53 | 365,47 | 8,66 |
| 16 | 9,00 | 20 Ø 24 | 67,37 | 67,37 | 365,47 | 9,53 |
| 17 | 9,60 | 20 Ø 20 | 6,59 | 6,59 | 201,38 | 8,50 |
| 18 | 10,20 | 20 Ø 20 | 18,29 | 18,29 | 201,38 | 8,60 |
| 19 | 10,80 | 20 Ø 20 | 34,59 | 34,59 | 201,38 | 8,70 |
| 20 | 11,40 | 20 Ø 20 | 41,35 | 41,35 | 201,38 | 8,82 |
| 21 | 12,00 | 20 Ø 20 | 40,62 | 40,62 | 201,38 | 8,97 |
| 22 | 12,60 | 20 Ø 20 | 35,61 | 35,61 | 201,38 | 9,14 |
| 23 | 13,20 | 20 Ø 20 | 28,67 | 28,67 | 201,38 | 9,32 |
| 24 | 13,80 | 20 Ø 20 | 21,33 | 21,33 | 201,38 | 9,53 |
| 25 | 14,40 | 20 Ø 20 | 14,54 | 14,54 | 201,38 | 9,76 |
| 26 | 15,00 | 20 Ø 20 | 8,73 | 8,73 | 201,38 | 10,02 |
| 27 | 15,60 | 20 Ø 20 | 4,09 | 4,09 | 201,38 | 10,45 |
| 28 | 16,20 | 20 Ø 20 | 0,83 | 0,83 | 201,38 | 10,94 |
| 29 | 16,80 | 20 Ø 20 | 1,04 | 1,04 | 201,38 | 11,49 |
| 30 | 17,40 | 20 Ø 20 | 2,04 | 2,04 | 201,38 | 12,14 |
| 31 | 18,00 | 20 Ø 20 | 2,36 | 2,36 | 201,38 | 12,90 |
| 32 | 18,60 | 20 Ø 20 | 2,26 | 2,26 | 201,38 | 13,71 |
| 33 | 19,20 | 20 Ø 20 | 1,92 | 1,92 | 201,38 | 14,24 |
| 34 | 19,80 | 20 Ø 20 | 1,49 | 1,49 | 201,38 | 14,85 |
| 35 | 20,40 | 20 Ø 20 | 1,04 | 1,04 | 201,38 | 15,53 |
| 36 | 21,00 | 20 Ø 20 | 0,65 | 0,65 | 201,38 | 16,32 |
| 37 | 21,60 | 20 Ø 20 | 0,36 | 0,36 | 201,38 | 17,23 |
| 38 | 22,20 | 20 Ø 20 | 0,16 | 0,16 | 201,38 | 18,28 |
| 39 | 22,80 | 20 Ø 20 | 0,05 | 0,05 | 201,38 | 19,51 |
| 40 | 23,40 | 20 Ø 20 | 0,00 | 0,00 | 201,38 | 20,97 |
| 41 | 24,00 | 20 Ø 20 | 0,00 | 0,00 | 201,38 | 22,73 |

Figura 6.4: Armatura pali di fondazione

Inviluppo sollecitazioni fila di pali nr. 2

| Nr. | Y | Mmin | Mmax | Tmin | Tmax | Nmin | Nmax |
|-----|-------|-----------|----------|-----------|----------|----------|----------|
| 1 | 0,00 | 207,8639 | 438,8257 | 134,2779 | 347,9085 | 605,6127 | 888,0559 |
| 2 | 0,60 | 127,2972 | 230,0807 | 122,4927 | 336,1232 | 612,6447 | 894,9299 |
| 3 | 1,20 | 24,3328 | 70,1573 | 98,9224 | 312,5530 | 618,6612 | 900,4721 |
| 4 | 1,80 | -159,1251 | -5,5518 | 66,0601 | 277,1976 | 623,6621 | 904,6825 |
| 5 | 2,40 | -325,4436 | -45,1879 | 40,2130 | 230,0571 | 627,6474 | 907,5612 |
| 6 | 3,00 | -463,4779 | -69,3157 | 20,8688 | 171,1314 | 630,6172 | 909,1082 |
| 7 | 3,60 | -566,1568 | -81,8370 | 5,6632 | 100,4207 | 632,5714 | 909,3234 |
| 8 | 4,20 | -626,4092 | -86,1675 | -38,6246 | 17,9247 | 633,5100 | 908,2069 |
| 9 | 4,80 | -637,1640 | -81,3722 | -85,9954 | -16,8847 | 633,4331 | 905,7586 |
| 10 | 5,40 | -591,3502 | -71,2414 | -134,9284 | -21,1094 | 632,3406 | 901,9785 |
| 11 | 6,00 | -510,3931 | -58,5757 | -161,2679 | -22,1172 | 630,2325 | 896,8668 |
| 12 | 6,60 | -413,6324 | -45,3054 | -165,7778 | -21,1061 | 627,1089 | 890,4232 |
| 13 | 7,20 | -314,1657 | -32,6417 | -156,9235 | -19,0064 | 622,9697 | 882,6479 |
| 14 | 7,80 | -220,0116 | -21,2379 | -131,8186 | -15,0007 | 619,1077 | 875,2362 |
| 15 | 8,40 | -140,9205 | -12,2375 | -102,9705 | -11,0392 | 615,6939 | 868,4122 |
| 16 | 9,00 | -79,1382 | -5,6140 | -75,0713 | -7,5341 | 611,4925 | 860,5554 |
| 17 | 9,60 | -34,0954 | -0,5604 | -50,7942 | -4,6801 | 606,5036 | 851,6658 |
| 18 | 10,20 | -3,6189 | 8,2802 | -31,3309 | -2,5222 | 600,7270 | 841,7434 |
| 19 | 10,80 | 3,2279 | 16,5355 | -16,8630 | -1,0114 | 594,1629 | 830,7883 |
| 20 | 11,40 | 3,8347 | 25,2974 | -4,7922 | 0,9855 | 586,8112 | 818,8004 |
| 21 | 12,00 | 3,7378 | 28,1727 | 0,8169 | 4,0503 | 578,6720 | 805,7797 |
| 22 | 12,60 | 3,2477 | 26,5515 | 1,1002 | 6,7085 | 569,7451 | 791,7262 |

| | | |
|--|--|-------------------------------------|
| Cod. elab.: 101IN241-MU76-6-CL-211_B | Titolo: OPERE D'ARTE MINORI - MURI IN C.A. MU.76- Muro di controripa 77.45 mt da 0+075.39 a 0+152.97 (Tronco 41) - Relazione di calcolo | Data:Luglio 2011 Pagina 37 di 67 |
| Nome file: 101IN241-MU76-6-CL-211_B.docx | | |

| | | | | | | | |
|----|-------|---------|---------|---------|---------|----------|----------|
| 23 | 13,20 | 2,5875 | 22,5264 | 1,1395 | 8,2654 | 560,0307 | 776,6400 |
| 24 | 13,80 | 1,9038 | 17,5671 | 1,0373 | 8,2608 | 549,5287 | 760,5210 |
| 25 | 14,40 | 1,2814 | 12,6106 | 0,8696 | 7,3922 | 538,2391 | 743,3692 |
| 26 | 15,00 | 0,7596 | 8,1752 | 0,6879 | 6,1637 | 526,1619 | 725,1846 |
| 27 | 15,60 | 0,3469 | 4,4770 | 0,4537 | 4,3752 | 505,6705 | 695,9660 |
| 28 | 16,20 | 0,0624 | 1,8519 | 0,2645 | 2,8059 | 484,0711 | 665,2946 |
| 29 | 16,80 | -0,4057 | 0,1683 | 0,1254 | 1,5692 | 461,3638 | 633,1704 |
| 30 | 17,40 | -0,8284 | -0,1592 | 0,0324 | 0,6816 | 437,5485 | 599,5933 |
| 31 | 18,00 | -1,1821 | -0,1787 | -0,1098 | 0,1043 | 412,6254 | 564,5633 |
| 32 | 18,60 | -1,2447 | -0,1651 | -0,2541 | -0,0499 | 386,5943 | 534,2349 |
| 33 | 19,20 | -1,1091 | -0,1351 | -0,3775 | -0,0582 | 359,4553 | 514,4057 |
| 34 | 19,80 | -0,8826 | -0,1002 | -0,4122 | -0,0553 | 331,2084 | 493,7022 |
| 35 | 20,40 | -0,6353 | -0,0670 | -0,3716 | -0,0448 | 301,8536 | 472,1242 |
| 36 | 21,00 | -0,4124 | -0,0401 | -0,2922 | -0,0321 | 271,3909 | 449,6719 |
| 37 | 21,60 | -0,2371 | -0,0208 | -0,2033 | -0,0202 | 239,8202 | 426,3452 |
| 38 | 22,20 | -0,1151 | -0,0087 | -0,1222 | -0,0105 | 207,1417 | 402,1441 |
| 39 | 22,80 | -0,0418 | -0,0024 | -0,0574 | -0,0038 | 173,3552 | 377,0686 |
| 40 | 23,40 | -0,0074 | 0,0001 | -0,0123 | 0,0002 | 138,4608 | 351,1188 |
| 41 | 24,00 | 0,0000 | 0,0000 | -0,0123 | 0,0002 | 102,4585 | 324,2946 |

Inviluppo verifiche fila di pali nr. 2

| Nr. | Y | A _f | M _u | N _u | T _u | CS |
|-----|-------|----------------|----------------|----------------|----------------|-------|
| 1 | 0,00 | 20 Ø 24 | 1192,44 | 1192,44 | 365,47 | 2,74 |
| 2 | 0,60 | 20 Ø 24 | 1031,82 | 1031,82 | 365,47 | 5,19 |
| 3 | 1,20 | 20 Ø 24 | 339,17 | 339,17 | 365,47 | 8,85 |
| 4 | 1,80 | 20 Ø 24 | 75,26 | 75,26 | 365,47 | 6,71 |
| 5 | 2,40 | 20 Ø 24 | 552,70 | 552,70 | 365,47 | 3,77 |
| 6 | 3,00 | 20 Ø 24 | 744,29 | 744,29 | 365,47 | 2,59 |
| 7 | 3,60 | 20 Ø 24 | 821,39 | 821,39 | 365,47 | 2,08 |
| 8 | 4,20 | 20 Ø 24 | 844,06 | 844,06 | 365,47 | 1,86 |
| 9 | 4,80 | 20 Ø 24 | 815,63 | 815,63 | 365,47 | 1,82 |
| 10 | 5,40 | 20 Ø 24 | 751,32 | 751,32 | 365,47 | 1,98 |
| 11 | 6,00 | 20 Ø 24 | 659,14 | 659,14 | 365,47 | 2,32 |
| 12 | 6,60 | 20 Ø 24 | 546,21 | 546,21 | 365,47 | 2,93 |
| 13 | 7,20 | 20 Ø 24 | 420,88 | 420,88 | 365,47 | 3,90 |
| 14 | 7,80 | 20 Ø 24 | 277,43 | 277,43 | 365,47 | 5,33 |
| 15 | 8,40 | 20 Ø 24 | 161,51 | 161,51 | 365,47 | 7,21 |
| 16 | 9,00 | 20 Ø 24 | 74,75 | 74,75 | 365,47 | 9,57 |
| 17 | 9,60 | 20 Ø 20 | 6,37 | 6,37 | 201,38 | 9,12 |
| 18 | 10,20 | 20 Ø 20 | 20,27 | 20,27 | 201,38 | 9,20 |
| 19 | 10,80 | 20 Ø 20 | 38,30 | 38,30 | 201,38 | 9,29 |
| 20 | 11,40 | 20 Ø 20 | 45,74 | 45,74 | 201,38 | 9,42 |
| 21 | 12,00 | 20 Ø 20 | 44,90 | 44,90 | 201,38 | 9,57 |
| 22 | 12,60 | 20 Ø 20 | 39,34 | 39,34 | 201,38 | 9,75 |
| 23 | 13,20 | 20 Ø 20 | 31,64 | 31,64 | 201,38 | 9,95 |
| 24 | 13,80 | 20 Ø 20 | 23,53 | 23,53 | 201,38 | 10,18 |
| 25 | 14,40 | 20 Ø 20 | 16,02 | 16,02 | 201,38 | 10,43 |
| 26 | 15,00 | 20 Ø 20 | 9,62 | 9,62 | 201,38 | 10,70 |
| 27 | 15,60 | 20 Ø 20 | 4,50 | 4,50 | 201,38 | 11,17 |
| 28 | 16,20 | 20 Ø 20 | 0,80 | 0,80 | 201,38 | 11,69 |
| 29 | 16,80 | 20 Ø 20 | 1,15 | 1,15 | 201,38 | 12,28 |
| 30 | 17,40 | 20 Ø 20 | 2,24 | 2,24 | 201,38 | 12,85 |
| 31 | 18,00 | 20 Ø 20 | 2,60 | 2,60 | 201,38 | 13,27 |
| 32 | 18,60 | 20 Ø 20 | 2,48 | 2,48 | 201,38 | 13,74 |
| 33 | 19,20 | 20 Ø 20 | 2,11 | 2,11 | 201,38 | 14,28 |
| 34 | 19,80 | 20 Ø 20 | 1,63 | 1,63 | 201,38 | 14,89 |
| 35 | 20,40 | 20 Ø 20 | 1,14 | 1,14 | 201,38 | 15,58 |
| 36 | 21,00 | 20 Ø 20 | 0,72 | 0,72 | 201,38 | 16,37 |

| | | |
|--|---|---|
| Cod. elab.: 101IN241-MU76-6-CL-211_B | Titolo: OPERE D'ARTE MINORI - MURI IN C.A. MU.76- Muro di controripa 77.45 mt da 0+075.39 a 0+152.97 (Tronco 41) - Relazione di calcolo | Data:Luglio 2011 Pagina 38 di 67 |
| Nome file: 101IN241-MU76-6-CL-211_B.docx | | |

| | | | | | | |
|----|-------|---------|------|------|--------|-------|
| 37 | 21,60 | 20 Ø 20 | 0,39 | 0,39 | 201,38 | 17,28 |
| 38 | 22,20 | 20 Ø 20 | 0,17 | 0,17 | 201,38 | 18,34 |
| 39 | 22,80 | 20 Ø 20 | 0,05 | 0,05 | 201,38 | 19,58 |
| 40 | 23,40 | 20 Ø 20 | 0,00 | 0,00 | 201,38 | 21,04 |
| 41 | 24,00 | 20 Ø 20 | 0,00 | 0,00 | 201,38 | 22,81 |

Inviluppo sollecitazioni fila di pali nr. 3

| Nr. | Y | Mmin | Mmax | Tmin | Tmax | Nmin | Nmax |
|-----|-------|-----------|----------|-----------|----------|----------|-----------|
| 1 | 0,00 | 207,8639 | 438,8257 | 134,2779 | 347,9085 | 550,7061 | 1200,7563 |
| 2 | 0,60 | 127,2972 | 230,0807 | 122,4927 | 336,1232 | 557,8899 | 1207,4552 |
| 3 | 1,20 | 24,3328 | 70,1573 | 98,9224 | 312,5530 | 564,3617 | 1212,4723 |
| 4 | 1,80 | -159,1251 | -5,5518 | 66,0601 | 277,1976 | 570,1214 | 1215,8077 |
| 5 | 2,40 | -325,4436 | -45,1879 | 40,2130 | 230,0571 | 575,1692 | 1217,4612 |
| 6 | 3,00 | -463,4779 | -69,3157 | 20,8688 | 171,1314 | 579,5050 | 1217,4329 |
| 7 | 3,60 | -566,1568 | -81,8370 | 5,6632 | 100,4207 | 583,1287 | 1215,7228 |
| 8 | 4,20 | -626,4092 | -86,1675 | -38,6246 | 17,9247 | 586,0404 | 1212,3310 |
| 9 | 4,80 | -637,1640 | -81,3722 | -85,9954 | -16,8847 | 588,2401 | 1207,2573 |
| 10 | 5,40 | -591,3502 | -71,2414 | -134,9284 | -21,1094 | 589,7278 | 1200,5018 |
| 11 | 6,00 | -510,3931 | -58,5757 | -161,2679 | -22,1172 | 590,5034 | 1192,0645 |
| 12 | 6,60 | -413,6324 | -45,3054 | -165,7778 | -21,1061 | 590,5671 | 1181,9455 |
| 13 | 7,20 | -314,1657 | -32,6417 | -156,9235 | -19,0064 | 589,9187 | 1170,1446 |
| 14 | 7,80 | -220,0116 | -21,2379 | -131,8186 | -15,0007 | 589,4647 | 1158,8028 |
| 15 | 8,40 | -140,9205 | -12,2375 | -102,9705 | -11,0392 | 589,3249 | 1148,2032 |
| 16 | 9,00 | -79,1382 | -5,6140 | -75,0713 | -7,5341 | 588,6329 | 1136,2994 |
| 17 | 9,60 | -34,0954 | -0,5604 | -50,7942 | -4,6801 | 587,3888 | 1123,0914 |
| 18 | 10,20 | -3,6189 | 8,2802 | -31,3309 | -2,5222 | 585,5925 | 1108,5791 |
| 19 | 10,80 | 3,2279 | 16,5355 | -16,8630 | -1,0114 | 583,2440 | 1092,7625 |
| 20 | 11,40 | 3,8347 | 25,2974 | -4,7922 | 0,9855 | 580,3434 | 1075,6417 |
| 21 | 12,00 | 3,7378 | 28,1727 | 0,8169 | 4,0503 | 576,8905 | 1057,2167 |
| 22 | 12,60 | 3,2477 | 26,5515 | 1,1002 | 6,7085 | 572,8855 | 1037,4874 |
| 23 | 13,20 | 2,5875 | 22,5264 | 1,1395 | 8,2654 | 568,3284 | 1016,4539 |
| 24 | 13,80 | 1,9038 | 17,5671 | 1,0373 | 8,2608 | 563,2190 | 994,1161 |
| 25 | 14,40 | 1,2814 | 12,6106 | 0,8696 | 7,3922 | 557,5575 | 970,4741 |
| 26 | 15,00 | 0,7596 | 8,1752 | 0,6879 | 6,1637 | 551,3438 | 945,5278 |
| 27 | 15,60 | 0,3469 | 4,4770 | 0,4537 | 4,3752 | 535,5056 | 906,6473 |
| 28 | 16,20 | 0,0624 | 1,8519 | 0,2645 | 2,8059 | 512,4839 | 865,9320 |
| 29 | 16,80 | -0,4057 | 0,1683 | 0,1254 | 1,5692 | 488,3002 | 823,3820 |
| 30 | 17,40 | -0,8284 | -0,1592 | 0,0324 | 0,6816 | 462,9545 | 778,9973 |
| 31 | 18,00 | -1,1821 | -0,1787 | -0,1098 | 0,1043 | 436,4467 | 732,7779 |
| 32 | 18,60 | -1,2447 | -0,1651 | -0,2541 | -0,0499 | 408,7770 | 684,7237 |
| 33 | 19,20 | -1,1091 | -0,1351 | -0,3775 | -0,0582 | 379,9453 | 634,8348 |
| 34 | 19,80 | -0,8826 | -0,1002 | -0,4122 | -0,0553 | 349,9516 | 583,1111 |
| 35 | 20,40 | -0,6353 | -0,0670 | -0,3716 | -0,0448 | 318,7959 | 529,5527 |
| 36 | 21,00 | -0,4124 | -0,0401 | -0,2922 | -0,0321 | 286,4781 | 474,1596 |
| 37 | 21,60 | -0,2371 | -0,0208 | -0,2033 | -0,0202 | 252,9984 | 438,3672 |
| 38 | 22,20 | -0,1151 | -0,0087 | -0,1222 | -0,0105 | 218,3567 | 413,3302 |
| 39 | 22,80 | -0,0418 | -0,0024 | -0,0574 | -0,0038 | 182,5530 | 387,3958 |
| 40 | 23,40 | -0,0074 | 0,0001 | -0,0123 | 0,0002 | 145,5873 | 360,5640 |
| 41 | 24,00 | 0,0000 | 0,0000 | -0,0123 | 0,0002 | 107,4596 | 332,8348 |

Inviluppo verifiche fila di pali nr. 3

| Nr. | Y | A _f | M _u | N _u | T _u | CS |
|-----|------|----------------|----------------|----------------|----------------|------|
| 1 | 0,00 | 20 Ø 24 | 1207,23 | 1207,23 | 365,47 | 2,77 |
| 2 | 0,60 | 20 Ø 24 | 1013,17 | 1013,17 | 365,47 | 4,40 |
| 3 | 1,20 | 20 Ø 24 | 194,27 | 194,27 | 365,47 | 7,19 |
| 4 | 1,80 | 20 Ø 24 | 85,71 | 85,71 | 365,47 | 5,33 |
| 5 | 2,40 | 20 Ø 24 | 608,79 | 608,79 | 365,47 | 3,49 |

| | | |
|--|---|-------------------------------------|
| Cod. elab.: 101IN241-MU76-6-CL-211_B | Titolo: OPERE D'ARTE MINORI - MURI IN C.A. MU.76- Muro di controripa 77.45 mt da 0+075.39 a 0+152.97 (Tronco 41) - Relazione di calcolo | Data:Luglio 2011 Pagina 39 di 67 |
| Nome file: 101IN241-MU76-6-CL-211_B.docx | | |

| | | | | | | |
|----|-------|---------|--------|--------|--------|-------|
| 6 | 3,00 | 20 Ø 24 | 805,51 | 805,51 | 365,47 | 2,64 |
| 7 | 3,60 | 20 Ø 24 | 880,85 | 880,85 | 365,47 | 2,16 |
| 8 | 4,20 | 20 Ø 24 | 901,87 | 901,87 | 365,47 | 1,95 |
| 9 | 4,80 | 20 Ø 24 | 874,16 | 874,16 | 365,47 | 1,92 |
| 10 | 5,40 | 20 Ø 24 | 810,26 | 810,26 | 365,47 | 2,07 |
| 11 | 6,00 | 20 Ø 24 | 716,19 | 716,19 | 365,47 | 2,40 |
| 12 | 6,60 | 20 Ø 24 | 598,20 | 598,20 | 365,47 | 2,91 |
| 13 | 7,20 | 20 Ø 24 | 464,55 | 464,55 | 365,47 | 3,60 |
| 14 | 7,80 | 20 Ø 24 | 311,62 | 311,62 | 365,47 | 4,54 |
| 15 | 8,40 | 20 Ø 24 | 181,42 | 181,42 | 365,47 | 5,69 |
| 16 | 9,00 | 20 Ø 24 | 83,95 | 83,95 | 365,47 | 6,82 |
| 17 | 9,60 | 20 Ø 20 | 6,16 | 6,16 | 201,38 | 6,51 |
| 18 | 10,20 | 20 Ø 20 | 19,91 | 19,91 | 201,38 | 6,67 |
| 19 | 10,80 | 20 Ø 20 | 42,90 | 42,90 | 201,38 | 6,68 |
| 20 | 11,40 | 20 Ø 20 | 51,18 | 51,18 | 201,38 | 6,71 |
| 21 | 12,00 | 20 Ø 20 | 50,19 | 50,19 | 201,38 | 6,77 |
| 22 | 12,60 | 20 Ø 20 | 43,94 | 43,94 | 201,38 | 6,85 |
| 23 | 13,20 | 20 Ø 20 | 35,31 | 35,31 | 201,38 | 6,95 |
| 24 | 13,80 | 20 Ø 20 | 26,24 | 26,24 | 201,38 | 7,06 |
| 25 | 14,40 | 20 Ø 20 | 17,85 | 17,85 | 201,38 | 7,18 |
| 26 | 15,00 | 20 Ø 20 | 10,71 | 10,71 | 201,38 | 7,32 |
| 27 | 15,60 | 20 Ø 20 | 5,00 | 5,00 | 201,38 | 7,52 |
| 28 | 16,20 | 20 Ø 20 | 0,78 | 0,78 | 201,38 | 7,75 |
| 29 | 16,80 | 20 Ø 20 | 1,20 | 1,20 | 201,38 | 8,00 |
| 30 | 17,40 | 20 Ø 20 | 2,49 | 2,49 | 201,38 | 8,26 |
| 31 | 18,00 | 20 Ø 20 | 2,88 | 2,88 | 201,38 | 8,55 |
| 32 | 18,60 | 20 Ø 20 | 2,75 | 2,75 | 201,38 | 8,88 |
| 33 | 19,20 | 20 Ø 20 | 2,33 | 2,33 | 201,38 | 9,26 |
| 34 | 19,80 | 20 Ø 20 | 1,80 | 1,80 | 201,38 | 9,68 |
| 35 | 20,40 | 20 Ø 20 | 1,26 | 1,26 | 201,38 | 10,16 |
| 36 | 21,00 | 20 Ø 20 | 0,79 | 0,79 | 201,38 | 10,72 |
| 37 | 21,60 | 20 Ø 20 | 0,43 | 0,43 | 201,38 | 11,36 |
| 38 | 22,20 | 20 Ø 20 | 0,19 | 0,19 | 201,38 | 12,10 |
| 39 | 22,80 | 20 Ø 20 | 0,06 | 0,06 | 201,38 | 12,98 |
| 40 | 23,40 | 20 Ø 20 | 0,00 | 0,00 | 201,38 | 14,04 |
| 41 | 24,00 | 20 Ø 20 | 0,00 | 0,00 | 201,38 | 15,32 |

| | | |
|--|---|---|
| Cod. elab.: 101IN241-MU76-6-CL-211_B | Titolo: OPERE D'ARTE MINORI - MURI IN C.A. MU.76- Muro di controripa 77.45 mt da 0+075.39 a 0+152.97 (Tronco 41) - Relazione di calcolo | Data:Luglio 2011 Pagina 40 di 67 |
| Nome file: 101IN241-MU76-6-CL-211_B.docx | | |

7 MURO DI SOSTEGNO Hmax = 2,00+3,00 (TIPO 2)

A seguire si riportano le verifiche di sicurezza globale e strutturale relative alla tipologia di muro individuata come tipologico 2, in accordo con la notazione degli elaborati grafici esecutivi dell'opera, cui si rimanda per ulteriori dettagli tecnici.

| | | |
|---|---|-------------------------|
| <i>Cod. elab.: 101IN241-MU76-6-CL-211_B</i> | <i>Titolo: OPERE D'ARTE MINORI - MURI IN C.A.</i> | <i>Data:Luglio 2011</i> |
| <i>Nome file: 101IN241-MU76-6-CL-211_B.docx</i> | MU.76- Muro di controripa 77.45 mt da 0+075.39 a 0+152.97 (Tronco 41) - Relazione di calcolo | <i>Pagina 41 di 67</i> |

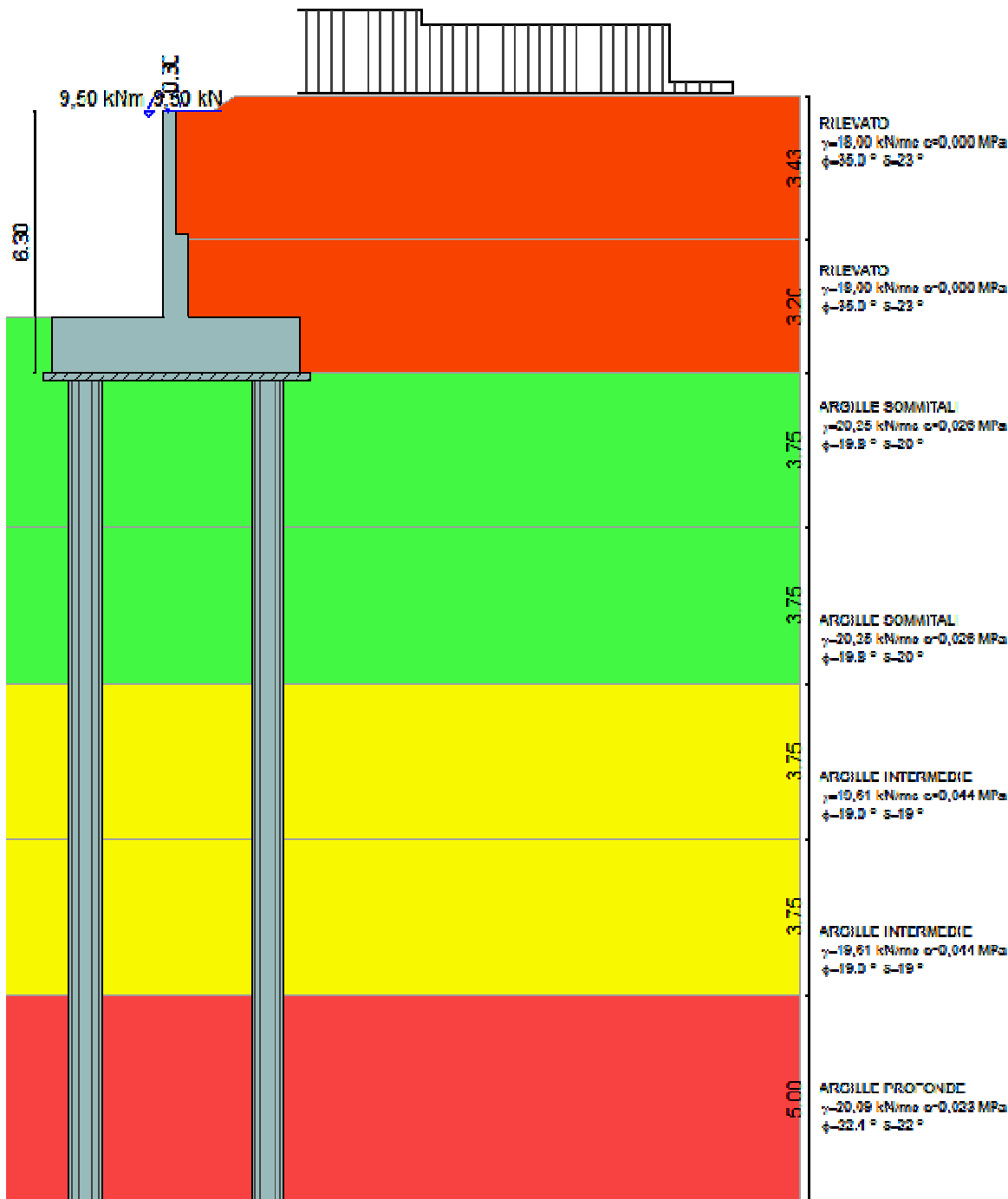


Figura 7.1: Modello di calcolo muri tipo 2

7.1 Geometria muro e fondazione

Descrizione Muro a gradoni in c.a.

Descrizione dei gradoni

| | | |
|--|---|------------------|
| Cod. elab.: 101IN241-MU76-6-CL-211_B | Titolo: OPERE D'ARTE MINORI - MURI IN C.A. MU.76- Muro di controripa 77.45 mt da 0+075.39 a 0+152.97 (Tronco 41) - Relazione di calcolo | Data:Luglio 2011 |
| Nome file: 101IN241-MU76-6-CL-211_B.docx | | Pagina 42 di 67 |

Nr. numero d'ordine del gradone (a partire dall'alto)

Bs base superiore del gradone espressa in [m]

Bi base inferiore del gradone espressa in [m]

Hg altezza del gradone espressa in [m]

α_e inclinazione esterna del gradone espressa in [°]

α_i inclinazione interna del gradone espressa in [°]

| Nr. | Bs | Bi | Hg | α_e | α_i |
|-----|------|------|------|------------|------------|
| 1 | 0,30 | 0,30 | 3,00 | 0,00 | 0,00 |
| 2 | 0,60 | 0,60 | 2,00 | 0,00 | 0,00 |

Altezza del paramento 5,00 [m]

Fondazione

| | |
|---|----------|
| Lunghezza mensola fondazione di valle | 2,70 [m] |
| Lunghezza mensola fondazione di monte | 2,70 [m] |
| Lunghezza totale fondazione | 6,00 [m] |
| Inclinazione piano di posa della fondazione | 0,00 [°] |
| Spessore fondazione | 1,30 [m] |
| Spessore magrone | 0,20 [m] |

Descrizione pali di fondazione

Pali in c.a.

Numero di file di pali 2

Vincolo pali/fondazione Incastro

Tipo di portanza Portanza laterale e di punta

N numero d'ordine della fila
X ascissa della fila misurata dallo spigolo di monte della fondazione espressa in [m]

nr. Numero di pali della fila

D diametro dei pali della fila espresso in [m]

L lunghezza dei pali della fila espressa in [m]

alfa inclinazione dei pali della fila rispetto alla verticale espressa in [°]

ALL allineamento dei pali della fila rispetto al baricentro della fondazione

| N | X | Nr. | D | L | alfa | ALL |
|---|------|-----|--------|-------|------|----------|
| 1 | 0,80 | 3 | 0,8000 | 24,00 | 0,00 | Centrati |
| 2 | 5,20 | 3 | 0,8000 | 24,00 | 0,00 | Centrati |

Geometria profilo terreno a monte del muro

(Sistema di riferimento con origine in testa al muro, ascissa X positiva verso monte, ordinata Y positiva verso l'alto)

N numero ordine del punto

X ascissa del punto espressa in [m]

Y ordinata del punto espressa in [m]

A inclinazione del tratto espressa in [°]

| N | X | Y | A |
|---|-------|------|-------|
| 1 | 0,90 | 0,00 | 0,00 |
| 2 | 1,40 | 0,33 | 33,42 |
| 3 | 15,00 | 0,33 | 0,00 |

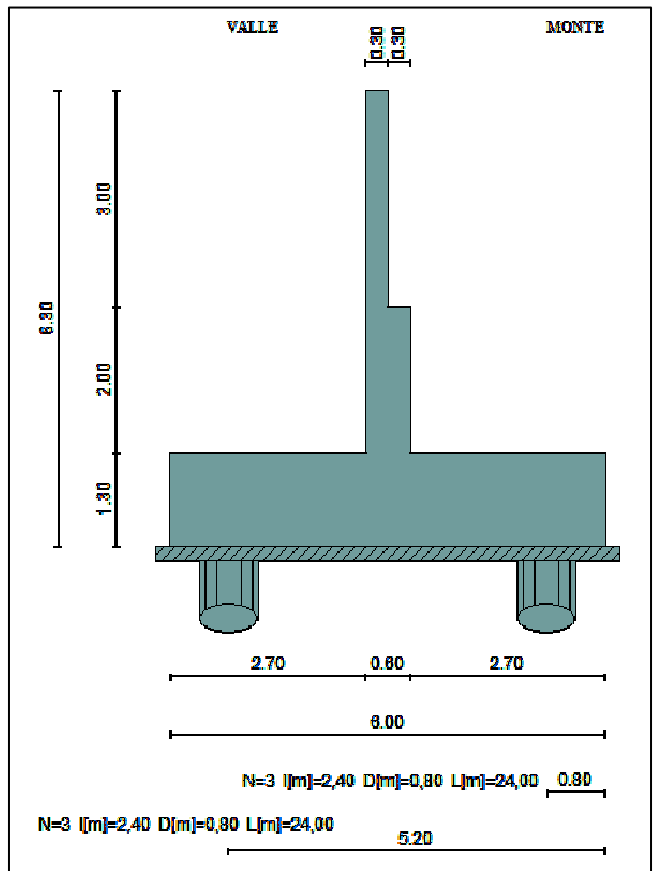
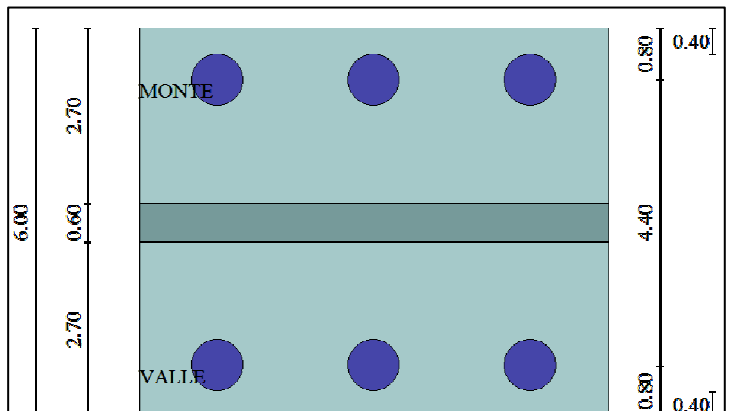


Figura 7.2: Geometria muri tipo 2



| | | |
|--|---|-------------------|
| Cod. elab.: 101IN241-MU76-6-CL-211_B | Titolo: OPERE D'ARTE MINORI - MURI IN C.A. 7.20 | Data: Luglio 2011 |
| Nome file: 101IN241-MU76-6-CL-211_B.docx | MU.76- Muro di controripa 77,45 mt da 0+075,39 a 0+152,97 (Tronco 41) - Relazione di calcolo | Pagina 43 di 67 |

7.2 Condizioni di carico

Carichi verticali positivi verso il basso.

Carichi orizzontali positivi verso sinistra.

Momento positivo senso antiorario.

X Ascissa del punto di applicazione del carico concentrato
espressa in [m]

F_x Componente orizzontale del carico concentrato espressa in [kN]

F_y Componente verticale del carico concentrato espressa in [kN]

M Momento espresso in [kNm]

X_i Ascissa del punto iniziale del carico ripartito espressa in [m]

X_f Ascissa del punto finale del carico ripartito espressa in [m]

Q_i Intensità del carico per $x=X_i$ espressa in [kN/m]

Q_f Intensità del carico per $x=X_f$ espressa in [kN/m]

D/C Tipo carico : D=distribuito C=concentrato

Figura 7.3: Geometria fondazione nuri tipo 2

Condizione n° 1 (PERMANENTI)

| | | | | | |
|---|---------|------------|-------------|--------------|--------------|
| D | Profilo | $X_i=2,90$ | $X_f=13,40$ | $Q_i=4,0000$ | $Q_f=4,0000$ |
|---|---------|------------|-------------|--------------|--------------|

Condizione n° 2 (MOBILI)

| | | | | | | |
|---|-----------|------------|-------------|---------------|---------------|------------|
| C | Paramento | $X=-0,25$ | $Y=0,00$ | $F_x=9,5000$ | $F_y=0,0000$ | $M=9,5000$ |
| D | Profilo | $X_i=2,90$ | $X_f=5,90$ | $Q_i=25,4000$ | $Q_f=25,4000$ | |
| D | Profilo | $X_i=5,90$ | $X_f=11,90$ | $Q_i=20,0000$ | $Q_f=20,0000$ | |

7.3 Stabilità globale muro + terreno

C Identificativo della combinazione

Tipo Tipo combinazione

Sisma Combinazione sismica

CS_{SCO} Coeff. di sicurezza allo scorrimento

CS_{RIB} Coeff. di sicurezza al ribaltamento

CS_{QLIM} Coeff. di sicurezza a carico limite

CS_{STAB} Coeff. di sicurezza a stabilità globale

| C | Tipo | Sisma | CS_{SCO} | CS_{RIB} | CS_{QLIM} | CS_{STAB} |
|----|-------------|----------------------------------|------------|------------|-------------|-------------|
| 1 | A1-M1 - [1] | -- | -- | -- | -- | -- |
| 2 | A1-M1 - [1] | -- | -- | -- | -- | -- |
| 3 | A1-M1 - [1] | -- | -- | -- | -- | -- |
| 4 | A1-M1 - [1] | -- | -- | -- | -- | -- |
| 5 | A2-M2 - [1] | -- | -- | -- | -- | -- |
| 6 | STAB - [1] | -- | -- | -- | -- | 3,98 |
| 7 | A1-M1 - [2] | -- | -- | -- | -- | -- |
| 8 | A1-M1 - [2] | -- | -- | -- | -- | -- |
| 9 | A1-M1 - [2] | -- | -- | -- | -- | -- |
| 10 | A1-M1 - [2] | -- | -- | -- | -- | -- |
| 11 | A2-M2 - [2] | -- | -- | -- | -- | -- |
| 12 | STAB - [2] | -- | -- | -- | -- | 3,33 |
| 13 | A1-M1 - [3] | Orizzontale + Verticale positivo | -- | -- | -- | -- |
| 14 | A1-M1 - [3] | Orizzontale + Verticale negativo | -- | -- | -- | -- |
| 15 | A2-M2 - [3] | Orizzontale + Verticale positivo | -- | -- | -- | -- |
| 16 | A2-M2 - [3] | Orizzontale + Verticale negativo | -- | -- | -- | -- |
| 17 | STAB - [3] | Orizzontale + Verticale positivo | -- | -- | -- | 2,79 |
| 18 | STAB - [3] | Orizzontale + Verticale negativo | -- | -- | -- | 2,96 |
| 19 | A1-M1 - [4] | Orizzontale + Verticale positivo | -- | -- | -- | -- |
| 20 | SLEQ - [1] | -- | -- | -- | -- | -- |
| 21 | SLEF - [1] | -- | -- | -- | -- | -- |
| 22 | SLER - [1] | -- | -- | -- | -- | -- |

| | | |
|---|---|-------------------------|
| <i>Cod. elab.: 101IN241-MU76-6-CL-211_B</i> | <i>Titolo: OPERE D'ARTE MINORI - MURI IN C.A.</i> | <i>Data:Luglio 2011</i> |
| <i>Nome file: 101IN241-MU76-6-CL-211_B.docx</i> | <i>MU.76- Muro di controripa 77.45 mt da 0+075.39 a 0+152.97</i> <i>(Tronco 41) - Relazione di calcolo</i> | <i>Pagina 44 di 67</i> |

7.4 Analisi dei pali

Combinazione n° 15 (COMB. CRITICA)

Risultanti sulla base della fondazione (per metro lineare di muro)

| | | |
|-------------|-------|---------|
| Orizzontale | [kN] | 263,778 |
| Verticale | [kN] | 622,111 |
| Momento | [kNm] | -49,191 |

Spostamenti della piastra di fondazione

| | | |
|---------------|-----|-----------|
| Orizzontale | [m] | 0,0032616 |
| Verticale [m] | | 0,0011335 |
| Rotazione | [°] | -0,00877 |

Scarichi in testa ai pali

| Fila nr. | N.pali | N [kN] | T [kN] | M [kNm] | Tu [kN] | Mu [kNm] |
|----------|--------|--------|--------|---------|---------|----------|
| 1 | 3 | 524,82 | 316,53 | 428,74 | 414,41 | 561,32 |
| 2 | 3 | 968,25 | 316,53 | 428,74 | 414,41 | 561,32 |

Calcolo della portanza

| | |
|-------------------------|--|
| τ_m | tensione tangenziale media palo-terreno in [MPa] |
| σ_p | tensione sul terreno alla punta del palo in [MPa] |
| N_c, N_q, N_γ | fattori di capacità portante |
| N'_c, N'_q, N'_γ | fattori di capacità portante corretti |
| P_l | portanza caratteristica per attrito e aderenza laterale in [kN] |
| P_p | portanza caratteristica di punta in [kN] |
| P_t | portanza caratteristica totale in [kN] |
| $P_{d,s}$ | portanza di progetto, con applicazione dei coeff. parziali alle singole aliquote della portanza, in [kN] |
| $P_{d,c}$ | portanza di progetto, con applicazione del coeff. parziale alla portanza totale, in [kN] |
| PT | Parametri Terreno utilizzati |

| Fila | N_c | N'_c | N_q | N'_q | N_γ | N'_γ | τ_m | σ_p |
|------|-------|--------|-------|--------|------------|-------------|----------|------------|
| 1 | 9,27 | 9,27 | 3,87 | 3,87 | 0,00 | 0,00 | 0,07 | 1,89 |
| 2 | 9,27 | 9,27 | 3,87 | 3,87 | 0,00 | 0,00 | 0,14 | 2,91 |

| Fila | P_l | P_p | P_t | $P_{d,s}$ | $P_{d,c}$ | PT |
|------|---------|--------|---------|-----------|-----------|--------|
| 1 | 1496,14 | 878,72 | 2073,27 | 1650,31 | 2073,27 | MEDI |
| 1 | 1450,08 | 740,42 | 1888,91 | 1507,81 | 1888,91 | MINIMI |
| 2 | 1496,14 | 878,72 | 2073,27 | 1650,31 | 2073,27 | MEDI |
| 2 | 1450,08 | 740,42 | 1888,91 | 1507,81 | 1888,91 | MINIMI |

7.5 Inviluppo sollecitazioni paramento

L'ordinata Y(espressa in [m]) è considerata positiva verso il basso con origine in testa al muro

Momento positivo se tende le fibre contro terra (a monte), espresso in [kNm]

Sforzo normale positivo di compressione, espresso in [kN]

Taglio positivo se diretto da monte verso valle, espresso in [kN]

Inviluppo combinazioni SLU

| Nr. | Y | Nmin | Nmax | Mmin | Mmax | Tmin | Tmax |
|-----|------|---------|---------|--------|---------|---------|---------|
| 1 | 0,00 | 0,0000 | 0,0000 | 0,0000 | 12,8250 | 0,0000 | 12,8250 |
| 2 | 0,75 | 6,1309 | 8,2554 | 0,2842 | 22,7280 | 1,4660 | 14,3588 |
| 3 | 1,50 | 13,3882 | 17,8668 | 2,6648 | 34,7350 | 6,1961 | 19,2373 |
| 4 | 2,25 | 21,9279 | 29,2218 | 9,8061 | 51,4873 | 14,6425 | 34,2043 |

| | | |
|--|---|---|
| Cod. elab.: 101IN241-MU76-6-CL-211_B | Titolo: OPERE D'ARTE MINORI - MURI IN C.A. MU.76- Muro di controripa 77.45 mt da 0+075.39 a 0+152.97 (Tronco 41) - Relazione di calcolo | Data:Luglio 2011 Pagina 45 di 67 |
| Nome file: 101IN241-MU76-6-CL-211_B.docx | | |

| | | | | | | | |
|---|------|---------|----------|----------|----------|---------|----------|
| 5 | 3,00 | 31,5144 | 41,9923 | 24,3533 | 75,8323 | 26,1222 | 52,2046 |
| 6 | 3,50 | 58,7930 | 79,6992 | 39,1176 | 98,2840 | 36,4923 | 67,5290 |
| 7 | 4,25 | 75,9781 | 104,4932 | 71,3846 | 147,9085 | 53,6911 | 92,1593 |
| 8 | 5,00 | 94,1887 | 130,8235 | 117,2906 | 224,5247 | 73,8618 | 119,7615 |

Inviluppo combinazioni SLE

| Nr. | Y | Nmin | Nmax | Mmin | Mmax | Tmin | Tmax |
|-----|------|---------|---------|---------|----------|---------|---------|
| 1 | 0,00 | 0,0000 | 0,0000 | 0,0000 | 9,5000 | 0,0000 | 9,5000 |
| 2 | 0,75 | 6,1151 | 6,1151 | 0,2105 | 16,8355 | 1,1361 | 10,6361 |
| 3 | 1,50 | 13,2346 | 13,2346 | 1,9796 | 25,7296 | 4,6009 | 14,1009 |
| 4 | 2,25 | 21,6458 | 21,6458 | 7,2638 | 38,1388 | 11,0600 | 20,5600 |
| 5 | 3,00 | 31,1054 | 31,1054 | 18,1721 | 56,1721 | 19,9496 | 29,4496 |
| 6 | 3,50 | 58,1902 | 59,0364 | 29,8510 | 72,8030 | 27,7964 | 39,2582 |
| 7 | 4,25 | 75,1202 | 77,4023 | 53,7525 | 106,1272 | 40,9641 | 55,7547 |
| 8 | 5,00 | 93,1105 | 96,9063 | 88,1695 | 152,4825 | 56,5900 | 74,8896 |

7.6 Inviluppo sollecitazioni piastra di fondazione

Combinazione n° 15

Dimensioni della piastra

Larghezza(m) = 7.20 Altezza(m) = 6.00

Origine all'attacco con il muro all'estremità sinistra del muro

Ascissa X positiva verso destra

Ordinata Y positiva dall'attacco con il muro verso l'estremo libero

I momenti negativi tendono le fibre superiori

Sollecitazioni in direzione Y

| Nr. | Y | M _{ymin} | M _{ymax} | T _{ymin} | T _{ymax} |
|-----|------|-------------------|-------------------|-------------------|-------------------|
| 1 | 0,00 | -0,2166 | 0,3606 | -5,1092 | 6,7079 |
| 2 | 0,20 | -5,1188 | 6,1425 | -80,8551 | 49,6422 |
| 3 | 0,40 | -12,1324 | 12,0829 | -102,0917 | 97,4479 |
| 4 | 0,60 | -19,0141 | 31,0907 | 0,0000 | 151,7950 |
| 5 | 0,80 | 0,0000 | 60,8261 | 0,0000 | 230,8255 |
| 6 | 1,00 | 0,0000 | 101,9936 | 0,0000 | 381,8691 |
| 7 | 1,20 | 0,0000 | 153,1654 | 0,0000 | 554,7237 |
| 8 | 1,39 | 0,0000 | 213,4871 | 0,0000 | 473,8111 |
| 9 | 1,57 | 0,0000 | 283,0008 | 0,0000 | 421,7620 |
| 10 | 1,76 | 0,0000 | 348,5655 | 0,0000 | 392,5322 |
| 11 | 1,95 | 0,0000 | 412,3502 | 0,0000 | 374,9573 |
| 12 | 2,14 | 0,0000 | 475,3495 | 0,0000 | 364,5213 |
| 13 | 2,33 | 0,0000 | 538,1440 | 0,0000 | 363,2400 |
| 14 | 2,51 | 0,0000 | 601,5246 | 0,0000 | 370,2573 |
| 15 | 2,70 | 0,0000 | 666,7980 | 0,0000 | 364,3827 |
| 16 | 3,30 | -92,9508 | 0,0000 | -185,5579 | 0,0000 |
| 17 | 3,49 | -51,0757 | 0,0000 | -164,9049 | 0,0000 |
| 18 | 3,68 | -26,4789 | 0,0000 | -107,2310 | 0,0000 |
| 19 | 3,86 | -10,2232 | 4,3758 | -70,1010 | 0,0000 |
| 20 | 4,05 | 0,0000 | 12,5814 | -41,1241 | 0,0000 |
| 21 | 4,24 | 0,0000 | 16,5877 | -18,8782 | 19,7288 |
| 22 | 4,42 | 0,0000 | 15,7838 | -2,0560 | 55,0597 |
| 23 | 4,61 | 0,0000 | 8,9754 | 0,0000 | 103,8528 |
| 24 | 4,80 | -11,2195 | 2,9193 | 0,0000 | 161,6278 |
| 25 | 5,00 | -28,2251 | 0,0000 | 0,0000 | 80,2002 |
| 26 | 5,20 | -33,3411 | 0,0000 | -6,3464 | 27,9709 |
| 27 | 5,40 | -30,0079 | 0,0000 | -37,2330 | 5,8210 |
| 28 | 5,60 | -15,1417 | 0,0000 | -127,1876 | 0,0000 |
| 29 | 5,80 | -4,6223 | 1,4757 | -68,6543 | 0,0000 |

| | | |
|--|---|---|
| Cod. elab.: 101IN241-MU76-6-CL-211_B | Titolo: OPERE D'ARTE MINORI - MURI IN C.A. MU.76- Muro di controripa 77.45 mt da 0+075.39 a 0+152.97 (Tronco 41) - Relazione di calcolo | Data:Luglio 2011 Pagina 46 di 67 |
| Nome file: 101IN241-MU76-6-CL-211_B.docx | | |

30 6,00 0,0000 0,5666 -10,2446 0,0000

Sollecitazioni in direzione X

| Nr. | X | M _{xmin} | M _{xmax} | T _{xmin} | T _{xmax} |
|-----|------|-------------------|-------------------|-------------------|-------------------|
| 1 | 0,00 | -0,3284 | 2,4329 | -29,7377 | 91,0224 |
| 2 | 0,40 | -11,1442 | 4,7077 | -175,8629 | 88,7193 |
| 3 | 0,80 | -62,0289 | 0,0000 | -275,6947 | 66,1740 |
| 4 | 1,20 | -97,1572 | 0,0000 | -71,3804 | 105,4594 |
| 5 | 1,60 | -47,3868 | 0,0000 | -16,5494 | 324,2253 |
| 6 | 2,00 | -0,0091 | 34,7315 | -16,8448 | 207,0662 |
| 7 | 2,40 | 0,0000 | 52,1679 | -51,2366 | 64,1301 |
| 8 | 2,80 | 0,0000 | 39,2741 | -193,4734 | 18,3908 |
| 9 | 3,20 | -37,2118 | 0,0000 | -297,9705 | 18,0593 |
| 10 | 3,60 | -81,1823 | 0,0000 | -89,4296 | 89,4296 |
| 11 | 4,00 | -37,2118 | 0,0000 | -18,0593 | 297,9705 |
| 12 | 4,40 | 0,0000 | 39,2741 | -18,3908 | 193,4734 |
| 13 | 4,80 | 0,0000 | 52,1679 | -64,1301 | 51,2366 |
| 14 | 5,20 | -0,0091 | 34,7315 | -207,0662 | 16,8448 |
| 15 | 5,60 | -47,3868 | 0,0000 | -324,2253 | 16,5494 |
| 16 | 6,00 | -97,1572 | 0,0000 | -105,4594 | 71,3804 |
| 17 | 6,40 | -62,0289 | 0,0000 | -66,1740 | 275,6947 |
| 18 | 6,80 | -11,1442 | 4,7077 | -88,7193 | 175,8629 |
| 19 | 7,20 | -0,3284 | 2,4329 | -91,0224 | 29,7377 |

7.7 Inviluppo armature e tensioni nei materiali del muro

L'ordinata Y(espressa in [m]) è considerata positiva verso il basso con origine in testa al muro

| | |
|-----------------|---|
| B | base della sezione espressa in [m] |
| H | altezza della sezione espressa in [m] |
| A _{fs} | area di armatura in corrispondenza del lembo di monte in [mq] |
| A _{fi} | area di armatura in corrispondenza del lembo di valle in [mq] |
| σ _c | tensione nel calcestruzzo espressa in [MPa] |
| τ _c | tensione tangenziale nel calcestruzzo espressa in [MPa] |
| σ _{fs} | tensione nell'armatura disposta sul lembo di monte in [MPa] |
| σ _{fi} | tensione nell'armatura disposta sul lembo di valle in [MPa] |
| N _u | sforzo normale ultimo espresso in [kN] |
| M _u | momento ultimo espresso in [kNm] |
| CS | coefficiente sicurezza sezione |
| VRcd | Aliquota di taglio assorbito dal cls, espresso in [kN] |
| VRsd | Aliquota di taglio assorbito dall'armatura, espresso in [kN] |
| VRd | Resistenza al taglio, espresso in [kN] |

Inviluppo SLU

| Nr. | Y | B, H | A _{fs} | A _{fi} | N _u | M _u | CS | V _{Rd} | V _{Red} | V _{Rsd} |
|-----|------|------------|-----------------|-----------------|----------------|----------------|------|-----------------|------------------|------------------|
| 2 | 0,75 | 1,00, 0,30 | 5 Ø 20 | 5 Ø 16 | 39,36 | -122,77 | 6,26 | 134,99 | -- | -- |
| 3 | 1,50 | 1,00, 0,30 | 5 Ø 20 | 5 Ø 16 | 57,78 | -144,09 | 4,15 | 135,90 | -- | -- |
| 4 | 2,25 | 1,00, 0,30 | 5 Ø 20 | 5 Ø 16 | 65,59 | -144,85 | 2,81 | 136,96 | -- | -- |
| 5 | 3,00 | 1,00, 0,30 | 5 Ø 20 | 5 Ø 16 | 64,88 | -144,21 | 1,90 | 138,16 | -- | -- |
| 6 | 3,50 | 1,00, 0,60 | 5 Ø 20 | 5 Ø 16 | 252,10 | -380,07 | 3,97 | 205,09 | -- | -- |
| 7 | 4,25 | 1,00, 0,60 | 5 Ø 20 | 5 Ø 16 | 214,13 | -371,03 | 2,52 | 207,45 | -- | -- |
| 8 | 5,00 | 1,00, 0,60 | 5 Ø 20 | 5 Ø 16 | 172,22 | -361,06 | 1,61 | 209,96 | -- | -- |

Inviluppo SLE

| Nr. | Y | B, H | A _{fs} | A _{fi} | σ _c | τ _c | σ _{fs} | σ _{fi} |
|-----|------|------------|-----------------|-----------------|----------------|----------------|-----------------|-----------------|
| 2 | 0,75 | 1,00, 0,30 | 5 Ø 20 | 5 Ø 16 | 1,626 | 0,050 | 46,886 | -10,138 |

| | | |
|--|---|-------------------------------------|
| Cod. elab.: 101IN241-MU76-6-CL-211_B | Titolo: OPERE D'ARTE MINORI - MURI IN C.A. MU.76- Muro di controripa 77.45 mt da 0+075.39 a 0+152.97 (Tronco 41) - Relazione di calcolo | Data:Luglio 2011 Pagina 47 di 67 |
| Nome file: 101IN241-MU76-6-CL-211_B.docx | | |

| | | | | | | | | |
|---|------|------------|--------|--------|-------|-------|---------|---------|
| 3 | 1,50 | 1,00, 0,30 | 5 Ø 20 | 5 Ø 16 | 2,492 | 0,066 | 70,432 | -15,813 |
| 4 | 2,25 | 1,00, 0,30 | 5 Ø 20 | 5 Ø 16 | 3,696 | 0,097 | 103,764 | -23,604 |
| 5 | 3,00 | 1,00, 0,30 | 5 Ø 20 | 5 Ø 16 | 5,887 | 0,139 | 152,212 | 0,000 |
| 6 | 3,50 | 1,00, 0,60 | 5 Ø 20 | 5 Ø 16 | 1,981 | 0,084 | 74,366 | -20,249 |
| 7 | 4,25 | 1,00, 0,60 | 5 Ø 20 | 5 Ø 16 | 2,881 | 0,119 | 110,888 | -29,210 |
| 8 | 5,00 | 1,00, 0,60 | 5 Ø 20 | 5 Ø 16 | 4,129 | 0,160 | 163,450 | -41,442 |

7.8 Verifiche a fessurazione muro

L'ordinata Y (espressa in [m]) è considerata positiva verso il basso con origine in testa al muro

A_{fs} area di armatura in corrispondenza del lembo di monte in [mq]

A_{fi} area di armatura in corrispondenza del lembo di valle in [mq]

M_{pf} Momento di prima fessurazione espressa in [kNm]

M Momento agente nella sezione espressa in [kNm]

ϵ_m deformazione media espressa in [%]

s_m Distanza media tra le fessure espressa in [mm]

w Apertura media della fessura espressa in [mm]

Combinazione n° 20

| N° | Y | A_{fs} | A_{fi} | M_{pf} | M | ϵ_m | s_m | w |
|----|------|----------|----------|----------|--------|--------------|--------|-------|
| 1 | 0,00 | 5 Ø 20 | 5 Ø 16 | -19,85 | 0,00 | 0,0000 | 0,00 | 0,000 |
| 2 | 0,25 | 5 Ø 20 | 5 Ø 16 | -19,85 | 0,00 | 0,0000 | 0,00 | 0,000 |
| 3 | 0,50 | 5 Ø 20 | 5 Ø 16 | -20,05 | -0,05 | 0,0000 | 0,00 | 0,000 |
| 4 | 0,75 | 5 Ø 20 | 5 Ø 16 | -22,83 | -0,21 | 0,0000 | 0,00 | 0,000 |
| 5 | 1,00 | 5 Ø 20 | 5 Ø 16 | -22,83 | -0,54 | 0,0000 | 0,00 | 0,000 |
| 6 | 1,25 | 5 Ø 20 | 5 Ø 16 | -22,83 | -1,11 | 0,0000 | 0,00 | 0,000 |
| 7 | 1,50 | 5 Ø 20 | 5 Ø 16 | -22,83 | -1,98 | 0,0000 | 0,00 | 0,000 |
| 8 | 1,75 | 5 Ø 20 | 5 Ø 16 | -22,83 | -3,23 | 0,0000 | 0,00 | 0,000 |
| 9 | 2,00 | 5 Ø 20 | 5 Ø 16 | -22,83 | -4,97 | 0,0000 | 0,00 | 0,000 |
| 10 | 2,25 | 5 Ø 20 | 5 Ø 16 | -22,83 | -7,26 | 0,0000 | 0,00 | 0,000 |
| 11 | 2,50 | 5 Ø 20 | 5 Ø 16 | -22,59 | -10,19 | 0,0000 | 0,00 | 0,000 |
| 12 | 2,75 | 5 Ø 20 | 5 Ø 16 | -22,59 | -13,80 | 0,0000 | 0,00 | 0,000 |
| 13 | 3,00 | 5 Ø 20 | 5 Ø 16 | -22,59 | -18,17 | 0,0000 | 0,00 | 0,000 |
| 14 | 3,00 | 5 Ø 20 | 5 Ø 16 | -80,37 | -18,74 | 0,0000 | 0,00 | 0,000 |
| 15 | 3,25 | 5 Ø 20 | 5 Ø 16 | -88,07 | -23,86 | 0,0000 | 0,00 | 0,000 |
| 16 | 3,50 | 5 Ø 20 | 5 Ø 16 | -88,07 | -29,85 | 0,0000 | 0,00 | 0,000 |
| 17 | 3,75 | 5 Ø 20 | 5 Ø 16 | -88,07 | -36,77 | 0,0000 | 0,00 | 0,000 |
| 18 | 4,00 | 5 Ø 20 | 5 Ø 16 | -88,07 | -44,71 | 0,0000 | 0,00 | 0,000 |
| 19 | 4,25 | 5 Ø 20 | 5 Ø 16 | -88,07 | -53,75 | 0,0000 | 0,00 | 0,000 |
| 20 | 4,50 | 5 Ø 20 | 5 Ø 16 | -88,07 | -63,97 | 0,0000 | 0,00 | 0,000 |
| 21 | 4,75 | 5 Ø 20 | 5 Ø 16 | -88,07 | -75,42 | 0,0000 | 0,00 | 0,000 |
| 22 | 5,00 | 5 Ø 20 | 5 Ø 16 | -88,07 | -88,17 | 0,0245 | 199,58 | 0,083 |

Combinazione n° 21

| N° | Y | A_{fs} | A_{fi} | M_{pf} | M | ϵ_m | s_m | w |
|----|------|----------|----------|----------|--------|--------------|--------|-------|
| 1 | 0,00 | 5 Ø 20 | 5 Ø 16 | -19,85 | -7,13 | 0,0000 | 0,00 | 0,000 |
| 2 | 0,25 | 5 Ø 20 | 5 Ø 16 | -19,85 | -8,91 | 0,0000 | 0,00 | 0,000 |
| 3 | 0,50 | 5 Ø 20 | 5 Ø 16 | -20,05 | -10,74 | 0,0000 | 0,00 | 0,000 |
| 4 | 0,75 | 5 Ø 20 | 5 Ø 16 | -22,83 | -12,68 | 0,0000 | 0,00 | 0,000 |
| 5 | 1,00 | 5 Ø 20 | 5 Ø 16 | -22,83 | -14,79 | 0,0000 | 0,00 | 0,000 |
| 6 | 1,25 | 5 Ø 20 | 5 Ø 16 | -22,83 | -17,14 | 0,0000 | 0,00 | 0,000 |
| 7 | 1,50 | 5 Ø 20 | 5 Ø 16 | -22,83 | -19,79 | 0,0000 | 0,00 | 0,000 |
| 8 | 1,75 | 5 Ø 20 | 5 Ø 16 | -22,83 | -22,83 | 0,0000 | 0,00 | 0,000 |
| 9 | 2,00 | 5 Ø 20 | 5 Ø 16 | -22,83 | -26,34 | 0,0205 | 199,58 | 0,070 |
| 10 | 2,25 | 5 Ø 20 | 5 Ø 16 | -22,83 | -30,42 | 0,0275 | 199,58 | 0,093 |
| 11 | 2,50 | 5 Ø 20 | 5 Ø 16 | -22,59 | -35,12 | 0,0352 | 199,58 | 0,119 |
| 12 | 2,75 | 5 Ø 20 | 5 Ø 16 | -22,59 | -40,52 | 0,0437 | 199,58 | 0,148 |

| | | |
|--|---|-------------------------------------|
| Cod. elab.: 101IN241-MU76-6-CL-211_B | Titolo: OPERE D'ARTE MINORI - MURI IN C.A. MU.76- Muro di controripa 77.45 mt da 0+075.39 a 0+152.97 (Tronco 41) - Relazione di calcolo | Data:Luglio 2011 Pagina 48 di 67 |
| Nome file: 101IN241-MU76-6-CL-211_B.docx | | |

| | | | | | | | | |
|----|------|--------|--------|--------|---------|--------|--------|-------|
| 13 | 3,00 | 5 Ø 20 | 5 Ø 16 | -22,59 | -46,67 | 0,0530 | 199,58 | 0,180 |
| 14 | 3,00 | 5 Ø 20 | 5 Ø 16 | -80,37 | -47,24 | 0,0000 | 0,00 | 0,000 |
| 15 | 3,25 | 5 Ø 20 | 5 Ø 16 | -88,07 | -54,13 | 0,0000 | 0,00 | 0,000 |
| 16 | 3,50 | 5 Ø 20 | 5 Ø 16 | -88,07 | -61,97 | 0,0000 | 0,00 | 0,000 |
| 17 | 3,75 | 5 Ø 20 | 5 Ø 16 | -88,07 | -70,95 | 0,0000 | 0,00 | 0,000 |
| 18 | 4,00 | 5 Ø 20 | 5 Ø 16 | -88,07 | -81,17 | 0,0000 | 0,00 | 0,000 |
| 19 | 4,25 | 5 Ø 20 | 5 Ø 16 | -88,07 | -92,70 | 0,0275 | 199,58 | 0,093 |
| 20 | 4,50 | 5 Ø 20 | 5 Ø 16 | -88,07 | -105,61 | 0,0317 | 199,58 | 0,107 |
| 21 | 4,75 | 5 Ø 20 | 5 Ø 16 | -88,07 | -119,97 | 0,0378 | 199,58 | 0,128 |
| 22 | 5,00 | 5 Ø 20 | 5 Ø 16 | -88,07 | -135,86 | 0,0494 | 199,58 | 0,168 |

Combinazione n° 22

| N° | Y | A _{fs} | A _{fi} | M _{pf} | M | ε _m | s _m | w |
|----|------|-----------------|-----------------|-----------------|---------|----------------|----------------|-------|
| 1 | 0,00 | 5 Ø 20 | 5 Ø 16 | -19,85 | -9,50 | 0,0000 | 0,00 | 0,000 |
| 2 | 0,25 | 5 Ø 20 | 5 Ø 16 | -19,85 | -11,88 | 0,0000 | 0,00 | 0,000 |
| 3 | 0,50 | 5 Ø 20 | 5 Ø 16 | -20,05 | -14,30 | 0,0000 | 0,00 | 0,000 |
| 4 | 0,75 | 5 Ø 20 | 5 Ø 16 | -22,83 | -16,84 | 0,0000 | 0,00 | 0,000 |
| 5 | 1,00 | 5 Ø 20 | 5 Ø 16 | -22,83 | -19,54 | 0,0000 | 0,00 | 0,000 |
| 6 | 1,25 | 5 Ø 20 | 5 Ø 16 | -22,83 | -22,49 | 0,0000 | 0,00 | 0,000 |
| 7 | 1,50 | 5 Ø 20 | 5 Ø 16 | -22,83 | -25,73 | 0,0205 | 199,58 | 0,070 |
| 8 | 1,75 | 5 Ø 20 | 5 Ø 16 | -22,83 | -29,36 | 0,0266 | 199,58 | 0,090 |
| 9 | 2,00 | 5 Ø 20 | 5 Ø 16 | -22,83 | -33,47 | 0,0335 | 199,58 | 0,114 |
| 10 | 2,25 | 5 Ø 20 | 5 Ø 16 | -22,83 | -38,14 | 0,0409 | 199,58 | 0,139 |
| 11 | 2,50 | 5 Ø 20 | 5 Ø 16 | -22,59 | -43,44 | 0,0489 | 199,58 | 0,166 |
| 12 | 2,75 | 5 Ø 20 | 5 Ø 16 | -22,59 | -49,43 | 0,0578 | 199,58 | 0,196 |
| 13 | 3,00 | 5 Ø 20 | 5 Ø 16 | -22,59 | -56,17 | 0,0676 | 199,58 | 0,229 |
| 14 | 3,00 | 5 Ø 20 | 5 Ø 16 | -80,37 | -56,74 | 0,0000 | 0,00 | 0,000 |
| 15 | 3,25 | 5 Ø 20 | 5 Ø 16 | -88,07 | -64,23 | 0,0000 | 0,00 | 0,000 |
| 16 | 3,50 | 5 Ø 20 | 5 Ø 16 | -88,07 | -72,80 | 0,0000 | 0,00 | 0,000 |
| 17 | 3,75 | 5 Ø 20 | 5 Ø 16 | -88,07 | -82,59 | 0,0000 | 0,00 | 0,000 |
| 18 | 4,00 | 5 Ø 20 | 5 Ø 16 | -88,07 | -93,67 | 0,0283 | 199,58 | 0,096 |
| 19 | 4,25 | 5 Ø 20 | 5 Ø 16 | -88,07 | -106,13 | 0,0323 | 199,58 | 0,110 |
| 20 | 4,50 | 5 Ø 20 | 5 Ø 16 | -88,07 | -120,03 | 0,0389 | 199,58 | 0,132 |
| 21 | 4,75 | 5 Ø 20 | 5 Ø 16 | -88,07 | -135,46 | 0,0501 | 199,58 | 0,170 |
| 22 | 5,00 | 5 Ø 20 | 5 Ø 16 | -88,07 | -152,48 | 0,0619 | 199,58 | 0,210 |

7.9 Inviluppo armature e tensioni nei materiali della fondazione

Simbologia adottata

| | |
|-----------------|--|
| B | base della sezione espressa in [m] |
| H | |
| A _{fi} | area di armatura in corrispondenza del lembo inferiore in [mq] |
| A _{fs} | area di armatura in corrispondenza del lembo superiore in [mq] |
| σ _c | tensione nel calcestruzzo espressa in [MPa] |
| τ _c | tensione tangenziale nel calcestruzzo espressa in [MPa] |
| σ _{fi} | tensione nell'armatura disposta in corrispondenza del lembo inferiore in [MPa] |
| σ _{fs} | tensione nell'armatura disposta in corrispondenza del lembo superiore in [MPa] |
| N _u | sforzo normale ultimo espresso in [kN] |
| M _u | momento ultimo espresso in [kNm] |
| CS | coefficiente sicurezza sezione |
| VRcd | Aliquota di taglio assorbito dal cls, espresso in [kN] |
| VRsd | Aliquota di taglio assorbito dall'armatura, espresso in [kN] |
| VRd | Resistenza al taglio, espresso in [kN] |

Fondazione di valle

(L'ascissa X, espressa in [m], è positiva verso monte con origine in corrispondenza dell'estremo libero della fondazione di valle)

| | | |
|--|---|------------------|
| Cod. elab.: 101IN241-MU76-6-CL-211_B | Titolo: OPERE D'ARTE MINORI - MURI IN C.A. | Data:Luglio 2011 |
| Nome file: 101IN241-MU76-6-CL-211_B.docx | MU.76- Muro di controripa 77.45 mt da 0+075.39 a 0+152.97 (Tronco 41) - Relazione di calcolo | Pagina 49 di 67 |

Inviluppo SLU

| Nr. | Y | B, H | A _{fs} | A _{fi} | N _u | M _u | CS | V _{Rd} | V _{Red} | V _{Rsd} |
|-----|------|------------|-----------------|-----------------|----------------|----------------|-------|-----------------|------------------|------------------|
| 1 | 0,40 | 1,00, 1,30 | 5 Ø 20 | 5 Ø 24 | 0,00 | 1067,54 | 58,28 | 365,43 | -- | -- |
| 2 | 1,00 | 1,00, 1,30 | 5 Ø 20 | 5 Ø 24 | 0,00 | 1067,84 | 10,47 | 365,43 | -- | -- |
| 3 | 1,57 | 1,00, 1,30 | 5 Ø 20 | 5 Ø 24 | 0,00 | 1067,54 | 3,77 | 7592,67 | 7592,67 | 66749,69 |
| 4 | 2,14 | 1,00, 1,30 | 5 Ø 20 | 5 Ø 24 | 0,00 | 1067,54 | 2,25 | 7592,67 | 7592,67 | 66749,69 |
| 5 | 2,70 | 1,00, 1,30 | 5 Ø 20 | 5 Ø 24 | 0,00 | 1160,86 | 1,74 | 365,43 | -- | -- |

Inviluppo SLE

| Nr. | X | B, H | A _{fs} | A _{fi} | σ _c | τ _c | σ _{fi} | σ _{fs} |
|-----|------|------------|-----------------|-----------------|----------------|----------------|-----------------|-----------------|
| 6 | 0,40 | 1,00, 1,30 | 5 Ø 20 | 5 Ø 24 | 0,064 | 0,029 | 3,031 | 5,079 |
| 7 | 1,00 | 1,00, 1,30 | 5 Ø 20 | 5 Ø 24 | 0,417 | 0,179 | 26,120 | -4,956 |
| 8 | 1,57 | 1,00, 1,30 | 5 Ø 20 | 5 Ø 24 | 1,177 | 0,233 | 73,039 | -14,026 |
| 9 | 2,14 | 1,00, 1,30 | 5 Ø 20 | 5 Ø 24 | 1,966 | 0,215 | 121,992 | -23,426 |
| 10 | 2,70 | 1,00, 1,30 | 5 Ø 20 | 5 Ø 24 | 2,644 | 0,195 | 156,176 | -31,827 |

Fondazione di monte

(L'ascissa X, espressa in [m], è positiva verso valle con origine in corrispondenza dell'estremo libero della fondazione di monte)

Inviluppo SLU

| Nr. | Y | B, H | A _{fs} | A _{fi} | N _u | M _u | CS | V _{Rd} | V _{Red} | V _{Rsd} |
|-----|------|------------|-----------------|-----------------|----------------|----------------|-------|-----------------|------------------|------------------|
| 1 | 0,40 | 1,00, 1,30 | 5 Ø 20 | 5 Ø 24 | 0,00 | -745,10 | 31,42 | 365,43 | -- | -- |
| 2 | 1,00 | 1,00, 1,30 | 5 Ø 20 | 5 Ø 24 | 0,00 | -745,10 | 18,58 | 365,43 | -- | -- |
| 3 | 1,57 | 1,00, 1,30 | 5 Ø 20 | 5 Ø 24 | 0,00 | 0,00 | 8,15 | 0,00 | -- | -- |
| 4 | 2,14 | 1,00, 1,30 | 5 Ø 20 | 5 Ø 24 | 0,00 | 0,00 | 5,55 | 0,00 | -- | -- |
| 5 | 2,70 | 1,00, 1,30 | 5 Ø 20 | 5 Ø 24 | 0,00 | 0,00 | 4,40 | 365,43 | -- | -- |

Inviluppo SLE

| Nr. | X | B, H | A _{fs} | A _{fi} | σ _c | τ _c | σ _{fi} | σ _{fs} |
|-----|------|------------|-----------------|-----------------|----------------|----------------|-----------------|-----------------|
| 6 | 0,40 | 1,00, 1,30 | 5 Ø 20 | 5 Ø 24 | 0,119 | 0,009 | -1,332 | 9,421 |
| 7 | 1,00 | 1,00, 1,30 | 5 Ø 20 | 5 Ø 24 | 0,178 | 0,107 | 11,075 | 10,246 |
| 8 | 1,57 | 1,00, 1,30 | 5 Ø 20 | 5 Ø 24 | 0,589 | 0,118 | 36,574 | -7,023 |
| 9 | 2,14 | 1,00, 1,30 | 5 Ø 20 | 5 Ø 24 | 0,866 | 0,050 | 53,718 | -10,316 |
| 10 | 2,70 | 1,00, 1,30 | 5 Ø 20 | 5 Ø 24 | 0,949 | 0,007 | 58,919 | -11,314 |

7.10 Verifiche a fessurazione fondazione

L'ordinata Y (espressa in [m]) è considerata positiva verso il basso con origine in testa al muro

A_{fs} area di armatura in corrispondenza del lembo di monte in [mq]

A_{fi} area di armatura in corrispondenza del lembo di valle in [mq]

M_{pf} Momento di prima fessurazione espresso in [kNm]

M Momento agente nella sezione espresso in [kNm]

ε_m deformazione media espresso in [%]

s_m Distanza media tra le fessure espresso in [mm]

w Apertura media della fessura espresso in [mm]

Combinazione n° 20

| N° | Y | A _{fs} | A _{fi} | M _{pf} | M | ε _m | s _m | w |
|----|-------|-----------------|-----------------|-----------------|-------|----------------|----------------|-------|
| 1 | -3,00 | 5 Ø 20 | 5 Ø 24 | 405,37 | 0,26 | 0,0000 | 0,00 | 0,000 |
| 2 | -2,80 | 5 Ø 20 | 5 Ø 24 | 405,37 | 3,42 | 0,0000 | 0,00 | 0,000 |
| 3 | -2,60 | 5 Ø 20 | 5 Ø 24 | -398,81 | -8,20 | 0,0000 | 0,00 | 0,000 |
| 4 | -2,40 | 5 Ø 20 | 5 Ø 24 | 405,37 | 16,03 | 0,0000 | 0,00 | 0,000 |
| 5 | -2,20 | 5 Ø 20 | 5 Ø 24 | 405,37 | 31,77 | 0,0000 | 0,00 | 0,000 |

| | | |
|--|---|-------------------------------------|
| Cod. elab.: 101IN241-MU76-6-CL-211_B | Titolo: OPERE D'ARTE MINORI - MURI IN C.A. MU.76- Muro di controripa 77.45 mt da 0+075.39 a 0+152.97 (Tronco 41) - Relazione di calcolo | Data:Luglio 2011 Pagina 50 di 67 |
| Nome file: 101IN241-MU76-6-CL-211_B.docx | | |

Ammodernamento e adeguamento alla Cat. B del D.M. 5.11.2001 dal km 44+000 allo svincolo con l'A19
PROGETTO ESECUTIVO

| | | | | | | | | |
|----|-------|----------|----------|---------|--------|--------|------|-------|
| 6 | -2,00 | 0,001772 | 5 Ø 24 | 405,96 | 53,75 | 0,0000 | 0,00 | 0,000 |
| 7 | -1,80 | 5 Ø 20 | 5 Ø 24 | 405,37 | 81,12 | 0,0000 | 0,00 | 0,000 |
| 8 | -1,61 | 5 Ø 20 | 5 Ø 24 | 405,37 | 113,65 | 0,0000 | 0,00 | 0,000 |
| 9 | -1,43 | 5 Ø 20 | 5 Ø 24 | 405,37 | 151,11 | 0,0000 | 0,00 | 0,000 |
| 10 | -1,24 | 5 Ø 20 | 5 Ø 24 | 405,37 | 185,77 | 0,0000 | 0,00 | 0,000 |
| 11 | -1,05 | 5 Ø 20 | 5 Ø 24 | 405,37 | 218,91 | 0,0000 | 0,00 | 0,000 |
| 12 | -0,86 | 5 Ø 20 | 5 Ø 24 | 405,37 | 251,12 | 0,0000 | 0,00 | 0,000 |
| 13 | -0,67 | 5 Ø 20 | 5 Ø 24 | 405,37 | 282,74 | 0,0000 | 0,00 | 0,000 |
| 14 | -0,49 | 5 Ø 20 | 0,002463 | 407,85 | 314,24 | 0,0000 | 0,00 | 0,000 |
| 15 | -0,30 | 5 Ø 20 | 0,002463 | 407,85 | 346,39 | 0,0000 | 0,00 | 0,000 |
| 16 | 0,30 | 5 Ø 20 | 5 Ø 24 | 405,37 | 156,33 | 0,0000 | 0,00 | 0,000 |
| 17 | 0,49 | 5 Ø 20 | 5 Ø 24 | 405,37 | 153,98 | 0,0000 | 0,00 | 0,000 |
| 18 | 0,68 | 5 Ø 20 | 5 Ø 24 | 405,37 | 149,72 | 0,0000 | 0,00 | 0,000 |
| 19 | 0,86 | 5 Ø 20 | 5 Ø 24 | 405,37 | 142,53 | 0,0000 | 0,00 | 0,000 |
| 20 | 1,05 | 5 Ø 20 | 5 Ø 24 | 405,37 | 131,77 | 0,0000 | 0,00 | 0,000 |
| 21 | 1,24 | 5 Ø 20 | 5 Ø 24 | 405,37 | 116,89 | 0,0000 | 0,00 | 0,000 |
| 22 | 1,43 | 5 Ø 20 | 5 Ø 24 | 405,37 | 97,04 | 0,0000 | 0,00 | 0,000 |
| 23 | 1,61 | 5 Ø 20 | 5 Ø 24 | 405,37 | 70,49 | 0,0000 | 0,00 | 0,000 |
| 24 | 1,80 | 5 Ø 20 | 5 Ø 24 | 405,37 | 47,31 | 0,0000 | 0,00 | 0,000 |
| 25 | 2,00 | 5 Ø 20 | 5 Ø 24 | 405,37 | 29,39 | 0,0000 | 0,00 | 0,000 |
| 26 | 2,20 | 5 Ø 20 | 5 Ø 24 | -398,81 | -29,86 | 0,0000 | 0,00 | 0,000 |
| 27 | 2,40 | 5 Ø 20 | 5 Ø 24 | -398,81 | -33,35 | 0,0000 | 0,00 | 0,000 |
| 28 | 2,60 | 5 Ø 20 | 5 Ø 24 | -398,81 | -17,57 | 0,0000 | 0,00 | 0,000 |
| 29 | 2,80 | 5 Ø 20 | 5 Ø 24 | -398,81 | -5,78 | 0,0000 | 0,00 | 0,000 |
| 30 | 3,00 | 5 Ø 20 | 5 Ø 24 | 405,37 | 0,63 | 0,0000 | 0,00 | 0,000 |

Combinazione n° 21

| N° | Y | A _{fs} | A _{fi} | M _{pf} | M | ε_m | s _m | w |
|----|-------|-----------------|-----------------|-----------------|--------|----------------------|----------------|-------|
| 1 | -3,00 | 5 Ø 20 | 5 Ø 24 | 405,37 | 0,28 | 0,0000 | 0,00 | 0,000 |
| 2 | -2,80 | 5 Ø 20 | 5 Ø 24 | 405,37 | 4,08 | 0,0000 | 0,00 | 0,000 |
| 3 | -2,60 | 5 Ø 20 | 5 Ø 24 | -398,81 | -9,15 | 0,0000 | 0,00 | 0,000 |
| 4 | -2,40 | 5 Ø 20 | 5 Ø 24 | 405,37 | 19,68 | 0,0000 | 0,00 | 0,000 |
| 5 | -2,20 | 5 Ø 20 | 5 Ø 24 | 405,37 | 38,82 | 0,0000 | 0,00 | 0,000 |
| 6 | -2,00 | 0,001772 | 5 Ø 24 | 405,96 | 65,46 | 0,0000 | 0,00 | 0,000 |
| 7 | -1,80 | 5 Ø 20 | 5 Ø 24 | 405,37 | 98,61 | 0,0000 | 0,00 | 0,000 |
| 8 | -1,61 | 5 Ø 20 | 5 Ø 24 | 405,37 | 137,88 | 0,0000 | 0,00 | 0,000 |
| 9 | -1,43 | 5 Ø 20 | 5 Ø 24 | 405,37 | 183,12 | 0,0000 | 0,00 | 0,000 |
| 10 | -1,24 | 5 Ø 20 | 5 Ø 24 | 405,37 | 225,28 | 0,0000 | 0,00 | 0,000 |
| 11 | -1,05 | 5 Ø 20 | 5 Ø 24 | 405,37 | 265,85 | 0,0000 | 0,00 | 0,000 |
| 12 | -0,86 | 5 Ø 20 | 5 Ø 24 | 405,37 | 305,53 | 0,0000 | 0,00 | 0,000 |
| 13 | -0,67 | 5 Ø 20 | 5 Ø 24 | 405,37 | 344,72 | 0,0000 | 0,00 | 0,000 |
| 14 | -0,49 | 5 Ø 20 | 0,002463 | 407,85 | 383,95 | 0,0000 | 0,00 | 0,000 |
| 15 | -0,30 | 5 Ø 20 | 0,002463 | 407,85 | 424,15 | 0,0429 | 147,86 | 0,108 |
| 16 | 0,30 | 5 Ø 20 | 5 Ø 24 | 405,37 | 101,08 | 0,0000 | 0,00 | 0,000 |
| 17 | 0,49 | 5 Ø 20 | 5 Ø 24 | 405,37 | 104,31 | 0,0000 | 0,00 | 0,000 |
| 18 | 0,68 | 5 Ø 20 | 5 Ø 24 | 405,37 | 105,46 | 0,0000 | 0,00 | 0,000 |
| 19 | 0,86 | 5 Ø 20 | 5 Ø 24 | 405,37 | 103,55 | 0,0000 | 0,00 | 0,000 |
| 20 | 1,05 | 5 Ø 20 | 5 Ø 24 | 405,37 | 98,01 | 0,0000 | 0,00 | 0,000 |
| 21 | 1,24 | 5 Ø 20 | 5 Ø 24 | 405,37 | 88,33 | 0,0000 | 0,00 | 0,000 |
| 22 | 1,43 | 5 Ø 20 | 5 Ø 24 | 405,37 | 73,73 | 0,0000 | 0,00 | 0,000 |
| 23 | 1,61 | 5 Ø 20 | 5 Ø 24 | 405,37 | 52,60 | 0,0000 | 0,00 | 0,000 |
| 24 | 1,80 | 5 Ø 20 | 5 Ø 24 | 405,37 | 34,16 | 0,0000 | 0,00 | 0,000 |
| 25 | 2,00 | 5 Ø 20 | 5 Ø 24 | 405,37 | 20,35 | 0,0000 | 0,00 | 0,000 |
| 26 | 2,20 | 5 Ø 20 | 5 Ø 24 | -398,81 | -31,76 | 0,0000 | 0,00 | 0,000 |
| 27 | 2,40 | 5 Ø 20 | 5 Ø 24 | -398,81 | -33,18 | 0,0000 | 0,00 | 0,000 |
| 28 | 2,60 | 5 Ø 20 | 5 Ø 24 | -398,81 | -17,36 | 0,0000 | 0,00 | 0,000 |
| 29 | 2,80 | 5 Ø 20 | 5 Ø 24 | -398,81 | -5,61 | 0,0000 | 0,00 | 0,000 |
| 30 | 3,00 | 5 Ø 20 | 5 Ø 24 | 405,37 | 0,64 | 0,0000 | 0,00 | 0,000 |

| | | |
|--|---|------------------|
| Cod. elab.: 101IN241-MU76-6-CL-211_B | Titolo: OPERE D'ARTE MINORI - MURI IN C.A. | Data:Luglio 2011 |
| Nome file: 101IN241-MU76-6-CL-211_B.docx | MU.76- Muro di controripa 77.45 mt da 0+075.39 a 0+152.97 (Tronco 41) - Relazione di calcolo | Pagina 51 di 67 |

Combinazione n° 22

| N° | Y | A _{fs} | A _{fi} | M _{pf} | M | ε _m | S _m | W |
|----|-------|-----------------|-----------------|-----------------|--------|----------------|----------------|-------|
| 1 | -3,00 | 5 Ø 20 | 5 Ø 24 | 405,37 | 0,29 | 0,0000 | 0,00 | 0,000 |
| 2 | -2,80 | 5 Ø 20 | 5 Ø 24 | 405,37 | 4,30 | 0,0000 | 0,00 | 0,000 |
| 3 | -2,60 | 5 Ø 20 | 5 Ø 24 | -398,81 | -9,47 | 0,0000 | 0,00 | 0,000 |
| 4 | -2,40 | 5 Ø 20 | 5 Ø 24 | 405,37 | 20,90 | 0,0000 | 0,00 | 0,000 |
| 5 | -2,20 | 5 Ø 20 | 5 Ø 24 | 405,37 | 41,17 | 0,0000 | 0,00 | 0,000 |
| 6 | -2,00 | 0,001772 | 5 Ø 24 | 405,96 | 69,37 | 0,0000 | 0,00 | 0,000 |
| 7 | -1,80 | 5 Ø 20 | 5 Ø 24 | 405,37 | 104,44 | 0,0000 | 0,00 | 0,000 |
| 8 | -1,61 | 5 Ø 20 | 5 Ø 24 | 405,37 | 145,96 | 0,0000 | 0,00 | 0,000 |
| 9 | -1,43 | 5 Ø 20 | 5 Ø 24 | 405,37 | 193,80 | 0,0000 | 0,00 | 0,000 |
| 10 | -1,24 | 5 Ø 20 | 5 Ø 24 | 405,37 | 238,46 | 0,0000 | 0,00 | 0,000 |
| 11 | -1,05 | 5 Ø 20 | 5 Ø 24 | 405,37 | 281,52 | 0,0000 | 0,00 | 0,000 |
| 12 | -0,86 | 5 Ø 20 | 5 Ø 24 | 405,37 | 323,69 | 0,0000 | 0,00 | 0,000 |
| 13 | -0,67 | 5 Ø 20 | 5 Ø 24 | 405,37 | 365,40 | 0,0000 | 0,00 | 0,000 |
| 14 | -0,49 | 5 Ø 20 | 0,002463 | 407,85 | 407,22 | 0,0000 | 0,00 | 0,000 |
| 15 | -0,30 | 5 Ø 20 | 0,002463 | 407,85 | 450,09 | 0,0458 | 147,86 | 0,115 |
| 16 | 0,30 | 5 Ø 20 | 5 Ø 24 | 405,37 | 82,65 | 0,0000 | 0,00 | 0,000 |
| 17 | 0,49 | 5 Ø 20 | 5 Ø 24 | 405,37 | 87,75 | 0,0000 | 0,00 | 0,000 |
| 18 | 0,68 | 5 Ø 20 | 5 Ø 24 | 405,37 | 90,70 | 0,0000 | 0,00 | 0,000 |
| 19 | 0,86 | 5 Ø 20 | 5 Ø 24 | 405,37 | 90,55 | 0,0000 | 0,00 | 0,000 |
| 20 | 1,05 | 5 Ø 20 | 5 Ø 24 | 405,37 | 86,75 | 0,0000 | 0,00 | 0,000 |
| 21 | 1,24 | 5 Ø 20 | 5 Ø 24 | 405,37 | 78,81 | 0,0000 | 0,00 | 0,000 |
| 22 | 1,43 | 5 Ø 20 | 5 Ø 24 | 405,37 | 65,95 | 0,0000 | 0,00 | 0,000 |
| 23 | 1,61 | 5 Ø 20 | 5 Ø 24 | 405,37 | 46,63 | 0,0000 | 0,00 | 0,000 |
| 24 | 1,80 | 5 Ø 20 | 5 Ø 24 | 405,37 | 29,77 | 0,0000 | 0,00 | 0,000 |
| 25 | 2,00 | 5 Ø 20 | 5 Ø 24 | -398,81 | -19,10 | 0,0000 | 0,00 | 0,000 |
| 26 | 2,20 | 5 Ø 20 | 5 Ø 24 | -398,81 | -32,39 | 0,0000 | 0,00 | 0,000 |
| 27 | 2,40 | 5 Ø 20 | 5 Ø 24 | -398,81 | -33,12 | 0,0000 | 0,00 | 0,000 |
| 28 | 2,60 | 5 Ø 20 | 5 Ø 24 | -398,81 | -17,29 | 0,0000 | 0,00 | 0,000 |
| 29 | 2,80 | 5 Ø 20 | 5 Ø 24 | -398,81 | -5,56 | 0,0000 | 0,00 | 0,000 |
| 30 | 3,00 | 5 Ø 20 | 5 Ø 24 | 405,37 | 0,64 | 0,0000 | 0,00 | 0,000 |

7.11 Verifica a punzonamento della fondazione

D diametro dei pali della fila espresso in [m]
H_f altezza della fondazione in corrispondenza della fila expressa in [m]
S_l superficie di aderenza palo-fondazione (H_fΠD) espressa in [mq]
N sforzo normale trasmesso dal palo alla fondazione espresso in [kN]
τ_c tensione tangenziale palo-fondazione espressa in [MPa]

| Fila | D | H _f | S _l | N | τ _c |
|------|-------|----------------|----------------|--------|----------------|
| 1 | 0,800 | 1,300 | 3,26726 | 524,82 | 0,161 |
| 2 | 0,800 | 1,300 | 3,26726 | 968,25 | 0,296 |

7.12 Inviluppo sollecitazioni nei pali e verifiche delle sezioni

Nr. numero d'ordine della sezione a partire dall'attacco palo-fondazione
Y ordinata della sezione a partire dall'attacco palo-fondazione positiva verso il basso (in [m])
M momento flettente espresso in [kNm]
N sforzo normale espresso in [kN]
T taglio espresso in [kN]
M_u momento ultimo espresso in [kNm]
N_u sforzo normale ultimo espresso in [kN]
T_u taglio ultimo espresso in [kN]
CS coefficiente di sicurezza

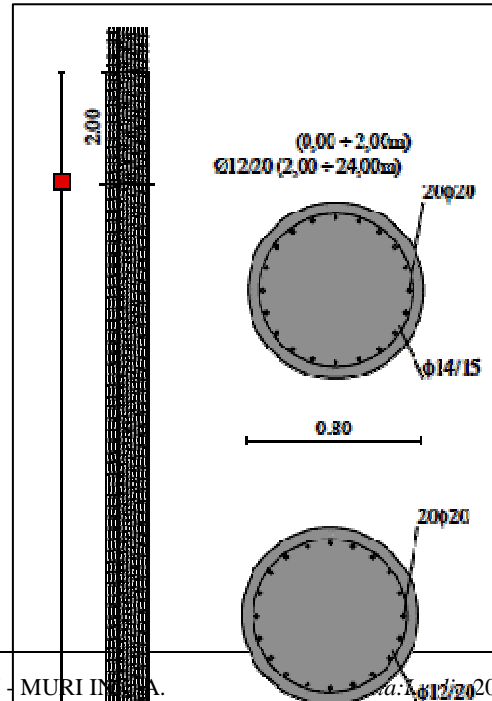
| | | |
|--|---|---|
| Cod. elab.: 101IN241-MU76-6-CL-211_B | Titolo: OPERE D'ARTE MINORI - MURI IN C.A. MU.76- Muro di controripa 77.45 mt da 0+075.39 a 0+152.97 (Tronco 41) - Relazione di calcolo | Data:Luglio 2011 Pagina 52 di 67 |
| Nome file: 101IN241-MU76-6-CL-211_B.docx | | |

Inviluppo sollecitazioni fila di pali nr. 1

| Nr. | Y | Mmin | Mmax | Tmin | Tmax | Nmin | Nmax |
|-----|-------|-----------|----------|-----------|----------|----------|-----------|
| 1 | 0,00 | 181,3618 | 428,7398 | 113,5959 | 316,5330 | 416,1455 | 1037,1245 |
| 2 | 0,60 | 113,2044 | 238,8201 | 101,8106 | 304,7477 | 423,2836 | 1043,9150 |
| 3 | 1,20 | 49,5258 | 67,9780 | 78,2403 | 281,1775 | 429,6182 | 1049,2069 |
| 4 | 1,80 | -112,7350 | 5,1739 | 53,3516 | 245,8221 | 435,1494 | 1053,0002 |
| 5 | 2,40 | -260,2283 | -26,8371 | 33,5786 | 198,6816 | 439,8770 | 1055,2948 |
| 6 | 3,00 | -379,4372 | -46,9843 | 18,6224 | 139,7559 | 443,8013 | 1056,0909 |
| 7 | 3,60 | -463,2908 | -58,1577 | 5,9323 | 69,0451 | 446,9220 | 1055,3883 |
| 8 | 4,20 | -504,7178 | -62,9194 | -35,0211 | -4,1667 | 449,2393 | 1053,1870 |
| 9 | 4,80 | -496,6473 | -60,4194 | -83,8997 | -11,4280 | 450,7531 | 1049,4872 |
| 10 | 5,40 | -448,1141 | -53,5625 | -116,7900 | -15,0710 | 451,4634 | 1044,2887 |
| 11 | 6,00 | -378,0401 | -44,5199 | -130,2619 | -16,1856 | 451,3703 | 1037,5916 |
| 12 | 6,60 | -299,8829 | -34,8085 | -129,0223 | -15,6816 | 450,4736 | 1029,3959 |
| 13 | 7,20 | -222,4695 | -25,3996 | -119,2176 | -14,2732 | 448,7736 | 1019,7016 |
| 14 | 7,80 | -150,9389 | -16,8357 | -97,2536 | -11,4232 | 447,2928 | 1010,4163 |
| 15 | 8,40 | -92,5868 | -9,9818 | -73,9366 | -8,5249 | 446,1666 | 1001,7924 |
| 16 | 9,00 | -48,2248 | -4,8669 | -52,3638 | -5,9133 | 444,4174 | 992,0064 |
| 17 | 9,60 | -16,8065 | -0,6402 | -34,1790 | -3,7559 | 442,0450 | 981,0581 |
| 18 | 10,20 | 0,9347 | 7,6672 | -19,9899 | -2,1027 | 439,0496 | 968,9477 |
| 19 | 10,80 | 2,1963 | 16,0829 | -9,7221 | -0,9285 | 435,4310 | 955,6750 |
| 20 | 11,40 | 2,7534 | 21,5281 | -1,4177 | 0,8676 | 431,1894 | 941,2402 |
| 21 | 12,00 | 2,7536 | 22,3786 | 0,5332 | 3,9846 | 426,3247 | 925,6432 |
| 22 | 12,60 | 2,4337 | 20,2669 | 0,7791 | 5,9586 | 420,8368 | 908,8840 |
| 23 | 13,20 | 1,9662 | 16,6917 | 0,8331 | 6,6942 | 414,7259 | 890,9626 |
| 24 | 13,80 | 1,4664 | 12,6752 | 0,7730 | 6,3862 | 407,9919 | 871,8790 |
| 25 | 14,40 | 1,0026 | 8,8435 | 0,6573 | 5,5389 | 400,6348 | 851,6332 |
| 26 | 15,00 | 0,6083 | 5,5202 | 0,5262 | 4,5069 | 392,6545 | 830,2253 |
| 27 | 15,60 | 0,2925 | 2,8160 | 0,3532 | 3,0957 | 378,0173 | 796,4007 |
| 28 | 16,20 | 0,0647 | 0,9586 | 0,2110 | 1,9059 | 362,5036 | 760,9413 |
| 29 | 16,80 | -0,3764 | -0,0460 | 0,1047 | 0,9983 | 346,1133 | 723,8469 |
| 30 | 17,40 | -0,7952 | -0,1088 | 0,0319 | 0,3677 | 328,8465 | 685,1177 |
| 31 | 18,00 | -1,0045 | -0,1284 | -0,0973 | -0,0113 | 310,7031 | 644,7535 |
| 32 | 18,60 | -0,9885 | -0,1216 | -0,2479 | -0,0338 | 291,6832 | 603,5313 |
| 33 | 19,20 | -0,8450 | -0,1014 | -0,3243 | -0,0417 | 271,7868 | 580,5522 |
| 34 | 19,80 | -0,6505 | -0,0763 | -0,3293 | -0,0407 | 251,0139 | 556,5980 |
| 35 | 20,40 | -0,4529 | -0,0519 | -0,2817 | -0,0337 | 229,3644 | 531,6689 |
| 36 | 21,00 | -0,2838 | -0,0317 | -0,2123 | -0,0247 | 206,8384 | 505,7647 |
| 37 | 21,60 | -0,1565 | -0,0169 | -0,1412 | -0,0159 | 183,4358 | 478,8855 |
| 38 | 22,20 | -0,0717 | -0,0074 | -0,0800 | -0,0086 | 159,1567 | 451,0312 |
| 39 | 22,80 | -0,0237 | -0,0022 | -0,0341 | -0,0034 | 134,0011 | 422,2020 |
| 40 | 23,40 | -0,0033 | 0,0001 | -0,0055 | 0,0002 | 107,9690 | 392,3977 |
| 41 | 24,00 | 0,0000 | 0,0000 | -0,0055 | 0,0002 | 81,0603 | 361,6184 |

Inviluppo verifiche fila di pali nr. 1

| Nr. | Y | A _f | M _u | N _u | T _u | CS |
|-----|------|----------------|----------------|----------------|----------------|------|
| 1 | 0,00 | 20 Ø 20 | 875,79 | 875,79 | 365,47 | 2,10 |
| 2 | 0,60 | 20 Ø 20 | 795,18 | 795,18 | 365,47 | 4,19 |
| 3 | 1,20 | 20 Ø 20 | 469,52 | 469,52 | 365,47 | 6,92 |
| 4 | 1,80 | 20 Ø 20 | 21,49 | 21,49 | 365,47 | 7,37 |
| 5 | 2,40 | 20 Ø 20 | 258,41 | 258,41 | 201,38 | 3,82 |
| 6 | 3,00 | 20 Ø 20 | 437,38 | 437,38 | 201,38 | 2,45 |
| 7 | 3,60 | 20 Ø 20 | 514,35 | 514,35 | 201,38 | 1,93 |
| 8 | 4,20 | 20 Ø 20 | 544,09 | 544,09 | 201,38 | 1,75 |
| 9 | 4,80 | 20 Ø 20 | 527,84 | 527,84 | 201,38 | 1,78 |
| 10 | 5,40 | 20 Ø 20 | 482,08 | 482,08 | 201,38 | 2,01 |



| | | |
|--|---|------------------|
| Cod. elab.: 101IN241-MU76-6-CL-211_B | Titolo: OPERE D'ARTE MINORI - MURI IN PIASTRONE | data: 10/12/2011 |
| Nome file: 101IN241-MU76-6-CL-211_B.docx | MU.76- Muro di controripa 77.45 m da 0+139 a 0+152.97 (Tronco 41) - Relazione di | Pagina 53 di 67 |

| | | | | | | |
|----|-------|---------|--------|--------|--------|-------|
| 11 | 6,00 | 20 Ø 20 | 417,21 | 417,21 | 201,38 | 2,47 |
| 12 | 6,60 | 20 Ø 20 | 330,76 | 330,76 | 201,38 | 3,24 |
| 13 | 7,20 | 20 Ø 20 | 243,89 | 243,89 | 201,38 | 4,55 |
| 14 | 7,80 | 20 Ø 20 | 163,22 | 163,22 | 201,38 | 6,53 |
| 15 | 8,40 | 20 Ø 20 | 97,54 | 97,54 | 201,38 | 7,69 |
| 16 | 9,00 | 20 Ø 20 | 47,92 | 47,92 | 201,38 | 7,81 |
| 17 | 9,60 | 20 Ø 20 | 7,04 | 7,04 | 201,38 | 7,92 |
| 18 | 10,20 | 20 Ø 20 | 9,32 | 9,32 | 201,38 | 8,02 |
| 19 | 10,80 | 20 Ø 20 | 22,02 | 22,02 | 201,38 | 8,12 |
| 20 | 11,40 | 20 Ø 20 | 27,79 | 27,79 | 201,38 | 8,24 |
| 21 | 12,00 | 20 Ø 20 | 28,02 | 28,02 | 201,38 | 8,38 |
| 22 | 12,60 | 20 Ø 20 | 25,00 | 25,00 | 201,38 | 8,53 |
| 23 | 13,20 | 20 Ø 20 | 20,41 | 20,41 | 201,38 | 8,71 |
| 24 | 13,80 | 20 Ø 20 | 15,40 | 15,40 | 201,38 | 8,91 |
| 25 | 14,40 | 20 Ø 20 | 10,66 | 10,66 | 201,38 | 9,12 |
| 26 | 15,00 | 20 Ø 20 | 6,56 | 6,56 | 201,38 | 9,36 |
| 27 | 15,60 | 20 Ø 20 | 3,23 | 3,23 | 201,38 | 9,76 |
| 28 | 16,20 | 20 Ø 20 | 0,79 | 0,79 | 201,38 | 10,22 |
| 29 | 16,80 | 20 Ø 20 | 0,54 | 0,54 | 201,38 | 10,74 |
| 30 | 17,40 | 20 Ø 20 | 1,31 | 1,31 | 201,38 | 11,35 |
| 31 | 18,00 | 20 Ø 20 | 1,60 | 1,60 | 201,38 | 12,06 |
| 32 | 18,60 | 20 Ø 20 | 1,57 | 1,57 | 201,38 | 12,89 |
| 33 | 19,20 | 20 Ø 20 | 1,36 | 1,36 | 201,38 | 13,40 |
| 34 | 19,80 | 20 Ø 20 | 1,07 | 1,07 | 201,38 | 13,97 |
| 35 | 20,40 | 20 Ø 20 | 0,76 | 0,76 | 201,38 | 14,63 |
| 36 | 21,00 | 20 Ø 20 | 0,49 | 0,49 | 201,38 | 15,38 |
| 37 | 21,60 | 20 Ø 20 | 0,27 | 0,27 | 201,38 | 16,24 |
| 38 | 22,20 | 20 Ø 20 | 0,13 | 0,13 | 201,38 | 17,24 |
| 39 | 22,80 | 20 Ø 20 | 0,04 | 0,04 | 201,38 | 18,42 |
| 40 | 23,40 | 20 Ø 20 | 0,00 | 0,00 | 201,38 | 19,82 |
| 41 | 24,00 | 20 Ø 20 | 0,00 | 0,00 | 201,38 | 21,51 |

Figura 7.4: Armatura pali di fondazione

Inviluppo sollecitazioni fila di pali nr. 2

| Nr. | Y | Mmin | Mmax | Tmin | Tmax | Nmin | Nmax |
|-----|-------|-----------|----------|-----------|----------|----------|----------|
| 1 | 0,00 | 181,3618 | 428,7398 | 113,5959 | 316,5330 | 573,1742 | 968,2466 |
| 2 | 0,60 | 113,2044 | 238,8201 | 101,8106 | 304,7477 | 580,3486 | 975,0756 |
| 3 | 1,20 | 49,5258 | 67,9780 | 78,2403 | 281,1775 | 586,7922 | 980,4832 |
| 4 | 1,80 | -112,7350 | 5,1739 | 53,3516 | 245,8221 | 592,5051 | 984,4692 |
| 5 | 2,40 | -260,2283 | -26,8371 | 33,5786 | 198,6816 | 597,4872 | 987,0337 |
| 6 | 3,00 | -379,4372 | -46,9843 | 18,6224 | 139,7559 | 601,7384 | 988,1767 |
| 7 | 3,60 | -463,2908 | -58,1577 | 5,9323 | 69,0451 | 605,2589 | 987,8982 |
| 8 | 4,20 | -504,7178 | -62,9194 | -35,0211 | -4,1667 | 608,0486 | 986,1982 |
| 9 | 4,80 | -496,6473 | -60,4194 | -83,8997 | -11,4280 | 610,1076 | 983,0766 |
| 10 | 5,40 | -448,1141 | -53,5625 | -116,7900 | -15,0710 | 611,4357 | 978,5335 |
| 11 | 6,00 | -378,0401 | -44,5199 | -130,2619 | -16,1856 | 612,0330 | 972,5689 |
| 12 | 6,60 | -299,8829 | -34,8085 | -129,0223 | -15,6816 | 611,8996 | 965,1828 |
| 13 | 7,20 | -222,4695 | -25,3996 | -119,2176 | -14,2732 | 611,0354 | 956,3752 |
| 14 | 7,80 | -150,9389 | -16,8357 | -97,2536 | -11,4232 | 610,3706 | 947,9556 |
| 15 | 8,40 | -92,5868 | -9,9818 | -73,9366 | -8,5249 | 610,0284 | 940,1634 |
| 16 | 9,00 | -48,2248 | -4,8669 | -52,3638 | -5,9133 | 609,1194 | 931,2687 |
| 17 | 9,60 | -16,8065 | -0,6402 | -34,1790 | -3,7559 | 607,6437 | 921,2717 |
| 18 | 10,20 | 0,9347 | 7,6672 | -19,9899 | -2,1027 | 605,6013 | 910,1723 |
| 19 | 10,80 | 2,1963 | 16,0829 | -9,7221 | -0,9285 | 602,9922 | 897,9705 |
| 20 | 11,40 | 2,7534 | 21,5281 | -1,4177 | 0,8676 | 599,8163 | 884,6662 |
| 21 | 12,00 | 2,7536 | 22,3786 | 0,5332 | 3,9846 | 594,3994 | 870,2596 |
| 22 | 12,60 | 2,4337 | 20,2669 | 0,7791 | 5,9586 | 585,1175 | 854,7506 |
| 23 | 13,20 | 1,9662 | 16,6917 | 0,8331 | 6,6942 | 575,0311 | 838,1392 |
| 24 | 13,80 | 1,4664 | 12,6752 | 0,7730 | 6,3862 | 564,1401 | 820,4254 |

| | | |
|--|---|---|
| Cod. elab.: 101IN241-MU76-6-CL-211_B | Titolo: OPERE D'ARTE MINORI - MURI IN C.A. MU.76- Muro di controripa 77.45 mt da 0+075.39 a 0+152.97 (Tronco 41) - Relazione di calcolo | Data:Luglio 2011 Pagina 54 di 67 |
| Nome file: 101IN241-MU76-6-CL-211_B.docx | | |

PROGETTO ESECUTIVO

| | | | | | | | |
|----|-------|---------|---------|---------|---------|----------|----------|
| 25 | 14,40 | 1,0026 | 8,8435 | 0,6573 | 5,5389 | 552,4446 | 801,6092 |
| 26 | 15,00 | 0,6083 | 5,5202 | 0,5262 | 4,5069 | 539,9445 | 781,6907 |
| 27 | 15,60 | 0,2925 | 2,8160 | 0,3532 | 3,0957 | 518,8486 | 749,9943 |
| 28 | 16,20 | 0,0647 | 0,9586 | 0,2110 | 1,9059 | 496,6210 | 716,7472 |
| 29 | 16,80 | -0,3764 | -0,0460 | 0,1047 | 0,9983 | 473,2615 | 681,9493 |
| 30 | 17,40 | -0,7952 | -0,1088 | 0,0319 | 0,3677 | 448,7703 | 645,6007 |
| 31 | 18,00 | -1,0045 | -0,1284 | -0,0973 | -0,0113 | 423,1472 | 607,7012 |
| 32 | 18,60 | -0,9885 | -0,1216 | -0,2479 | -0,0338 | 396,3924 | 568,2510 |
| 33 | 19,20 | -0,8450 | -0,1014 | -0,3243 | -0,0417 | 368,5057 | 540,2940 |
| 34 | 19,80 | -0,6505 | -0,0763 | -0,3293 | -0,0407 | 339,4873 | 518,3182 |
| 35 | 20,40 | -0,4529 | -0,0519 | -0,2817 | -0,0337 | 309,3370 | 495,4287 |
| 36 | 21,00 | -0,2838 | -0,0317 | -0,2123 | -0,0247 | 278,0549 | 471,6254 |
| 37 | 21,60 | -0,1565 | -0,0169 | -0,1412 | -0,0159 | 245,6410 | 446,9083 |
| 38 | 22,20 | -0,0717 | -0,0074 | -0,0800 | -0,0086 | 212,0954 | 421,2775 |
| 39 | 22,80 | -0,0237 | -0,0022 | -0,0341 | -0,0034 | 177,4179 | 394,7328 |
| 40 | 23,40 | -0,0033 | 0,0001 | -0,0055 | 0,0002 | 141,6086 | 367,2745 |
| 41 | 24,00 | 0,0000 | 0,0000 | -0,0055 | 0,0002 | 104,6675 | 338,9023 |

Inviluppo verifiche fila di pali nr. 2

| Nr. | Y | A _f | M _u | N _u | T _u | CS |
|-----|-------|----------------|----------------|----------------|----------------|-------|
| 1 | 0,00 | 20 Ø 20 | 997,39 | 997,39 | 365,47 | 2,34 |
| 2 | 0,60 | 20 Ø 20 | 888,49 | 888,49 | 365,47 | 4,04 |
| 3 | 1,20 | 20 Ø 20 | 425,11 | 425,11 | 365,47 | 7,49 |
| 4 | 1,80 | 20 Ø 20 | 28,60 | 28,60 | 365,47 | 6,18 |
| 5 | 2,40 | 20 Ø 20 | 339,96 | 339,96 | 201,38 | 3,77 |
| 6 | 3,00 | 20 Ø 20 | 540,80 | 540,80 | 201,38 | 2,67 |
| 7 | 3,60 | 20 Ø 20 | 624,89 | 624,89 | 201,38 | 2,15 |
| 8 | 4,20 | 20 Ø 20 | 655,59 | 655,59 | 201,38 | 1,94 |
| 9 | 4,80 | 20 Ø 20 | 637,31 | 637,31 | 201,38 | 1,98 |
| 10 | 5,40 | 20 Ø 20 | 586,88 | 586,88 | 201,38 | 2,23 |
| 11 | 6,00 | 20 Ø 20 | 513,32 | 513,32 | 201,38 | 2,68 |
| 12 | 6,60 | 20 Ø 20 | 424,17 | 424,17 | 201,38 | 3,36 |
| 13 | 7,20 | 20 Ø 20 | 315,25 | 315,25 | 201,38 | 4,24 |
| 14 | 7,80 | 20 Ø 20 | 210,95 | 210,95 | 201,38 | 5,41 |
| 15 | 8,40 | 20 Ø 20 | 126,00 | 126,00 | 201,38 | 6,70 |
| 16 | 9,00 | 20 Ø 20 | 61,84 | 61,84 | 201,38 | 7,79 |
| 17 | 9,60 | 20 Ø 20 | 6,88 | 6,88 | 201,38 | 7,98 |
| 18 | 10,20 | 20 Ø 20 | 11,99 | 11,99 | 201,38 | 8,10 |
| 19 | 10,80 | 20 Ø 20 | 28,27 | 28,27 | 201,38 | 8,10 |
| 20 | 11,40 | 20 Ø 20 | 35,60 | 35,60 | 201,38 | 8,14 |
| 21 | 12,00 | 20 Ø 20 | 35,83 | 35,83 | 201,38 | 8,21 |
| 22 | 12,60 | 20 Ø 20 | 31,91 | 31,91 | 201,38 | 8,31 |
| 23 | 13,20 | 20 Ø 20 | 26,00 | 26,00 | 201,38 | 8,42 |
| 24 | 13,80 | 20 Ø 20 | 19,58 | 19,58 | 201,38 | 8,55 |
| 25 | 14,40 | 20 Ø 20 | 13,54 | 13,54 | 201,38 | 8,69 |
| 26 | 15,00 | 20 Ø 20 | 8,31 | 8,31 | 201,38 | 8,84 |
| 27 | 15,60 | 20 Ø 20 | 4,09 | 4,09 | 201,38 | 9,08 |
| 28 | 16,20 | 20 Ø 20 | 0,79 | 0,79 | 201,38 | 9,34 |
| 29 | 16,80 | 20 Ø 20 | 0,68 | 0,68 | 201,38 | 9,62 |
| 30 | 17,40 | 20 Ø 20 | 1,65 | 1,65 | 201,38 | 9,93 |
| 31 | 18,00 | 20 Ø 20 | 2,01 | 2,01 | 201,38 | 10,27 |
| 32 | 18,60 | 20 Ø 20 | 1,97 | 1,97 | 201,38 | 10,66 |
| 33 | 19,20 | 20 Ø 20 | 1,70 | 1,70 | 201,38 | 11,10 |
| 34 | 19,80 | 20 Ø 20 | 1,33 | 1,33 | 201,38 | 11,59 |
| 35 | 20,40 | 20 Ø 20 | 0,95 | 0,95 | 201,38 | 12,16 |
| 36 | 21,00 | 20 Ø 20 | 0,61 | 0,61 | 201,38 | 12,80 |
| 37 | 21,60 | 20 Ø 20 | 0,34 | 0,34 | 201,38 | 13,55 |
| 38 | 22,20 | 20 Ø 20 | 0,16 | 0,16 | 201,38 | 14,41 |

| | | |
|--|---|-------------------------------------|
| Cod. elab.: 101IN241-MU76-6-CL-211_B | Titolo: OPERE D'ARTE MINORI - MURI IN C.A. MU.76- Muro di controripa 77.45 mt da 0+075.39 a 0+152.97 (Tronco 41) - Relazione di calcolo | Data:Luglio 2011 Pagina 55 di 67 |
| Nome file: 101IN241-MU76-6-CL-211_B.docx | | |

| | | | | | | |
|----|-------|---------|------|------|--------|-------|
| 39 | 22,80 | 20 Ø 20 | 0,05 | 0,05 | 201,38 | 15,43 |
| 40 | 23,40 | 20 Ø 20 | 0,00 | 0,00 | 201,38 | 16,65 |
| 41 | 24,00 | 20 Ø 20 | 0,00 | 0,00 | 201,38 | 18,12 |

8 MURO DI SOSTEGNO Hmax = 3,50 (TIPO 3)

A seguire si riportano le verifiche di sicurezza globale e strutturale relative alla tipologia di muro individuata come tipologico 3, in accordo con la notazione degli elaborati grafici esecutivi dell'opera, cui si rimanda per ulteriori dettagli tecnici.

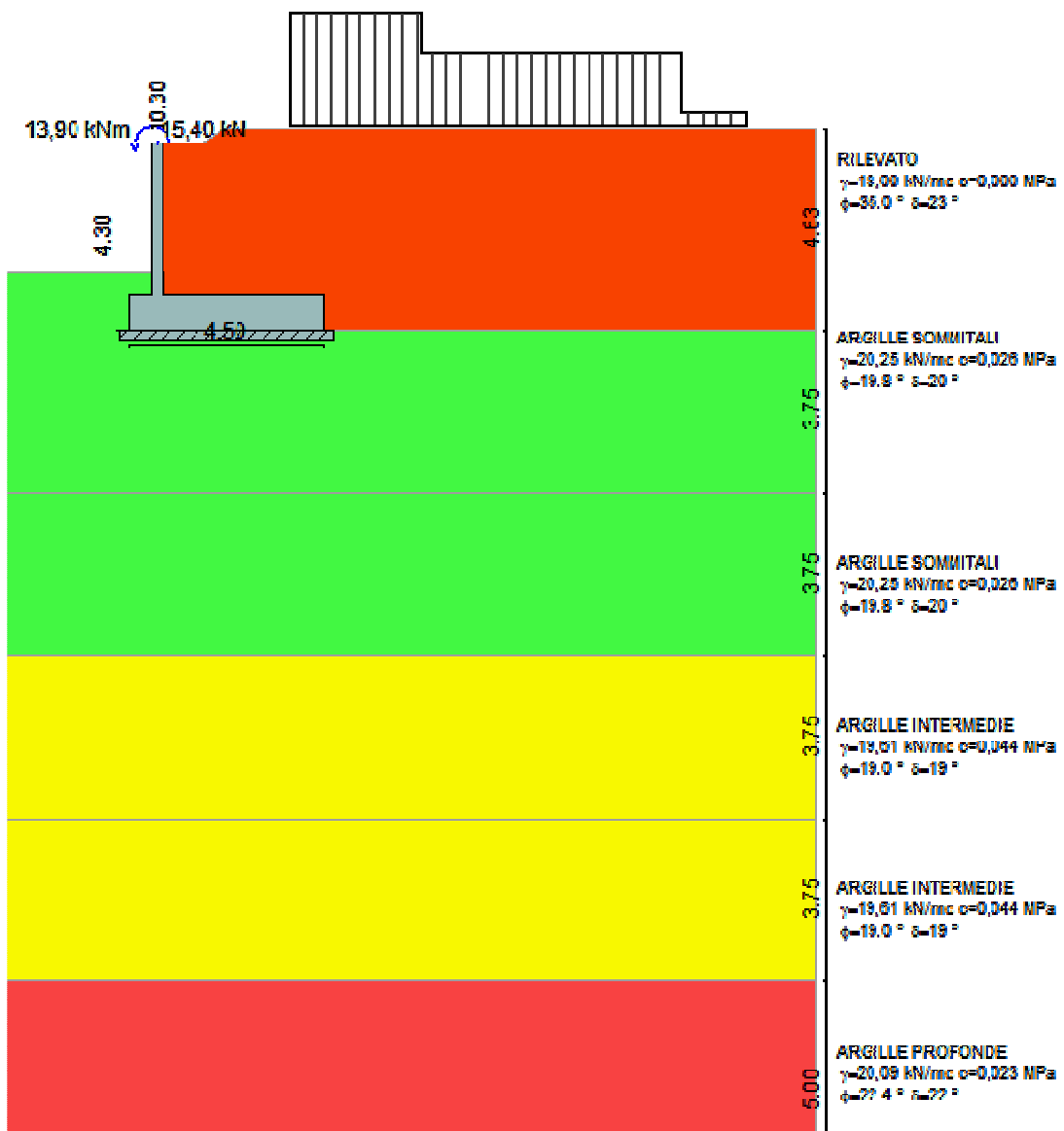


Figura 8.1: Modello di calcolo muri tipo 3

| | | |
|--|---|------------------|
| Cod. elab.: 101IN241-MU76-6-CL-211_B | Titolo: OPERE D'ARTE MINORI - MURI IN C.A. MU.76- Muro di controripa 77.45 mt da 0+075.39 a 0+152.97 (Tronco 41) - Relazione di calcolo | Data:Luglio 2011 |
| Nome file: 101IN241-MU76-6-CL-211_B.docx | | Pagina 56 di 67 |

8.1 Geometria muro e fondazione

Descrizione Muro a mensola in c.a.

| | |
|--|----------|
| Altezza del paramento | 3,50 [m] |
| Spessore in sommità | 0,30 [m] |
| Spessore all'attacco con la fondazione | 0,30 [m] |
| Inclinazione paramento esterno | 0,00 [°] |
| Inclinazione paramento interno | 0,00 [°] |
| Lunghezza del muro | 7,20 [m] |

Fondazione

| | |
|---|----------|
| Lunghezza mensola fondazione di valle | 0,50 [m] |
| Lunghezza mensola fondazione di monte | 3,70 [m] |
| Lunghezza totale fondazione | 4,50 [m] |
| Inclinazione piano di posa della fondazione | 0,00 [°] |
| Spessore fondazione | 0,80 [m] |
| Spessore magrone | 0,20 [m] |

Geometria profilo terreno a monte del muro

(Sistema di riferimento con origine in testa al muro, ascissa X positiva verso monte, ordinata Y positiva verso l'alto)

N numero ordine del punto

X ascissa del punto espressa in [m]

Y ordinata del punto espressa in [m]

A inclinazione del tratto espressa in [°]

| N | X | Y | A |
|---|-------|------|-------|
| 1 | 0,90 | 0,00 | 0,00 |
| 2 | 1,40 | 0,33 | 33,42 |
| 3 | 15,00 | 0,33 | 0,00 |

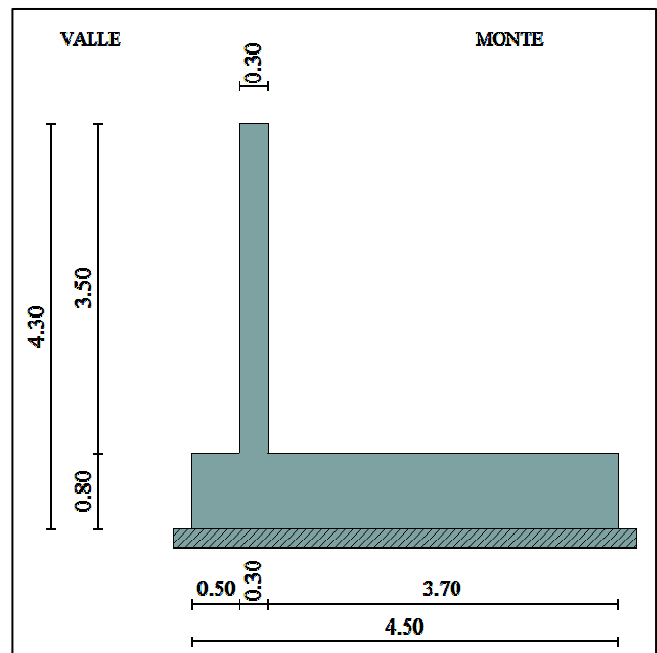


Figura 8.2: Geometria muri tipo 3

8.2 Condizioni di carico

Carichi verticali positivi verso il basso.

Carichi orizzontali positivi verso sinistra.

Momento positivo senso antiorario.

X Ascissa del punto di applicazione del carico concentrato espressa in [m]

F_x Componente orizzontale del carico concentrato espressa in [kN]

F_y Componente verticale del carico concentrato espressa in [kN]

M Momento espresso in [kNm]

X_i Ascissa del punto iniziale del carico ripartito espressa in [m]

X_f Ascissa del punto finale del carico ripartito espressa in [m]

Q_i Intensità del carico per $x=X_i$ espressa in [kN/m]

Q_f Intensità del carico per $x=X_f$ espressa in [kN/m]

D / C Tipo carico : D=distribuito C=concentrato

Condizione n° 1 (PERMANENTI)

D Profilo $X_i=2,90$ $X_f=13,40$ $Q_i=4,0000$ $Q_f=4,0000$

Condizione n° 2 (MOBILI)

C Paramento $X_i=-0,25$ $Y=0,00$ $F_x=15,4000$ $F_y=0,0000$ $M=13,9000$

| | | |
|---|---|-------------------------|
| <i>Cod. elab.: 101IN241-MU76-6-CL-211_B</i> | <i>Titolo: OPERE D'ARTE MINORI - MURI IN C.A.</i> | <i>Data:Luglio 2011</i> |
| <i>Nome file: 101IN241-MU76-6-CL-211_B.docx</i> | <i>MU.76- Muro di controripa 77.45 mt da 0+075.39 a 0+152.97</i> <i>(Tronco 41) - Relazione di calcolo</i> | <i>Pagina 57 di 67</i> |

| | | | | | |
|---|---------|----------------------|-----------------------|-------------------------|-------------------------|
| D | Profilo | X _i =2,90 | X _f =5,90 | Q _i =33,4000 | Q _f =33,4000 |
| D | Profilo | X _i =5,90 | X _f =11,90 | Q _i =20,0000 | Q _f =20,0000 |

8.3 Combinazioni di carico

F/S Effetto dell'azione (FAV: Favorevole, SFAV: Sfavorevole)

γ Coefficiente di partecipazione della condizione

Ψ Coefficiente di combinazione della condizione

Combinazione n° 1 - Caso A1-M1 (STR)

| | S/F | γ | Ψ | $\gamma * \Psi$ |
|-------------------------|------|----------|--------|-----------------|
| Peso proprio muro | FAV | 1,00 | 1.00 | 1,00 |
| Peso proprio terrapieno | FAV | 1,00 | 1.00 | 1,00 |
| Spinta terreno | SFAV | 1,35 | 1.00 | 1,35 |
| PERMANENTI | SFAV | 1,35 | 1.00 | 1,35 |

Combinazione n° 2 - Caso A2-M2 (GEO)

| | S/F | γ | Ψ | $\gamma * \Psi$ |
|-------------------------|------|----------|--------|-----------------|
| Peso proprio muro | SFAV | 1,00 | 1.00 | 1,00 |
| Peso proprio terrapieno | SFAV | 1,00 | 1.00 | 1,00 |
| Spinta terreno | SFAV | 1,00 | 1.00 | 1,00 |
| PERMANENTI | SFAV | 1,00 | 1.00 | 1,00 |

Combinazione n° 3 - Caso EQU (SLU)

| | S/F | γ | Ψ | $\gamma * \Psi$ |
|-------------------------|------|----------|--------|-----------------|
| Peso proprio muro | FAV | 0,90 | 1.00 | 0,90 |
| Peso proprio terrapieno | FAV | 0,90 | 1.00 | 0,90 |
| Spinta terreno | SFAV | 1,10 | 1.00 | 1,10 |
| PERMANENTI | SFAV | 1,10 | 1.00 | 1,10 |

Combinazione n° 4 - Caso A2-M2 (GEO-STAB)

| | S/F | γ | Ψ | $\gamma * \Psi$ |
|-------------------------|------|----------|--------|-----------------|
| Peso proprio muro | SFAV | 1,00 | 1.00 | 1,00 |
| Peso proprio terrapieno | SFAV | 1,00 | 1.00 | 1,00 |
| Spinta terreno | SFAV | 1,00 | 1.00 | 1,00 |
| PERMANENTI | SFAV | 1,00 | 1.00 | 1,00 |

Combinazione n° 5 - Caso A1-M1 (STR)

| | S/F | γ | Ψ | $\gamma * \Psi$ |
|-------------------------|------|----------|--------|-----------------|
| Peso proprio muro | FAV | 1,00 | 1.00 | 1,00 |
| Peso proprio terrapieno | FAV | 1,00 | 1.00 | 1,00 |
| Spinta terreno | SFAV | 1,35 | 1.00 | 1,35 |
| PERMANENTI | SFAV | 1,35 | 1.00 | 1,35 |
| MOBILI | SFAV | 1,35 | 1.00 | 1,35 |

Combinazione n° 6 - Caso A2-M2 (GEO)

| | S/F | γ | Ψ | $\gamma * \Psi$ |
|-------------------------|------|----------|--------|-----------------|
| Peso proprio muro | SFAV | 1,00 | 1.00 | 1,00 |
| Peso proprio terrapieno | SFAV | 1,00 | 1.00 | 1,00 |
| Spinta terreno | SFAV | 1,00 | 1.00 | 1,00 |
| PERMANENTI | SFAV | 1,00 | 1.00 | 1,00 |
| MOBILI | SFAV | 1,15 | 1.00 | 1,15 |

Combinazione n° 7 - Caso EQU (SLU)

| | S/F | γ | Ψ | $\gamma * \Psi$ |
|-------------------------|-----|----------|--------|-----------------|
| Peso proprio muro | FAV | 0,90 | 1.00 | 0,90 |
| Peso proprio terrapieno | FAV | 0,90 | 1.00 | 0,90 |

| | | |
|--|---|------------------|
| Cod. elab.: 101IN241-MU76-6-CL-211_B | Titolo: OPERE D'ARTE MINORI - MURI IN C.A. MU.76- Muro di controripa 77.45 mt da 0+075.39 a 0+152.97 (Tronco 41) - Relazione di calcolo | Data:Luglio 2011 |
| Nome file: 101IN241-MU76-6-CL-211_B.docx | | Pagina 58 di 67 |

| | | | | |
|----------------|------|------|------|------|
| Spinta terreno | SFAV | 1,10 | 1.00 | 1,10 |
| PERMANENTI | SFAV | 1,10 | 1.00 | 1,10 |
| MOBILI | SFAV | 1,35 | 1.00 | 1,35 |

Combinazione n° 8 - Caso A2-M2 (GEO-STAB)

| | S/F | γ | Ψ | γ * Ψ |
|-------------------------|------------|----------|----------|--------------|
| Peso proprio muro | SFAV | 1,00 | 1.00 | 1,00 |
| Peso proprio terrapieno | SFAV | 1,00 | 1.00 | 1,00 |
| Spinta terreno | SFAV | 1,00 | 1.00 | 1,00 |
| PERMANENTI | SFAV | 1,00 | 1.00 | 1,00 |
| MOBILI | SFAV | 1,15 | 1.00 | 1,15 |

Combinazione n° 9 - Caso A1-M1 (STR) - Sisma Vert. positivo

| | S/F | γ | Ψ | γ * Ψ |
|-------------------------|------------|----------|----------|--------------|
| Peso proprio muro | SFAV | 1,00 | 1.00 | 1,00 |
| Peso proprio terrapieno | SFAV | 1,00 | 1.00 | 1,00 |
| Spinta terreno | SFAV | 1,00 | 1.00 | 1,00 |
| PERMANENTI | SFAV | 1,00 | 1.00 | 1,00 |

Combinazione n° 10 - Caso A1-M1 (STR) - Sisma Vert. negativo

| | S/F | γ | Ψ | γ * Ψ |
|-------------------------|------------|----------|----------|--------------|
| Peso proprio muro | SFAV | 1,00 | 1.00 | 1,00 |
| Peso proprio terrapieno | SFAV | 1,00 | 1.00 | 1,00 |
| Spinta terreno | SFAV | 1,00 | 1.00 | 1,00 |
| PERMANENTI | SFAV | 1,00 | 1.00 | 1,00 |

Combinazione n° 11 - Caso A2-M2 (GEO) - Sisma Vert. positivo

| | S/F | γ | Ψ | γ * Ψ |
|-------------------------|------------|----------|----------|--------------|
| Peso proprio muro | SFAV | 1,00 | 1.00 | 1,00 |
| Peso proprio terrapieno | SFAV | 1,00 | 1.00 | 1,00 |
| Spinta terreno | SFAV | 1,00 | 1.00 | 1,00 |
| PERMANENTI | SFAV | 1,00 | 1.00 | 1,00 |

Combinazione n° 12 - Caso A2-M2 (GEO) - Sisma Vert. negativo

| | S/F | γ | Ψ | γ * Ψ |
|-------------------------|------------|----------|----------|--------------|
| Peso proprio muro | SFAV | 1,00 | 1.00 | 1,00 |
| Peso proprio terrapieno | SFAV | 1,00 | 1.00 | 1,00 |
| Spinta terreno | SFAV | 1,00 | 1.00 | 1,00 |
| PERMANENTI | SFAV | 1,00 | 1.00 | 1,00 |

Combinazione n° 13 - Caso EQU (SLU) - Sisma Vert. positivo

| | S/F | γ | Ψ | γ * Ψ |
|-------------------------|------------|----------|----------|--------------|
| Peso proprio muro | FAV | 1,00 | 1.00 | 1,00 |
| Peso proprio terrapieno | FAV | 1,00 | 1.00 | 1,00 |
| Spinta terreno | SFAV | 1,00 | 1.00 | 1,00 |
| PERMANENTI | SFAV | 1,00 | 1.00 | 1,00 |

Combinazione n° 14 - Caso EQU (SLU) - Sisma Vert. negativo

| | S/F | γ | Ψ | γ * Ψ |
|-------------------------|------------|----------|----------|--------------|
| Peso proprio muro | FAV | 1,00 | 1.00 | 1,00 |
| Peso proprio terrapieno | FAV | 1,00 | 1.00 | 1,00 |
| Spinta terreno | SFAV | 1,00 | 1.00 | 1,00 |
| PERMANENTI | SFAV | 1,00 | 1.00 | 1,00 |

Combinazione n° 15 - Caso A2-M2 (GEO-STAB) - Sisma Vert. positivo

| | S/F | γ | Ψ | γ * Ψ |
|-------------------------|------------|----------|----------|--------------|
| Peso proprio muro | SFAV | 1,00 | 1.00 | 1,00 |
| Peso proprio terrapieno | SFAV | 1,00 | 1.00 | 1,00 |
| Spinta terreno | SFAV | 1,00 | 1.00 | 1,00 |

| | | |
|---|---|-------------------------|
| <i>Cod. elab.: 101IN241-MU76-6-CL-211_B</i> | <i>Titolo: OPERE D'ARTE MINORI - MURI IN C.A.</i> | <i>Data:Luglio 2011</i> |
| <i>Nome file: 101IN241-MU76-6-CL-211_B.docx</i> | <i>MU.76- Muro di controripa 77.45 mt da 0+075.39 a 0+152.97 (Tronco 41) - Relazione di calcolo</i> | <i>Pagina 59 di 67</i> |

| | | | | |
|------------|------|------|------|------|
| PERMANENTI | SFAV | 1.00 | 1.00 | 1.00 |
|------------|------|------|------|------|

Combinazione n° 16 - Caso A2-M2 (GEO-STAB) - Sisma Vert. negativo

| | S/F | γ | Ψ | γ * Ψ |
|-------------------------|------------|----------|----------|--------------|
| Peso proprio muro | SFAV | 1,00 | 1.00 | 1,00 |
| Peso proprio terrapieno | SFAV | 1,00 | 1.00 | 1,00 |
| Spinta terreno | SFAV | 1,00 | 1.00 | 1,00 |
| PERMANENTI | SFAV | 1.00 | 1.00 | 1.00 |

Combinazione n° 17 - Caso A1-M1 (STR) - Sisma Vert. positivo

| | S/F | γ | Ψ | γ * Ψ |
|-------------------------|------------|----------|----------|--------------|
| Peso proprio muro | FAV | 1,00 | 1.00 | 1,00 |
| Peso proprio terrapieno | FAV | 1,00 | 1.00 | 1,00 |
| Spinta terreno | SFAV | 1,00 | 1.00 | 1,00 |
| PERMANENTI | SFAV | 1.00 | 1.00 | 1.00 |

Combinazione n° 18 - Quasi Permanente (SLE)

| | S/F | γ | Ψ | γ * Ψ |
|-------------------------|------------|----------|----------|--------------|
| Peso proprio muro | -- | 1,00 | 1.00 | 1,00 |
| Peso proprio terrapieno | -- | 1,00 | 1.00 | 1,00 |
| Spinta terreno | -- | 1,00 | 1.00 | 1,00 |
| PERMANENTI | SFAV | 1.00 | 1.00 | 1.00 |

Combinazione n° 19 - Frequente (SLE)

| | S/F | γ | Ψ | γ * Ψ |
|-------------------------|------------|----------|----------|--------------|
| Peso proprio muro | -- | 1,00 | 1.00 | 1,00 |
| Peso proprio terrapieno | -- | 1,00 | 1.00 | 1,00 |
| Spinta terreno | -- | 1,00 | 1.00 | 1,00 |
| PERMANENTI | SFAV | 1.00 | 1.00 | 1.00 |
| MOBILI | SFAV | 1.00 | 0.75 | 0.75 |

Combinazione n° 20 - Rara (SLE)

| | S/F | γ | Ψ | γ * Ψ |
|-------------------------|------------|----------|----------|--------------|
| Peso proprio muro | -- | 1,00 | 1.00 | 1,00 |
| Peso proprio terrapieno | -- | 1,00 | 1.00 | 1,00 |
| Spinta terreno | -- | 1,00 | 1.00 | 1,00 |
| PERMANENTI | SFAV | 1.00 | 1.00 | 1.00 |
| MOBILI | SFAV | 1.00 | 1.00 | 1.00 |

8.4 Stabilità globale muro + terreno

Combinazione n° 8

Le ascisse X sono considerate positive verso monte

Le ordinate Y sono considerate positive verso l'alto

Origine in testa al muro (spigolo contro terra)

W peso della striscia espresso in [kN]

α angolo fra la base della striscia e l'orizzontale espresso in [°] (positivo antiorario)

φ angolo d'attrito del terreno lungo la base della striscia

c coesione del terreno lungo la base della striscia espressa in [MPa]

b larghezza della striscia espressa in [m]

u pressione neutra lungo la base della striscia espressa in [MPa]

Metodo di Bishop

Numero di cerchi analizzati 36

Numero di strisce 25

Cerchio critico

Coordinate del centro X[m]= 0,00 Y[m]= 2,64

| | | |
|---|---|-------------------------|
| <i>Cod. elab.: 101IN241-MU76-6-CL-211_B</i> | <i>Titolo: OPERE D'ARTE MINORI - MURI IN C.A.</i> | <i>Data:Luglio 2011</i> |
| <i>Nome file: 101IN241-MU76-6-CL-211_B.docx</i> | <i>MU.76- Muro di controripa 77.45 mt da 0+075.39 a 0+152.97 (Tronco 41) - Relazione di calcolo</i> | <i>Pagina 60 di 67</i> |

Raggio del cerchio R[m]= 7,87
 Ascissa a valle del cerchio Xi[m]= -5,49
 Ascissa a monte del cerchio Xs[m]= 7,53
 Larghezza della striscia dx[m]= 0,52
 Coefficiente di sicurezza C= 1.96
 Le strisce sono numerate da monte verso valle

Caratteristiche delle strisce

| Striscia | W | $\alpha(^{\circ})$ | Wsina | b/cos α | ϕ | c | u |
|----------|---------|--------------------|---------|----------------|--------|-------|-------|
| 1 | 2038.52 | 67.63 | 1885.10 | 1.37 | 29.26 | 0.000 | 0.000 |
| 2 | 3061.38 | 59.24 | 2630.61 | 1.02 | 29.26 | 0.000 | 0.000 |
| 3 | 3802.89 | 52.42 | 3013.64 | 0.85 | 29.26 | 0.000 | 0.000 |
| 4 | 5105.42 | 46.55 | 3706.22 | 0.76 | 29.26 | 0.000 | 0.000 |
| 5 | 5688.39 | 41.26 | 3751.73 | 0.69 | 29.26 | 0.000 | 0.000 |
| 6 | 6090.17 | 36.38 | 3612.74 | 0.65 | 29.26 | 0.000 | 0.000 |
| 7 | 6427.87 | 31.80 | 3386.91 | 0.61 | 29.26 | 0.000 | 0.000 |
| 8 | 6910.63 | 27.43 | 3183.28 | 0.59 | 20.92 | 0.135 | 0.000 |
| 9 | 7014.31 | 23.23 | 2766.26 | 0.57 | 16.03 | 0.214 | 0.000 |
| 10 | 5234.67 | 19.15 | 1717.62 | 0.55 | 16.03 | 0.214 | 0.000 |
| 11 | 5405.27 | 15.18 | 1415.54 | 0.54 | 16.03 | 0.214 | 0.000 |
| 12 | 5526.15 | 11.28 | 1081.15 | 0.53 | 16.03 | 0.214 | 0.000 |
| 13 | 5396.70 | 7.44 | 698.37 | 0.53 | 16.03 | 0.214 | 0.000 |
| 14 | 5363.43 | 3.62 | 338.83 | 0.52 | 16.03 | 0.214 | 0.000 |
| 15 | 6050.38 | -0.18 | -18.50 | 0.52 | 16.03 | 0.214 | 0.000 |
| 16 | 2588.55 | -3.97 | -179.36 | 0.52 | 16.03 | 0.214 | 0.000 |
| 17 | 2153.91 | -7.79 | -291.90 | 0.53 | 16.03 | 0.214 | 0.000 |
| 18 | 2057.93 | -11.64 | -415.20 | 0.53 | 16.03 | 0.214 | 0.000 |
| 19 | 1922.36 | -15.55 | -515.19 | 0.54 | 16.03 | 0.214 | 0.000 |
| 20 | 1745.17 | -19.53 | -583.31 | 0.55 | 16.03 | 0.214 | 0.000 |
| 21 | 1523.49 | -23.61 | -610.15 | 0.57 | 16.03 | 0.214 | 0.000 |
| 22 | 1256.86 | -27.82 | -586.64 | 0.59 | 22.16 | 0.115 | 0.000 |
| 23 | 963.98 | -32.21 | -513.83 | 0.62 | 29.26 | 0.000 | 0.000 |
| 24 | 620.84 | -36.82 | -372.09 | 0.65 | 29.26 | 0.000 | 0.000 |
| 25 | 212.48 | -41.73 | -141.44 | 0.70 | 29.26 | 0.000 | 0.000 |

$\Sigma W_i = 923,4260$ [kN]

$\Sigma W_i \sin \alpha_i = 284,0087$ [kN]

$\Sigma W_i \tan \phi_i = 364,1916$ [kN]

$\Sigma \tan \alpha_i \tan \phi_i = 3.57$

Riepilogo di tutte le combinazioni

| | |
|-------------|---|
| C | Identificativo della combinazione |
| Tipo | Tipo combinazione |
| Sisma | Combinazione sismica |
| CS_{SCO} | Coeff. di sicurezza allo scorrimento |
| CS_{RIB} | Coeff. di sicurezza al ribaltamento |
| CS_{QLIM} | Coeff. di sicurezza a carico limite |
| CS_{STAB} | Coeff. di sicurezza a stabilità globale |

| C | Tipo | Sisma | cs_{SCO} | cs_{rib} | cs_{qlim} | cs_{stab} |
|---|-------------|-------|------------|------------|-------------|-------------|
| 1 | A1-M1 - [1] | -- | 2,46 | -- | 6,54 | -- |
| 2 | A2-M2 - [1] | -- | 2,04 | -- | 4,28 | -- |
| 3 | EQU - [1] | -- | -- | 8,40 | -- | -- |
| 4 | STAB - [1] | -- | -- | -- | -- | 2,57 |
| 5 | A1-M1 - [2] | -- | 1,36 | -- | 3,59 | -- |
| 6 | A2-M2 - [2] | -- | 1,09 | -- | 2,22 | -- |
| 7 | EQU - [2] | -- | -- | 3,10 | -- | -- |

| | | |
|---|---|-------------------------|
| <i>Cod. elab.: 101IN241-MU76-6-CL-211_B</i> | <i>Titolo: OPERE D'ARTE MINORI - MURI IN C.A.</i> | <i>Data:Luglio 2011</i> |
| <i>Nome file: 101IN241-MU76-6-CL-211_B.docx</i> | <i>MU.76- Muro di controripa 77.45 mt da 0+075.39 a 0+152.97</i> <i>(Tronco 41) - Relazione di calcolo</i> | <i>Pagina 61 di 67</i> |

| | | | | | | |
|----|-------------|----------------------------------|------|------|------|------|
| 8 | STAB - [2] | -- | -- | -- | -- | 1,97 |
| 9 | A1-M1 - [3] | Orizzontale + Verticale positivo | 2,37 | -- | 6,46 | -- |
| 10 | A1-M1 - [3] | Orizzontale + Verticale negativo | 2,35 | -- | 6,69 | -- |
| 11 | A2-M2 - [3] | Orizzontale + Verticale positivo | 1,55 | -- | 3,55 | -- |
| 12 | A2-M2 - [3] | Orizzontale + Verticale negativo | 1,54 | -- | 3,68 | -- |
| 13 | EQU - [3] | Orizzontale + Verticale positivo | -- | 7,09 | -- | -- |
| 14 | EQU - [3] | Orizzontale + Verticale negativo | -- | 6,42 | -- | -- |
| 15 | STAB - [3] | Orizzontale + Verticale positivo | -- | -- | -- | 2,30 |
| 16 | STAB - [3] | Orizzontale + Verticale negativo | -- | -- | -- | 2,33 |
| 17 | A1-M1 - [4] | Orizzontale + Verticale positivo | 2,37 | -- | 6,46 | -- |
| 18 | SLEQ - [1] | -- | 3,32 | -- | 7,28 | -- |
| 19 | SLEF - [1] | -- | 1,99 | -- | 5,37 | -- |
| 20 | SLER - [1] | -- | 1,77 | -- | 4,77 | -- |

8.5 Inviluppo sollecitazioni paramento

L'ordinata Y(espressa in [m]) è considerata positiva verso il basso con origine in testa al muro

Momento positivo se tende le fibre contro terra (a monte), espresso in [kNm]

Sforzo normale positivo di compressione, espresso in [kN]

Taglio positivo se diretto da monte verso valle, espresso in [kN]

Inviluppo combinazioni SLU

| Nr. | Y | Nmin | Nmax | Mmin | Mmax | Tmin | Tmax |
|-----|------|---------|---------|---------|----------|---------|---------|
| 1 | 0,35 | 2,7352 | 2,8771 | 0,0174 | 26,0589 | 0,3193 | 21,1240 |
| 2 | 0,88 | 7,2511 | 7,6059 | 0,4738 | 37,4301 | 1,9954 | 22,8776 |
| 3 | 1,40 | 12,3290 | 12,8967 | 2,1286 | 50,0191 | 5,2283 | 26,1421 |
| 4 | 1,92 | 18,0956 | 19,0572 | 5,9182 | 64,7040 | 9,6708 | 31,4996 |
| 5 | 2,45 | 24,3832 | 26,0634 | 12,1530 | 82,5802 | 15,4145 | 38,6138 |
| 6 | 2,97 | 31,1781 | 33,7352 | 21,5680 | 104,4978 | 22,3011 | 47,2708 |
| 7 | 3,50 | 38,4657 | 42,4936 | 34,8225 | 131,2971 | 30,2960 | 59,9901 |

Inviluppo combinazioni SLE

| Nr. | Y | Nmin | Nmax | Mmin | Mmax | Tmin | Tmax |
|-----|------|---------|---------|---------|---------|---------|---------|
| 1 | 0,35 | 2,7317 | 2,7317 | 0,0129 | 19,3029 | 0,2474 | 15,6474 |
| 2 | 0,88 | 7,2296 | 7,2296 | 0,3510 | 27,7260 | 1,5464 | 16,9464 |
| 3 | 1,40 | 12,2101 | 12,2101 | 1,5912 | 37,0512 | 3,9645 | 19,3645 |
| 4 | 1,92 | 17,8595 | 17,8595 | 4,3839 | 47,9289 | 7,9330 | 23,3330 |
| 5 | 2,45 | 24,0701 | 24,0701 | 9,5405 | 61,1705 | 13,2028 | 28,6028 |
| 6 | 2,97 | 30,7738 | 30,7738 | 17,6908 | 77,4058 | 19,6154 | 35,0154 |
| 7 | 3,50 | 37,9555 | 38,2823 | 29,4317 | 97,2571 | 27,1365 | 43,2941 |

8.6 Inviluppo sollecitazioni piastra di fondazione

Lato valle

L'ascissa X(espressa in m) è considerata positiva verso monte con origine in corrispondenza dell'estremo libero della fondazione di valle

Momento positivo se tende le fibre inferiori, espresso in [kNm]

Taglio positivo se diretto verso l'alto, espresso in [kN]

Inviluppo combinazioni SLU

| Nr. | X | Mmin | Mmax | Tmin | Tmax |
|-----|------|--------|---------|---------|---------|
| 1 | 0,05 | 0,0636 | 0,1411 | 2,5454 | 5,6351 |
| 2 | 0,20 | 1,0198 | 2,2372 | 10,2120 | 22,2370 |
| 3 | 0,35 | 3,1295 | 6,7894 | 17,9241 | 38,3839 |
| 4 | 0,50 | 6,3994 | 13,7296 | 25,6819 | 54,0756 |

| | | |
|--|---|---|
| Cod. elab.: 101IN241-MU76-6-CL-211_B | Titolo: OPERE D'ARTE MINORI - MURI IN C.A. MU.76- Muro di controripa 77.45 mt da 0+075.39 a 0+152.97 (Tronco 41) - Relazione di calcolo | Data:Luglio 2011 Pagina 62 di 67 |
| Nome file: 101IN241-MU76-6-CL-211_B.docx | | |

Inviluppo combinazioni SLE

| Nr. | X | Mmin | Mmax | Tmin | Tmax |
|-----|------|--------|---------|---------|---------|
| 1 | 0,05 | 0,0621 | 0,1161 | 2,4861 | 4,6403 |
| 2 | 0,20 | 0,9972 | 1,8461 | 9,9939 | 18,3816 |
| 3 | 0,35 | 3,0640 | 5,6171 | 17,5760 | 31,8534 |
| 4 | 0,50 | 6,2737 | 11,3887 | 25,2324 | 45,0559 |

Lato monte

L'ascissa X(espressa in m) è considerata positiva verso valle con origine in corrispondenza dell'estremo libero della fondazione di monte
Momento positivo se tende le fibre inferiori, espresso in [kNm]
Taglio positivo se diretto verso l'alto, espresso in [kN]

Inviluppo combinazioni SLU

| Nr. | X | Mmin | Mmax | Tmin | Tmax |
|-----|------|-----------|----------|-----------|---------|
| 1 | 0,37 | -6,9650 | -0,2818 | -37,2243 | -1,5386 |
| 2 | 1,48 | -92,2297 | -3,8535 | -99,2860 | -3,9795 |
| 3 | 2,59 | -214,1676 | -9,0007 | -116,0457 | -5,0185 |
| 4 | 3,70 | -337,4829 | -12,4164 | -102,0154 | 2,7759 |

Inviluppo combinazioni SLE

| Nr. | X | Mmin | Mmax | Tmin | Tmax |
|-----|------|-----------|--------|----------|--------|
| 1 | 0,37 | -3,8000 | 0,0873 | -20,2672 | 0,3965 |
| 2 | 1,48 | -47,3007 | 0,9836 | -45,8017 | 1,5941 |
| 3 | 2,59 | -96,5153 | 2,5389 | -40,0019 | 0,9429 |
| 4 | 3,70 | -127,7656 | 4,4523 | -13,6173 | 2,0554 |

8.7 Inviluppo armature e tensioni nei materiali del muro

L'ordinata Y(espressa in [m]) è considerata positiva verso il basso con origine in testa al muro

| | |
|-----------------|---|
| B | base della sezione espressa in [m] |
| H | altezza della sezione espressa in [m] |
| A _{fs} | area di armatura in corrispondenza del lembo di monte in [mq] |
| A _{fi} | area di armatura in corrispondenza del lembo di valle in [mq] |
| σ _c | tensione nel calcestruzzo espressa in [MPa] |
| τ _c | tensione tangenziale nel calcestruzzo espressa in [MPa] |
| σ _{fs} | tensione nell'armatura disposta sul lembo di monte in [MPa] |
| σ _{fi} | tensione nell'armatura disposta sul lembo di valle in [MPa] |
| N _u | sforzo normale ultimo espresso in [kN] |
| M _u | momento ultimo espresso in [kNm] |
| CS | coefficiente sicurezza sezione |
| VRcd | Aliquota di taglio assorbito dal cls, espresso in [kN] |
| VRsd | Aliquota di taglio assorbito dall'armatura, espresso in [kN] |
| VRd | Resistenza al taglio, espresso in [kN] |

Inviluppo SLU

| Nr. | Y | B, H | A _{fs} | A _{fi} | N _u | M _u | CS | V _{Rd} | V _{Red} | V _{Rsd} |
|-----|------|------------|-----------------|-----------------|----------------|----------------|------|-----------------|------------------|------------------|
| 1 | 0,35 | 1,00, 0,30 | 5 Ø 20 | 5 Ø 16 | 14,87 | -25,72 | 5,37 | 134,56 | -- | -- |
| 2 | 0,88 | 1,00, 0,30 | 5 Ø 20 | 5 Ø 16 | 28,16 | -141,22 | 3,77 | 135,13 | -- | -- |
| 3 | 1,40 | 1,00, 0,30 | 5 Ø 20 | 5 Ø 16 | 36,37 | -142,02 | 2,84 | 135,79 | -- | -- |
| 4 | 1,92 | 1,00, 0,30 | 5 Ø 20 | 5 Ø 16 | 41,99 | -142,56 | 2,20 | 136,52 | -- | -- |
| 5 | 2,45 | 1,00, 0,30 | 5 Ø 20 | 5 Ø 16 | 41,99 | -142,56 | 1,73 | 183,79 | -- | -- |
| 6 | 2,97 | 1,00, 0,30 | 5 Ø 20 | 5 Ø 16 | 41,99 | -142,56 | 1,36 | 184,64 | -- | -- |
| 7 | 3,50 | 1,00, 0,30 | 5 Ø 24 | 5 Ø 16 | 64,23 | -198,47 | 1,51 | 156,43 | -- | -- |

| | | |
|--|---|---|
| Cod. elab.: 101IN241-MU76-6-CL-211_B | Titolo: OPERE D'ARTE MINORI - MURI IN C.A. MU.76- Muro di controripa 77.45 mt da 0+075.39 a 0+152.97 (Tronco 41) - Relazione di calcolo | Data:Luglio 2011 Pagina 63 di 67 |
| Nome file: 101IN241-MU76-6-CL-211_B.docx | | |

Inviluppo SLE

| Nr. | Y | B, H | A _{fs} | A _{fi} | σ _c | τ _c | σ _{fs} | σ _{fi} |
|-----|------|------------|-----------------|-----------------|----------------|----------------|-----------------|-----------------|
| 1 | 0,35 | 1,00, 0,30 | 5 Ø 20 | 5 Ø 16 | 1,857 | 0,074 | 55,109 | -11,268 |
| 2 | 0,88 | 1,00, 0,30 | 5 Ø 20 | 5 Ø 16 | 2,674 | 0,080 | 78,111 | -16,461 |
| 3 | 1,40 | 1,00, 0,30 | 5 Ø 20 | 5 Ø 16 | 3,577 | 0,091 | 103,578 | -22,209 |
| 4 | 1,92 | 1,00, 0,30 | 5 Ø 20 | 5 Ø 16 | 4,631 | 0,110 | 133,337 | -28,900 |
| 5 | 2,45 | 1,00, 0,30 | 5 Ø 20 | 5 Ø 16 | 4,449 | 0,135 | 73,117 | -38,760 |
| 6 | 2,97 | 1,00, 0,30 | 5 Ø 20 | 5 Ø 16 | 5,630 | 0,165 | 92,484 | -49,066 |
| 7 | 3,50 | 1,00, 0,30 | 5 Ø 24 | 5 Ø 16 | 8,293 | 0,204 | 191,038 | -61,303 |

8.8 Verifiche a fessurazione muro

L'ordinata Y (espressa in [m]) è considerata positiva verso il basso con origine in testa al muro

A_{fs} area di armatura in corrispondenza del lembo di monte in [mq]

A_{fi} area di armatura in corrispondenza del lembo di valle in [mq]

M_{pf} Momento di prima fessurazione espressa in [kNm]

M Momento agente nella sezione espressa in [kNm]

ε_m deformazione media espressa in [%]

s_m Distanza media tra le fessure espressa in [mm]

w Apertura media della fessura espressa in [mm]

Combinazione n° 18

| N° | Y | A _{fs} | A _{fi} | M _{pf} | M | ε _m | s _m | w |
|----|------|-----------------|-----------------|-----------------|--------|----------------|----------------|-------|
| 1 | 0,00 | 0,000000 | 0,000000 | -19,85 | 0,00 | 0,0000 | 0,00 | 0,000 |
| 2 | 0,17 | 0,000000 | 0,001005 | 21,62 | 0,00 | 0,0000 | 0,00 | 0,000 |
| 3 | 0,35 | 0,001571 | 0,001005 | -22,83 | -0,01 | 0,0000 | 0,00 | 0,000 |
| 4 | 0,52 | 0,001571 | 0,001005 | -22,83 | -0,06 | 0,0000 | 0,00 | 0,000 |
| 5 | 0,70 | 0,001571 | 0,001005 | -22,83 | -0,17 | 0,0000 | 0,00 | 0,000 |
| 6 | 0,88 | 0,001571 | 0,001005 | -22,83 | -0,35 | 0,0000 | 0,00 | 0,000 |
| 7 | 1,05 | 0,001571 | 0,001005 | -22,83 | -0,64 | 0,0000 | 0,00 | 0,000 |
| 8 | 1,22 | 0,001571 | 0,001005 | -22,83 | -1,04 | 0,0000 | 0,00 | 0,000 |
| 9 | 1,40 | 0,001571 | 0,001005 | -22,83 | -1,59 | 0,0000 | 0,00 | 0,000 |
| 10 | 1,57 | 0,001571 | 0,001005 | -22,83 | -2,31 | 0,0000 | 0,00 | 0,000 |
| 11 | 1,75 | 0,001571 | 0,001005 | -22,83 | -3,23 | 0,0000 | 0,00 | 0,000 |
| 12 | 1,92 | 0,001571 | 0,001005 | -22,83 | -4,38 | 0,0000 | 0,00 | 0,000 |
| 13 | 2,10 | 0,001571 | 0,001005 | -22,83 | -5,81 | 0,0000 | 0,00 | 0,000 |
| 14 | 2,27 | 0,001571 | 0,001005 | -22,83 | -7,52 | 0,0000 | 0,00 | 0,000 |
| 15 | 2,45 | 0,003833 | 0,001005 | -26,69 | -9,54 | 0,0000 | 0,00 | 0,000 |
| 16 | 2,63 | 0,003833 | 0,001005 | -26,69 | -11,90 | 0,0000 | 0,00 | 0,000 |
| 17 | 2,80 | 0,003833 | 0,001005 | -26,69 | -14,60 | 0,0000 | 0,00 | 0,000 |

Combinazione n° 19

| N° | Y | A _{fs} | A _{fi} | M _{pf} | M | ε _m | s _m | w |
|----|------|-----------------|-----------------|-----------------|--------|----------------|----------------|-------|
| 1 | 0,00 | 0,000000 | 0,000000 | -19,85 | -10,43 | 0,0000 | 0,00 | 0,000 |
| 2 | 0,17 | 0,000000 | 0,001005 | -20,05 | -12,45 | 0,0000 | 0,00 | 0,000 |
| 3 | 0,35 | 0,001571 | 0,001005 | -22,83 | -14,48 | 0,0000 | 0,00 | 0,000 |
| 4 | 0,52 | 0,001571 | 0,001005 | -22,83 | -16,55 | 0,0000 | 0,00 | 0,000 |
| 5 | 0,70 | 0,001571 | 0,001005 | -22,83 | -18,68 | 0,0000 | 0,00 | 0,000 |
| 6 | 0,88 | 0,001571 | 0,001005 | -22,83 | -20,88 | 0,0000 | 0,00 | 0,000 |
| 7 | 1,05 | 0,001571 | 0,001005 | -22,83 | -23,19 | 0,0188 | 199,58 | 0,064 |
| 8 | 1,22 | 0,001571 | 0,001005 | -22,83 | -25,62 | 0,0207 | 199,58 | 0,070 |
| 9 | 1,40 | 0,001571 | 0,001005 | -22,83 | -28,19 | 0,0252 | 199,58 | 0,085 |
| 10 | 1,57 | 0,001571 | 0,001005 | -22,83 | -30,92 | 0,0299 | 199,58 | 0,101 |
| 11 | 1,75 | 0,001571 | 0,001005 | -22,83 | -33,86 | 0,0347 | 199,58 | 0,118 |
| 12 | 1,92 | 0,001571 | 0,001005 | -22,83 | -37,04 | 0,0398 | 199,58 | 0,135 |

| | | |
|--|---|---|
| Cod. elab.: 101IN241-MU76-6-CL-211_B | Titolo: OPERE D'ARTE MINORI - MURI IN C.A. MU.76- Muro di controripa 77.45 mt da 0+075.39 a 0+152.97 (Tronco 41) - Relazione di calcolo | Data:Luglio 2011 Pagina 64 di 67 |
| Nome file: 101IN241-MU76-6-CL-211_B.docx | | |

| | | | | | | | | |
|----|------|----------|----------|--------|--------|--------|--------|-------|
| 13 | 2,10 | 0,001571 | 0,001005 | -22,83 | -40,49 | 0,0451 | 199,58 | 0,153 |
| 14 | 2,27 | 0,001571 | 0,001005 | -22,83 | -44,22 | 0,0508 | 199,58 | 0,172 |
| 15 | 2,45 | 0,003833 | 0,001005 | -26,69 | -48,26 | 0,0234 | 128,99 | 0,051 |
| 16 | 2,63 | 0,003833 | 0,001005 | -26,69 | -52,64 | 0,0263 | 128,99 | 0,058 |
| 17 | 2,80 | 0,003833 | 0,001005 | -26,69 | -57,37 | 0,0294 | 128,99 | 0,064 |

Combinazione n° 20

| N° | Y | A _{fs} | A _{fi} | M _{pf} | M | ε _m | s _m | w |
|----|------|-----------------|-----------------|-----------------|--------|----------------|----------------|-------|
| 1 | 0,00 | 0,000000 | 0,000000 | -19,85 | -13,90 | 0,0000 | 0,00 | 0,000 |
| 2 | 0,17 | 0,000000 | 0,001005 | -20,05 | -16,59 | 0,0000 | 0,00 | 0,000 |
| 3 | 0,35 | 0,001571 | 0,001005 | -22,83 | -19,30 | 0,0000 | 0,00 | 0,000 |
| 4 | 0,52 | 0,001571 | 0,001005 | -22,83 | -22,05 | 0,0000 | 0,00 | 0,000 |
| 5 | 0,70 | 0,001571 | 0,001005 | -22,83 | -24,85 | 0,0205 | 199,58 | 0,069 |
| 6 | 0,88 | 0,001571 | 0,001005 | -22,83 | -27,73 | 0,0254 | 199,58 | 0,086 |
| 7 | 1,05 | 0,001571 | 0,001005 | -22,83 | -30,71 | 0,0305 | 199,58 | 0,103 |
| 8 | 1,22 | 0,001571 | 0,001005 | -22,83 | -33,81 | 0,0356 | 199,58 | 0,121 |
| 9 | 1,40 | 0,001571 | 0,001005 | -22,83 | -37,05 | 0,0408 | 199,58 | 0,138 |
| 10 | 1,57 | 0,001571 | 0,001005 | -22,83 | -40,46 | 0,0461 | 199,58 | 0,156 |
| 11 | 1,75 | 0,001571 | 0,001005 | -22,83 | -44,08 | 0,0516 | 199,58 | 0,175 |
| 12 | 1,92 | 0,001571 | 0,001005 | -22,83 | -47,93 | 0,0574 | 199,58 | 0,195 |
| 13 | 2,10 | 0,001571 | 0,001005 | -22,83 | -52,05 | 0,0634 | 199,58 | 0,215 |
| 14 | 2,27 | 0,001571 | 0,001005 | -22,83 | -56,45 | 0,0699 | 199,58 | 0,237 |
| 15 | 2,45 | 0,003833 | 0,001005 | -26,69 | -61,17 | 0,0322 | 128,99 | 0,071 |
| 16 | 2,63 | 0,003833 | 0,001005 | -26,69 | -66,22 | 0,0353 | 128,99 | 0,077 |
| 17 | 2,80 | 0,003833 | 0,001005 | -26,69 | -71,62 | 0,0387 | 128,99 | 0,085 |

8.9 Inviluppo armature e tensioni nei materiali della fondazione

Simbologia adottata

| | |
|-----------------|--|
| B | base della sezione espressa in [m] |
| H | altezza della sezione espressa in [m] |
| A _{fi} | area di armatura in corrispondenza del lembo inferiore in [mq] |
| A _{fs} | area di armatura in corrispondenza del lembo superiore in [mq] |
| σ _c | tensione nel calcestruzzo espressa in [MPa] |
| τ _c | tensione tangenziale nel calcestruzzo espressa in [MPa] |
| σ _{fi} | tensione nell'armatura disposta in corrispondenza del lembo inferiore in [MPa] |
| σ _{fs} | tensione nell'armatura disposta in corrispondenza del lembo superiore in [MPa] |
| N _u | sforzo normale ultimo espresso in [kN] |
| M _u | momento ultimo espresso in [kNm] |
| CS | coefficiente sicurezza sezione |
| VRcd | Aliquota di taglio assorbito dal cls, espresso in [kN] |
| VRsd | Aliquota di taglio assorbito dall'armatura, espresso in [kN] |
| VRd | Resistenza al taglio, espresso in [kN] |

Fondazione di valle

(L'ascissa X, espressa in [m], è positiva verso monte con origine in corrispondenza dell'estremo libero della fondazione di valle)

Inviluppo SLU

| Nr. | Y | B, H | A _{fs} | A _{fi} | N _u | M _u | CS | V _{Rd} | V _{Red} | V _{Rsd} |
|-----|------|------------|-----------------|-----------------|----------------|----------------|---------|-----------------|------------------|------------------|
| 1 | 0,05 | 1,00, 0,80 | 5 Ø 22 | 5 Ø 16 | 0,00 | 285,36 | 2022,58 | 247,16 | -- | -- |
| 2 | 0,20 | 1,00, 0,80 | 5 Ø 22 | 5 Ø 16 | 0,00 | 284,36 | 127,11 | 247,16 | -- | -- |
| 3 | 0,35 | 1,00, 0,80 | 5 Ø 22 | 5 Ø 16 | 0,00 | 284,36 | 41,88 | 247,16 | -- | -- |
| 4 | 0,50 | 1,00, 0,80 | 5 Ø 22 | 5 Ø 16 | 0,00 | 284,36 | 20,71 | 247,16 | -- | -- |

Inviluppo SLE

| | | |
|--|---|-------------------------------------|
| Cod. elab.: 101IN241-MU76-6-CL-211_B | Titolo: OPERE D'ARTE MINORI - MURI IN C.A. MU.76- Muro di controripa 77.45 mt da 0+075.39 a 0+152.97 (Tronco 41) - Relazione di calcolo | Data:Luglio 2011 Pagina 65 di 67 |
| Nome file: 101IN241-MU76-6-CL-211_B.docx | | |

| Nr. | X | B, H | A _{fs} | A _{fi} | σ _c | τ _c | σ _{fi} | σ _{fs} |
|-----|------|------------|-----------------|-----------------|----------------|----------------|-----------------|-----------------|
| 5 | 0,05 | 1,00, 0,80 | 5 Ø 22 | 5 Ø 16 | 0,002 | 0,007 | 0,164 | 0,000 |
| 6 | 0,20 | 1,00, 0,80 | 5 Ø 22 | 5 Ø 16 | 0,034 | 0,029 | 2,596 | -0,297 |
| 7 | 0,35 | 1,00, 0,80 | 5 Ø 22 | 5 Ø 16 | 0,102 | 0,050 | 7,899 | -0,904 |
| 8 | 0,50 | 1,00, 0,80 | 5 Ø 22 | 5 Ø 16 | 0,207 | 0,071 | 16,015 | -1,832 |

Fondazione di monte

(L'ascissa X, espressa in [m], è positiva verso valle con origine in corrispondenza dell'estremo libero della fondazione di monte)

Inviluppo SLU

| Nr. | Y | B, H | A _{fs} | A _{fi} | N _u | M _u | CS | V _{Rd} | V _{Red} | V _{Rsd} |
|-----|------|------------|-----------------|-----------------|----------------|----------------|-------|-----------------|------------------|------------------|
| 1 | 0,37 | 1,00, 0,80 | 5 Ø 22 | 5 Ø 16 | 0,00 | -531,71 | 76,34 | 247,16 | -- | -- |
| 2 | 1,48 | 1,00, 0,80 | 5 Ø 22 | 5 Ø 16 | 0,00 | -531,71 | 5,77 | 247,16 | -- | -- |
| 3 | 2,59 | 1,00, 0,80 | 5 Ø 22 | 5 Ø 16 | 0,00 | -531,71 | 2,48 | 247,16 | -- | -- |
| 4 | 3,70 | 1,00, 0,80 | 5 Ø 22 | 5 Ø 16 | 0,00 | -531,71 | 1,58 | 247,16 | -- | -- |

Inviluppo SLE

| Nr. | X | B, H | A _{fs} | A _{fi} | σ _c | τ _c | σ _{fi} | σ _{fs} |
|-----|------|------------|-----------------|-----------------|----------------|----------------|-----------------|-----------------|
| 5 | 0,37 | 1,00, 0,80 | 5 Ø 22 | 5 Ø 16 | 0,057 | -0,032 | -0,604 | 2,882 |
| 6 | 1,48 | 1,00, 0,80 | 5 Ø 22 | 5 Ø 16 | 0,708 | -0,072 | -7,519 | 35,875 |
| 7 | 2,59 | 1,00, 0,80 | 5 Ø 22 | 5 Ø 16 | 1,444 | -0,063 | -15,342 | 73,202 |
| 8 | 3,70 | 1,00, 0,80 | 5 Ø 22 | 5 Ø 16 | 1,912 | -0,021 | -20,310 | 96,904 |

8.10 Verifiche a fessurazione fondazione

L'ordinata Y (espressa in [m]) è considerata positiva verso il basso con origine in testa al muro

A_{fs} area di armatura in corrispondenza del lembo di monte in [mq]

A_{fi} area di armatura in corrispondenza del lembo di valle in [mq]

M_{pf} Momento di prima fessurazione espressa in [kNm]

M Momento agente nella sezione espressa in [kNm]

ε_m deformazione media espressa in [%]

s_m Distanza media tra le fessure espressa in [mm]

w Apertura media della fessura espressa in [mm]

Combinazione n° 18

| N° | Y | A _{fs} | A _{fi} | M _{pf} | M | ε _m | s _m | w |
|----|-------|-----------------|-----------------|-----------------|------|----------------|----------------|-------|
| 1 | -0,80 | 0,001901 | 0,001005 | -156,03 | 0,00 | 0,0000 | 0,00 | 0,000 |
| 2 | -0,75 | 0,001901 | 0,001005 | 151,09 | 0,06 | 0,0000 | 0,00 | 0,000 |
| 3 | -0,70 | 0,001901 | 0,001005 | 151,09 | 0,25 | 0,0000 | 0,00 | 0,000 |
| 4 | -0,65 | 0,001901 | 0,001005 | 151,09 | 0,56 | 0,0000 | 0,00 | 0,000 |
| 5 | -0,60 | 0,001901 | 0,001005 | 151,09 | 0,99 | 0,0000 | 0,00 | 0,000 |
| 6 | -0,55 | 0,001901 | 0,001005 | 151,09 | 1,55 | 0,0000 | 0,00 | 0,000 |
| 7 | -0,50 | 0,001901 | 0,001005 | 151,09 | 2,24 | 0,0000 | 0,00 | 0,000 |
| 8 | -0,45 | 0,001901 | 0,001005 | 151,09 | 3,05 | 0,0000 | 0,00 | 0,000 |
| 9 | -0,40 | 0,001901 | 0,001005 | 151,09 | 3,98 | 0,0000 | 0,00 | 0,000 |
| 10 | -0,35 | 0,001901 | 0,001005 | 151,09 | 5,05 | 0,0000 | 0,00 | 0,000 |
| 11 | -0,30 | 0,001901 | 0,001005 | 151,09 | 6,24 | 0,0000 | 0,00 | 0,000 |
| 12 | 0,00 | 0,001901 | 0,001005 | 151,09 | 7,31 | 0,0000 | 0,00 | 0,000 |
| 13 | 0,37 | 0,001901 | 0,001005 | 151,09 | 6,15 | 0,0000 | 0,00 | 0,000 |
| 14 | 0,74 | 0,001901 | 0,001005 | 151,09 | 5,07 | 0,0000 | 0,00 | 0,000 |
| 15 | 1,11 | 0,001901 | 0,001005 | 151,09 | 4,22 | 0,0000 | 0,00 | 0,000 |
| 16 | 1,48 | 0,001901 | 0,001005 | 151,09 | 3,46 | 0,0000 | 0,00 | 0,000 |
| 17 | 1,85 | 0,001901 | 0,001005 | 151,09 | 2,56 | 0,0000 | 0,00 | 0,000 |
| 18 | 2,22 | 0,001901 | 0,001005 | 151,09 | 1,63 | 0,0000 | 0,00 | 0,000 |

| | | |
|--|---|-------------------------------------|
| Cod. elab.: 101IN241-MU76-6-CL-211_B | Titolo: OPERE D'ARTE MINORI - MURI IN C.A. MU.76- Muro di controripa 77.45 mt da 0+075.39 a 0+152.97 (Tronco 41) - Relazione di calcolo | Data:Luglio 2011 Pagina 66 di 67 |
| Nome file: 101IN241-MU76-6-CL-211_B.docx | | |

| | | | | | | | | |
|----|------|----------|----------|---------|------|--------|------|-------|
| 19 | 2,59 | 0,001901 | 0,001005 | 151,09 | 0,85 | 0,0000 | 0,00 | 0,000 |
| 20 | 2,96 | 0,001901 | 0,001005 | 151,09 | 0,41 | 0,0000 | 0,00 | 0,000 |
| 21 | 3,33 | 0,001901 | 0,001005 | 151,09 | 0,13 | 0,0000 | 0,00 | 0,000 |
| 22 | 3,70 | 0,001901 | 0,001005 | -156,03 | 0,00 | 0,0000 | 0,00 | 0,000 |

Combinazione n° 19

| N° | Y | A _{fs} | A _{fi} | M _{pf} | M | ε _m | s _m | w |
|----|-------|-----------------|-----------------|-----------------|--------|----------------|----------------|-------|
| 1 | -0,80 | 0,001901 | 0,001005 | -156,03 | 0,00 | 0,0000 | 0,00 | 0,000 |
| 2 | -0,75 | 0,001901 | 0,001005 | 151,09 | 0,10 | 0,0000 | 0,00 | 0,000 |
| 3 | -0,70 | 0,001901 | 0,001005 | 151,09 | 0,41 | 0,0000 | 0,00 | 0,000 |
| 4 | -0,65 | 0,001901 | 0,001005 | 151,09 | 0,92 | 0,0000 | 0,00 | 0,000 |
| 5 | -0,60 | 0,001901 | 0,001005 | 151,09 | 1,63 | 0,0000 | 0,00 | 0,000 |
| 6 | -0,55 | 0,001901 | 0,001005 | 151,09 | 2,54 | 0,0000 | 0,00 | 0,000 |
| 7 | -0,50 | 0,001901 | 0,001005 | 151,09 | 3,65 | 0,0000 | 0,00 | 0,000 |
| 8 | -0,45 | 0,001901 | 0,001005 | 151,09 | 4,96 | 0,0000 | 0,00 | 0,000 |
| 9 | -0,40 | 0,001901 | 0,001005 | 151,09 | 6,47 | 0,0000 | 0,00 | 0,000 |
| 10 | -0,35 | 0,001901 | 0,001005 | 151,09 | 8,18 | 0,0000 | 0,00 | 0,000 |
| 11 | -0,30 | 0,001901 | 0,001005 | 151,09 | 10,08 | 0,0000 | 0,00 | 0,000 |
| 12 | 0,00 | 0,001901 | 0,001005 | -156,03 | -92,54 | 0,0000 | 0,00 | 0,000 |
| 13 | 0,37 | 0,001901 | 0,001005 | -156,03 | -87,75 | 0,0000 | 0,00 | 0,000 |
| 14 | 0,74 | 0,001901 | 0,001005 | -156,03 | -80,25 | 0,0000 | 0,00 | 0,000 |
| 15 | 1,11 | 0,001901 | 0,001005 | -156,03 | -70,47 | 0,0000 | 0,00 | 0,000 |
| 16 | 1,48 | 0,001901 | 0,001005 | -156,03 | -59,14 | 0,0000 | 0,00 | 0,000 |
| 17 | 1,85 | 0,001901 | 0,001005 | -156,03 | -47,08 | 0,0000 | 0,00 | 0,000 |
| 18 | 2,22 | 0,001901 | 0,001005 | -156,03 | -34,74 | 0,0000 | 0,00 | 0,000 |
| 19 | 2,59 | 0,001901 | 0,001005 | -156,03 | -22,53 | 0,0000 | 0,00 | 0,000 |
| 20 | 2,96 | 0,001901 | 0,001005 | -156,03 | -10,90 | 0,0000 | 0,00 | 0,000 |
| 21 | 3,33 | 0,001901 | 0,001005 | -156,03 | -2,79 | 0,0000 | 0,00 | 0,000 |
| 22 | 3,70 | 0,001901 | 0,001005 | -156,03 | 0,00 | 0,0000 | 0,00 | 0,000 |

Combinazione n° 20

| N° | Y | A _{fs} | A _{fi} | M _{pf} | M | ε _m | s _m | w |
|----|-------|-----------------|-----------------|-----------------|---------|----------------|----------------|-------|
| 1 | -0,80 | 0,001901 | 0,001005 | -156,03 | 0,00 | 0,0000 | 0,00 | 0,000 |
| 2 | -0,75 | 0,001901 | 0,001005 | 151,09 | 0,12 | 0,0000 | 0,00 | 0,000 |
| 3 | -0,70 | 0,001901 | 0,001005 | 151,09 | 0,46 | 0,0000 | 0,00 | 0,000 |
| 4 | -0,65 | 0,001901 | 0,001005 | 151,09 | 1,04 | 0,0000 | 0,00 | 0,000 |
| 5 | -0,60 | 0,001901 | 0,001005 | 151,09 | 1,84 | 0,0000 | 0,00 | 0,000 |
| 6 | -0,55 | 0,001901 | 0,001005 | 151,09 | 2,87 | 0,0000 | 0,00 | 0,000 |
| 7 | -0,50 | 0,001901 | 0,001005 | 151,09 | 4,13 | 0,0000 | 0,00 | 0,000 |
| 8 | -0,45 | 0,001901 | 0,001005 | 151,09 | 5,60 | 0,0000 | 0,00 | 0,000 |
| 9 | -0,40 | 0,001901 | 0,001005 | 151,09 | 7,30 | 0,0000 | 0,00 | 0,000 |
| 10 | -0,35 | 0,001901 | 0,001005 | 151,09 | 9,22 | 0,0000 | 0,00 | 0,000 |
| 11 | -0,30 | 0,001901 | 0,001005 | 151,09 | 11,36 | 0,0000 | 0,00 | 0,000 |
| 12 | 0,00 | 0,001901 | 0,001005 | -156,03 | -125,72 | 0,0000 | 0,00 | 0,000 |
| 13 | 0,37 | 0,001901 | 0,001005 | -156,03 | -118,96 | 0,0000 | 0,00 | 0,000 |
| 14 | 0,74 | 0,001901 | 0,001005 | -156,03 | -108,62 | 0,0000 | 0,00 | 0,000 |
| 15 | 1,11 | 0,001901 | 0,001005 | -156,03 | -95,31 | 0,0000 | 0,00 | 0,000 |
| 16 | 1,48 | 0,001901 | 0,001005 | -156,03 | -79,96 | 0,0000 | 0,00 | 0,000 |
| 17 | 1,85 | 0,001901 | 0,001005 | -156,03 | -63,59 | 0,0000 | 0,00 | 0,000 |
| 18 | 2,22 | 0,001901 | 0,001005 | -156,03 | -46,84 | 0,0000 | 0,00 | 0,000 |
| 19 | 2,59 | 0,001901 | 0,001005 | -156,03 | -30,31 | 0,0000 | 0,00 | 0,000 |
| 20 | 2,96 | 0,001901 | 0,001005 | -156,03 | -14,67 | 0,0000 | 0,00 | 0,000 |
| 21 | 3,33 | 0,001901 | 0,001005 | -156,03 | -3,77 | 0,0000 | 0,00 | 0,000 |
| 22 | 3,70 | 0,001901 | 0,001005 | -156,03 | 0,00 | 0,0000 | 0,00 | 0,000 |

| | | |
|--|---|------------------|
| Cod. elab.: 101IN241-MU76-6-CL-211_B | Titolo: OPERE D'ARTE MINORI - MURI IN C.A. | Data:Luglio 2011 |
| Nome file: 101IN241-MU76-6-CL-211_B.docx | MU.76- Muro di controripa 77.45 mt da 0+075.39 a 0+152.97 (Tronco 41) - Relazione di calcolo | Pagina 67 di 67 |